

# Projekt

## Wiktoria Musialska

Zbiorem danych, który będzie wykorzystany w ramach tego projektu jest zbiór cafe z biblioteki fpp. Projekt powstał z wykorzystaniem programu R.

### Opis zbioru danych:

Całkowite kwartalne wydatki na kawiarnie, restauracje i usługi gastronomiczne na wynos w Australii (1982:Q2-2010:Q4)

## Załadowanie potrzebnych bibliotek

```
In [1]: library(fpp)
library(forecast)
```

```
Warning message:
"package 'fpp' was built under R version 3.6.3"Loading required package: forecast
Warning message:
"package 'forecast' was built under R version 3.6.3"Registered S3 methods overwritten by
'ggplot2':
  method      from
[.quosures    rlang
c.quosures    rlang
print.quosures rlang
Registered S3 method overwritten by 'xts':
  method      from
as.zoo.xts    zoo
Registered S3 method overwritten by 'quantmod':
  method      from
as.zoo.data.frame zoo
Loading required package: fma
Warning message:
"package 'fma' was built under R version 3.6.3"Loading required package: expsmooth
Warning message:
"package 'expsmooth' was built under R version 3.6.3"Loading required package: lmtest
Warning message:
"package 'lmtest' was built under R version 3.6.3"Loading required package: zoo

Attaching package: 'zoo'

The following objects are masked from 'package:base':

  as.Date, as.Date.numeric

Loading required package: tseries
Warning message:
"package 'tseries' was built under R version 3.6.3"
```

## Wczytywanie zbioru danych

```
In [2]: data(cafe)
```

# Sprawdzenie występowania braków danych

```
In [3]: sum(is.na(cafe))
```

0

W danych nie występują braki danych.

## Wyświetlenie zawartości zbioru danych

```
In [4]: print(cafe)
```

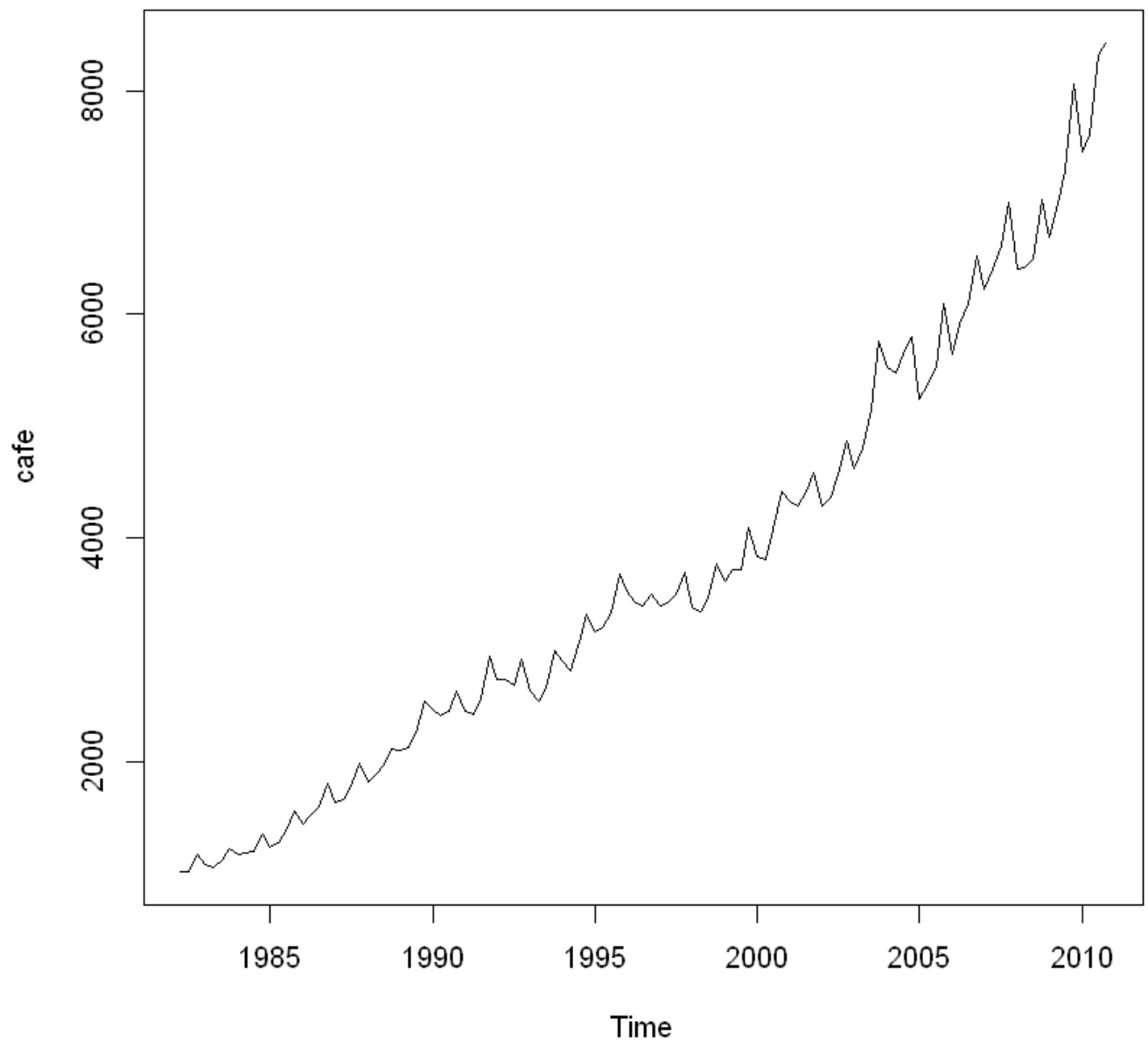
	Qtr1	Qtr2	Qtr3	Qtr4
1982		1013.2	1011.9	1166.2
1983	1082.5	1058.7	1118.1	1223.7
1984	1163.7	1178.8	1196.7	1349.1
1985	1233.5	1272.8	1369.7	1563.1
1986	1437.5	1512.8	1602.1	1797.4
1987	1640.3	1665.5	1775.0	1985.0
1988	1816.4	1877.9	1975.1	2114.9
1989	2106.7	2125.6	2253.7	2543.9
1990	2462.2	2412.5	2455.4	2630.2
1991	2446.1	2419.3	2564.9	2941.0
1992	2735.9	2729.9	2680.9	2913.3
1993	2625.7	2541.8	2654.1	2993.7
1994	2901.3	2815.3	3071.5	3320.3
1995	3156.8	3196.1	3330.2	3675.5
1996	3521.1	3424.0	3388.7	3502.4
1997	3387.6	3425.1	3492.0	3695.2
1998	3377.0	3339.1	3456.5	3769.6
1999	3613.8	3715.4	3714.1	4088.0
2000	3828.7	3809.3	4079.1	4415.7
2001	4330.0	4285.0	4419.2	4582.8
2002	4290.8	4367.2	4574.0	4862.5
2003	4616.4	4800.7	5146.6	5765.1
2004	5533.8	5478.4	5649.8	5796.3
2005	5240.2	5366.8	5528.2	6095.9
2006	5647.7	5915.2	6101.1	6520.0
2007	6228.0	6413.3	6615.8	7003.0
2008	6409.6	6414.8	6500.8	7024.6
2009	6691.0	6991.6	7291.9	8068.0
2010	7450.7	7608.3	8316.8	8426.5

Okres czasu zarejestowanego w zbiorze danym zgadza się z opisem.

Dane zaczynają się pojawiać od 2-ego kwartału 1982 roku, a kończą się w 4-tym kwartale 2010 roku.

## Wykres szeregu czasowego

```
In [5]: plot(cafe)
```



Na rysunku widzimy trend zwyklowy.

Wartości szeregu czasowego rosną wraz z kolejnymi latami.

Brak widocznej sezonowości szeregu.

## Sprawdzenie czy dane są klasy ts

```
In [6]: is.ts(cafe)
```

TRUE

Dane są klasy ts, czyli czy są w podstawowej strukturze do reprezentacji szeregów czasowych w programie R.

```
In [7]: start(cafe)
end(cafe)
```

1. 1982

2. 2

1. 2010

2. 4

Przy użyciu metody start i end potwierdziliśmy, że dane zaczynają się w 1982 roku, a kończą się w 2010 roku.

```
In [8]: tsp(cafe)
```

1. 1982.25

2. 2010.75

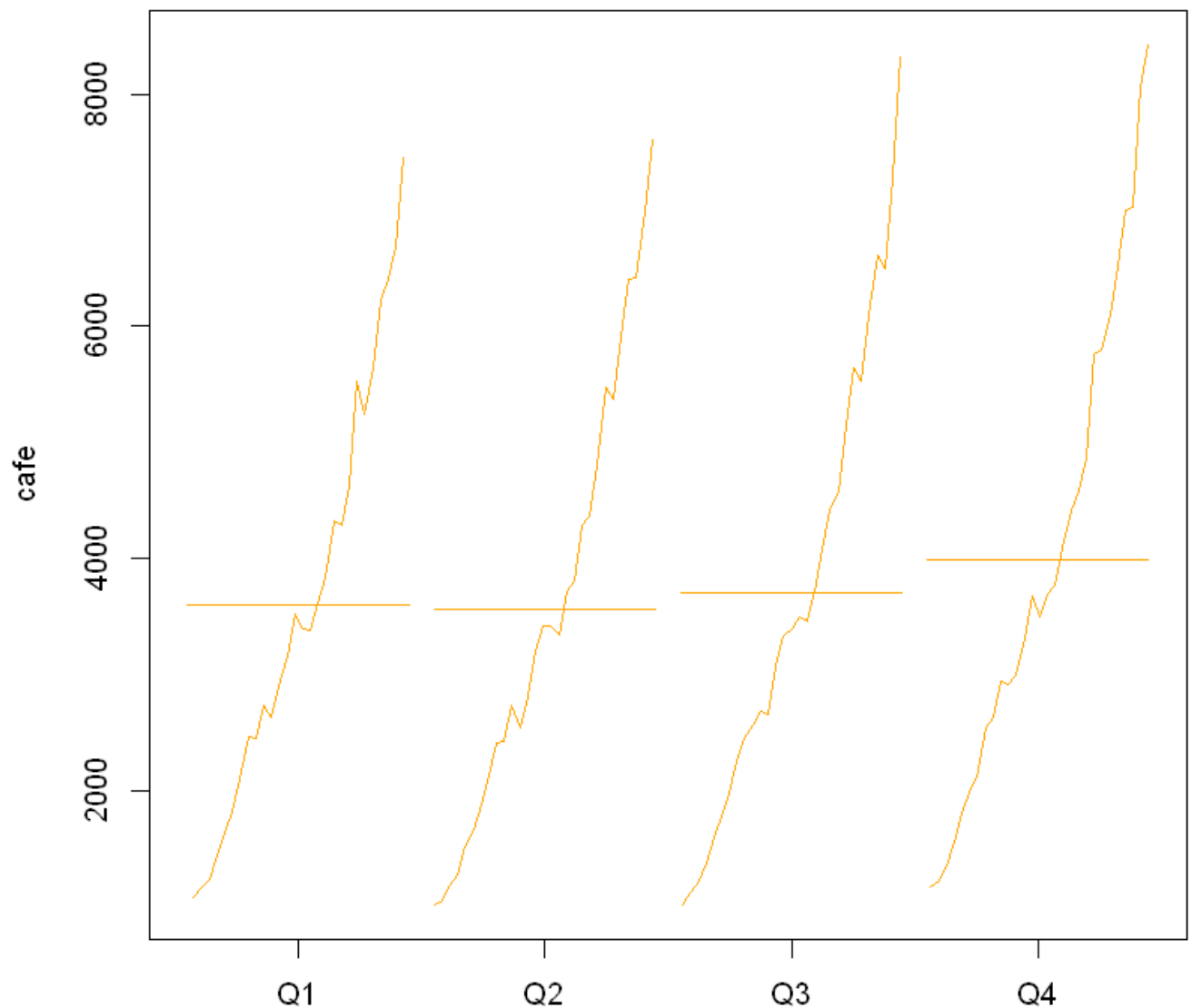
3. 4

Częstotliwość naszych danych jest kwartalna.

## Wykresy sezonowe

```
In [9]: monthplot(cafe, main="Wydatki na usługi gastronomiczne na wynos w Australii", col="orang
```

## Wydatki na usługi gastronomiczne na wynos w Australii



Na wykresie widać, że średnie kwartalne wydatki na usługi gastronomiczne w Australii są do siebie zbliżone.

Najniższa średnia wydatków jest obserwowana w 2-gim kwartale, a najwyższa w 4-tym kwartale.

Porównując ten wykres z wykresem szeregu czasowego można potwierdzić przypuszczenia o braku sezonowości szeregu.

Występuje natomiast trend wzrostowy.

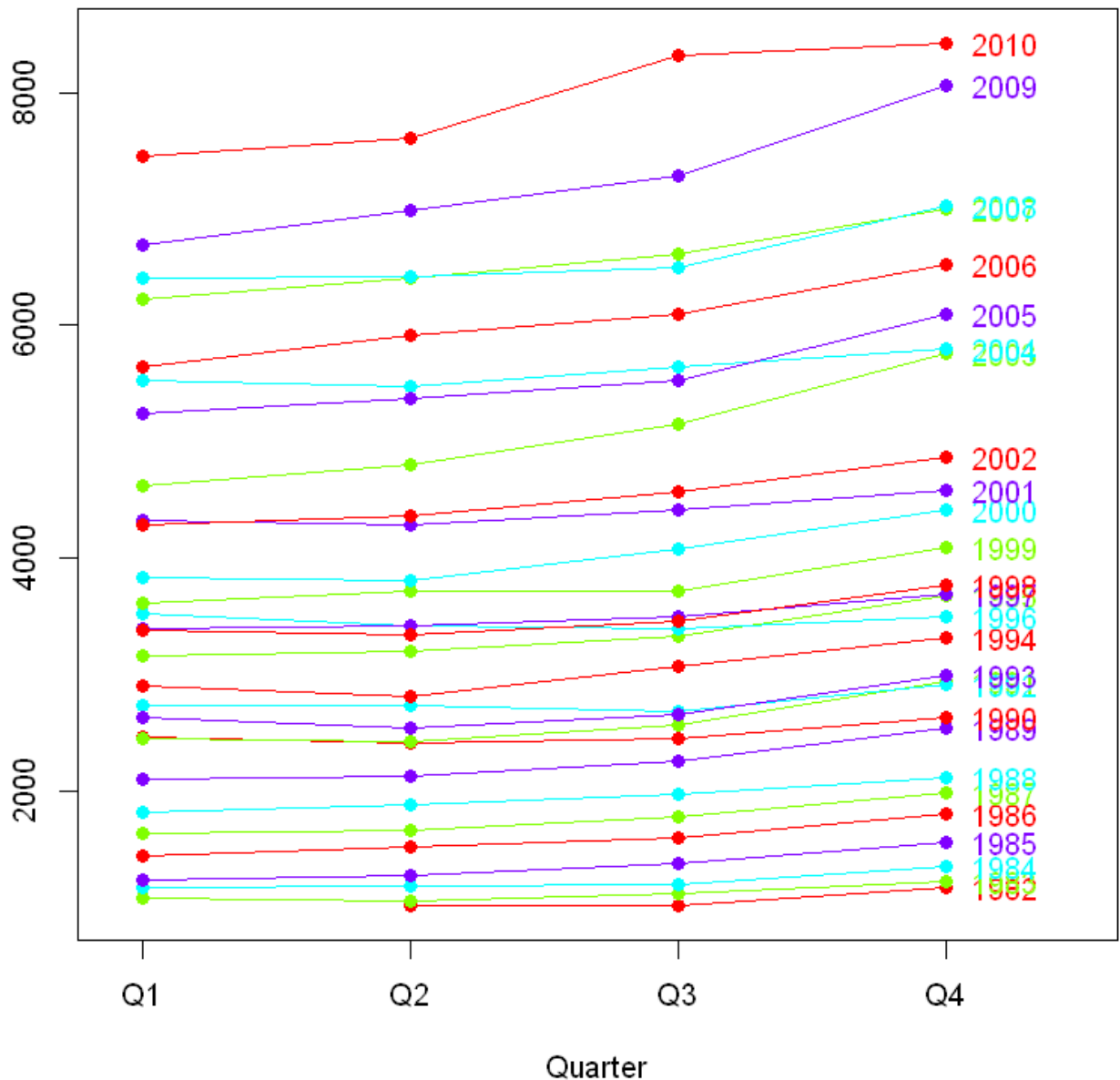
```
In [10]: mean(cafe)
```

3715.79304347826

Średnia kwartalna wydatków na zakupy wynos wynosi 3715.8 zł.

```
In [11]: seasonplot(cafe, col=rainbow(4), year.labels=TRUE, pch=19)
```

Seasonal plot: cafe



Na wykresie szeregu czasowego w rozbiciu na kwartały widać po raz kolejny, że w danych nie występuje współczynnik sezonowy.

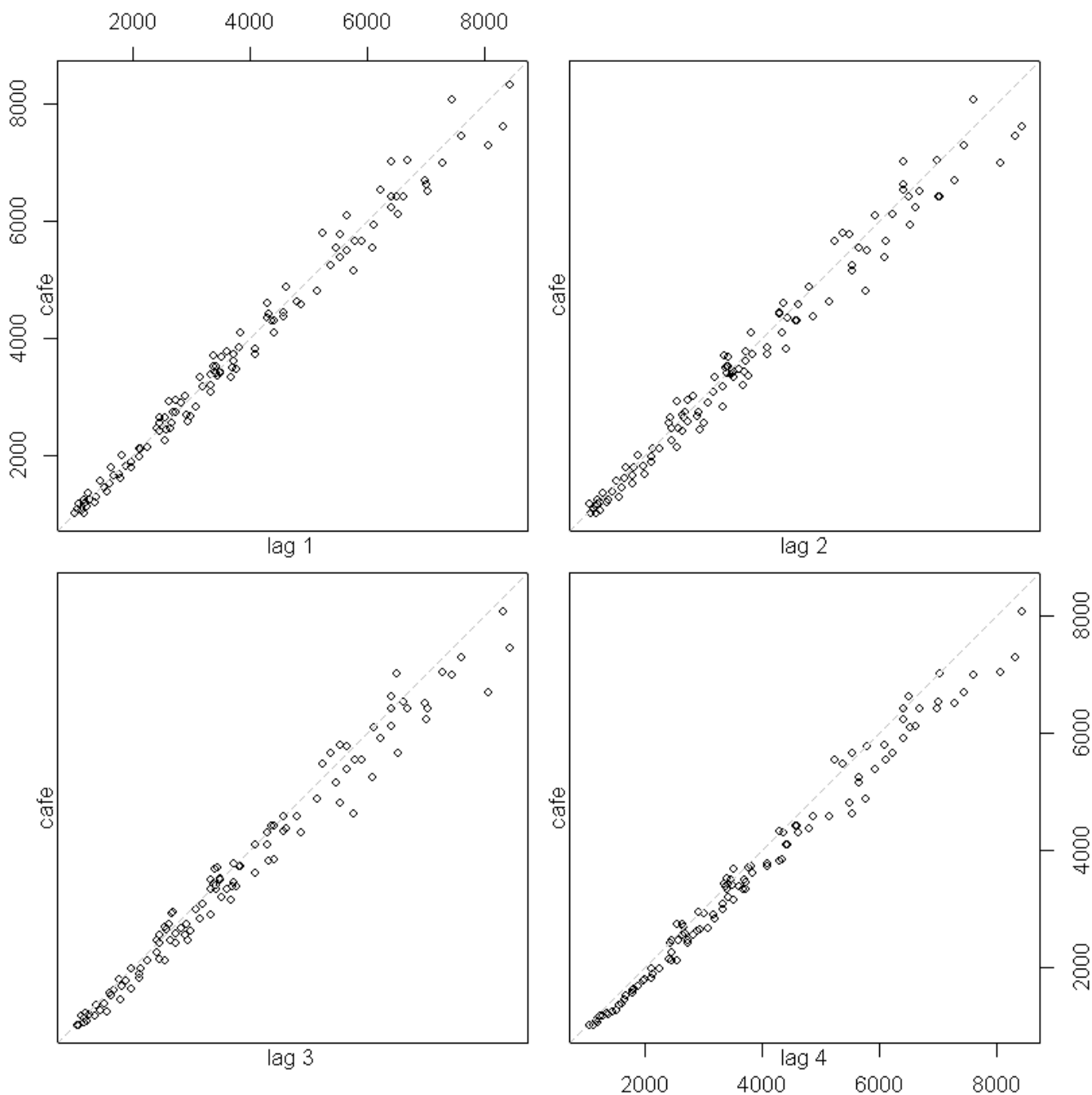
Od 1982 roku do 1998 roku średnie kwartalne są do siebie zbliżone.

Od 1999 roku widoczny jest delikatny wzrost średniej kwartalnej od 1-ego kwartału do 4-tego kwartału.  
\$\newline\$

Podsumowując, średnie wartości wydatków zakupów na wynos w większości lat delikatnie wzrastają wraz z kolejnymi kwartałami, jednak nie jest to zachowanie na tyle widocznie zauważalne, tak jak powinno mieć to miejsce w sezonowości, dlatego też można stwierdzić, że szereg ten nie jest sezonowy.

**Czy i w jakim stopniu wcześniejsze obserwacje mają wpływ na aktualną wartość \$\newline\$ szeregu (czy występuję i jak silna jest korelacja w danych)?**

```
In [12]: lag.plot(cafe, lags=4, do.lines=False)
```



Ponieważ częstotliwość szeregu wynosi 4, w funkcji `lag.plot()` narysowane zostały wykresy rozrzutu wartości szeregu czasowego przesuniętego o pewną liczbę  $h$  (opóźnień) wstecz i aktualnej wartości szeregu czasowego ( $t - \text{czas}$ ).

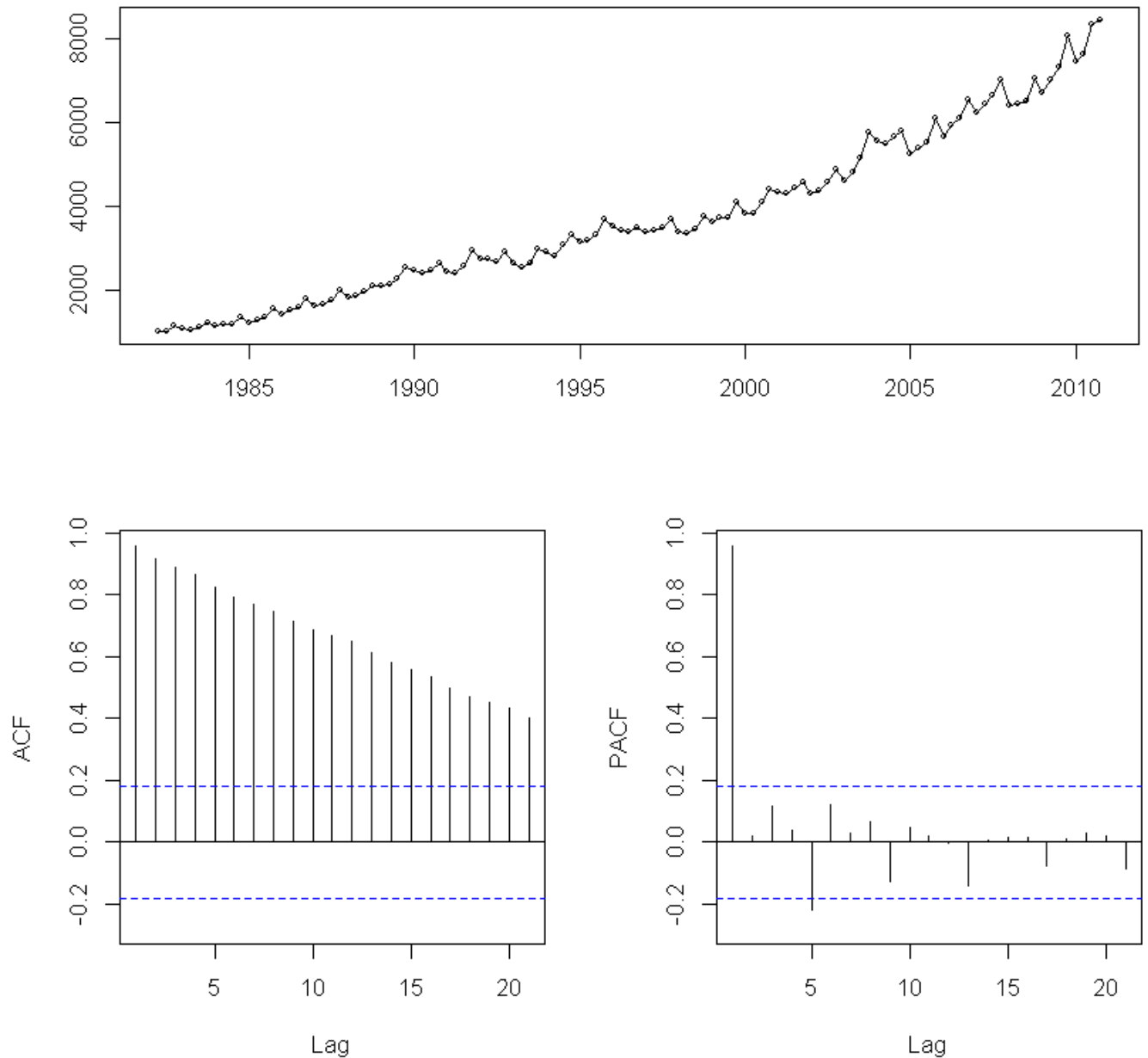
Widzimy, że dla wszystkich 4-ech opóźnień występuje silna zależność.

Korelacje występujące w szeregu możemy wytłumaczyć występującym w danych trendem.

## Wykresy ACF i PACF

```
In [13]: tsdisplay(cafe)
```

## cafe



Dodatnie i powoli zanikające wartości ACF sugerują, że dane zawierają trend.

Wartości PACF 1 i 5 są istotne statystycznie, a pozostałe opóźnienia nie są istotne statystycznie (znajdują się między liniami przerywanymi).

Silny trend potwierdza także duża (bliska 1) wartość PACF(1).

## Dekompozycja szeregu czasowego - ruchoma średnia

Dekompozycja addytywna będzie odpowiednia w przypadku, gdy wielkość (amplituda) wahań sezonowych lub wariancja danych wokół trendu nie zmienia się w dużym stopniu wraz z poziomem szeregu.

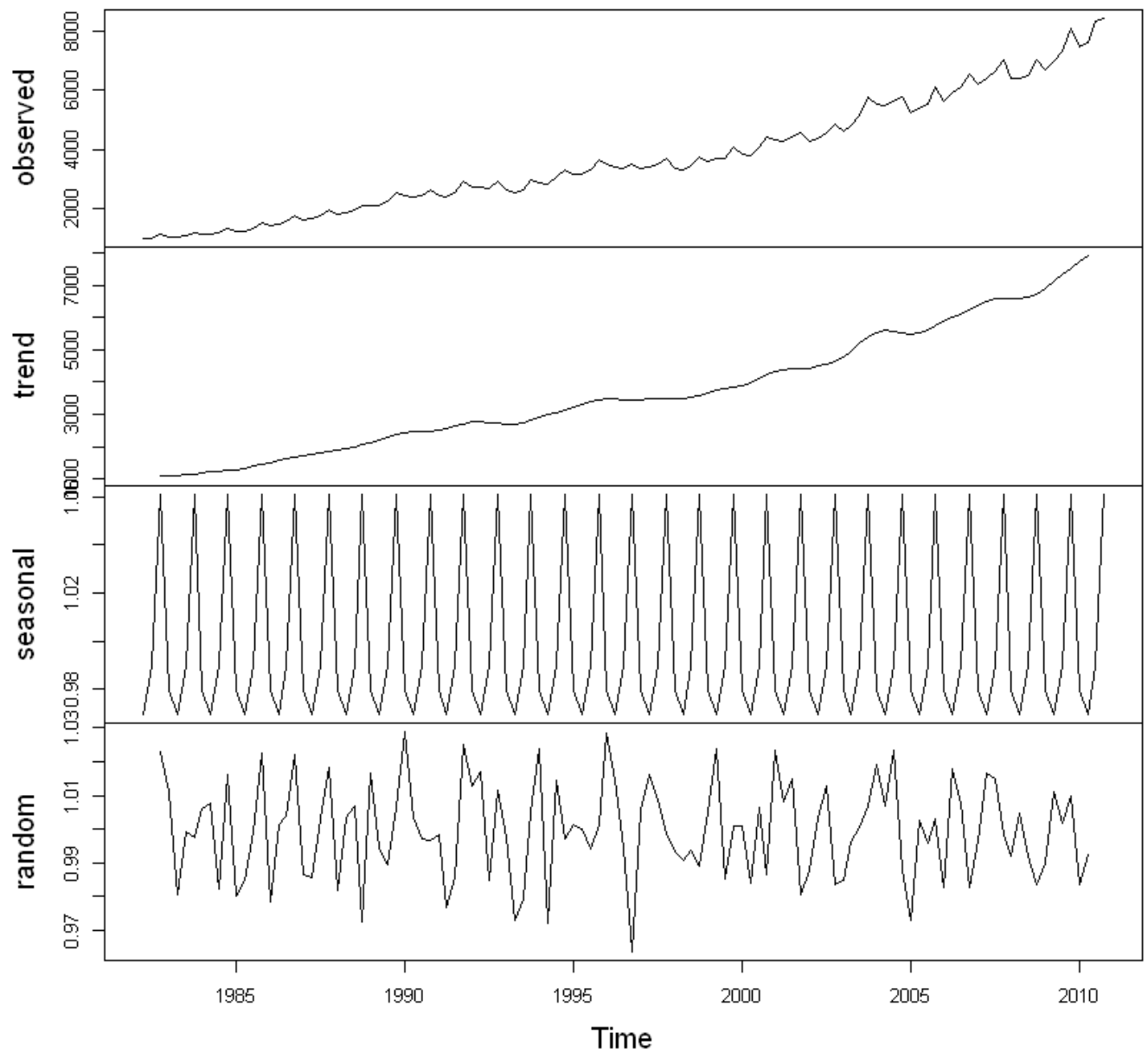
Jeżeli zaś obserwujemy, że amplituda wahań sezonowych lub wariancja danych wydaje się proporcjonalna do poziomemu szeregu, bardziej odpowiedni będzie model multiplikatywny.

### dekompozycja multiplikatywna



```
In [14]: cafe.de.mu=decompose(cafe,type="multiplicative")
plot(cafe.de.mu)
```

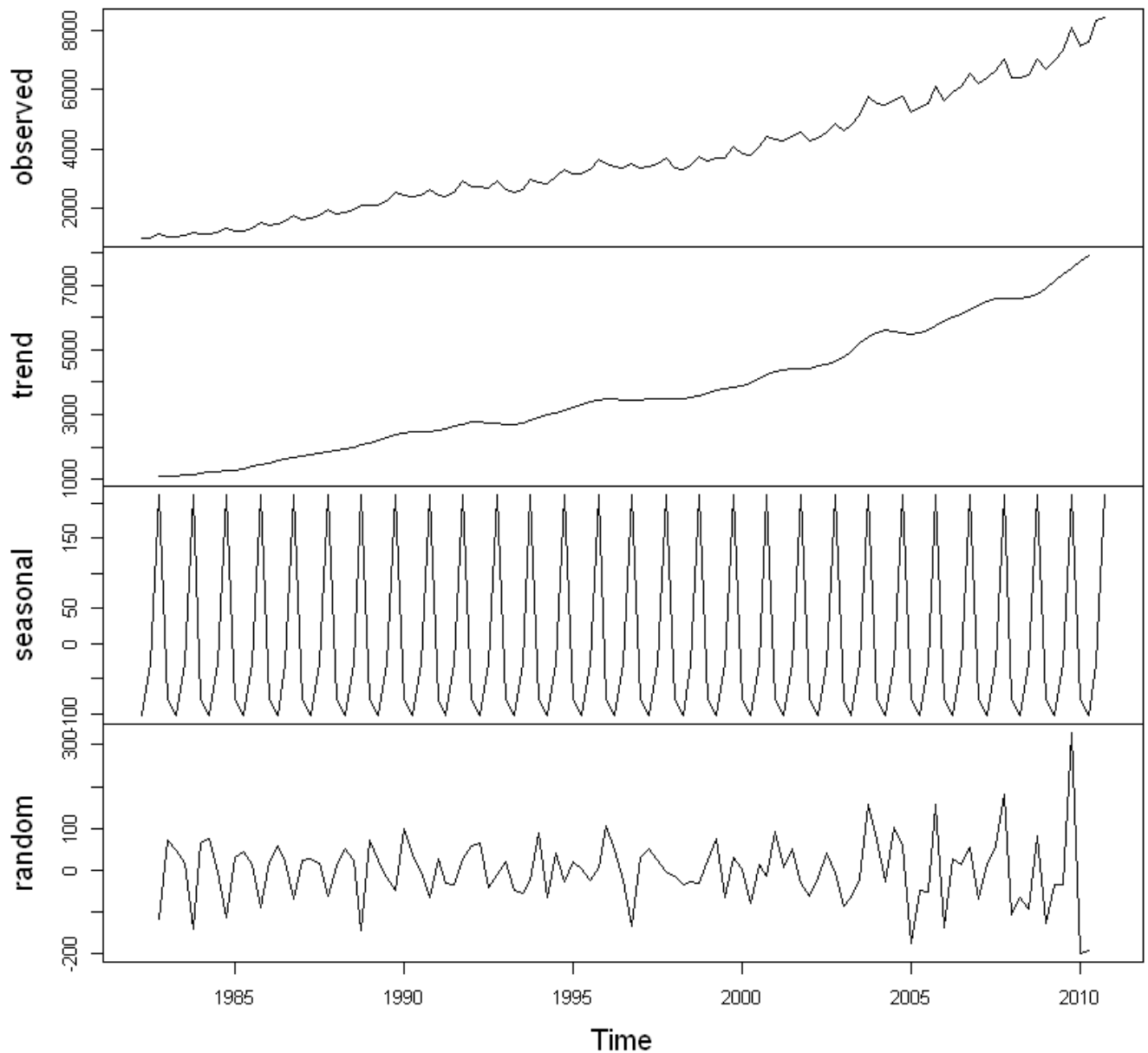
## Decomposition of multiplicative time series



## dekompozycja addytywna

```
In [15]: cafe.de.mu=decompose(cafe,type="additive")
plot(cafe.de.mu)
```

## Decomposition of additive time series



Przyglądając się zachowaniu reszt widzimy, że w przypadku dekompozycji multiplikatywnej wariancja reszt wydaje się bardziej jednorodna, niż w przypadku dekompozycji addytywnej.

## Dekompozycja - użycie modelu regresji

### uwzględnienie tylko trendu

```
In [16]: cafe.tlsm.trend=tslm(cafe~trend)
```

```
In [17]: summary(cafe.tlsm.trend)
```

Call:

```
tslm(formula = cafe ~ trend)
```

Residuals:

	Min	1Q	Median	3Q	Max
	-772.8	-312.5	43.6	226.9	1485.0

```

Coefficients:
              Estimate Std. Error t value Pr(>|t|)
(Intercept)  433.469      80.899   5.358 4.49e-07 ***
trend        56.592       1.211  46.749 < 2e-16 ***
---
Signif. codes:  0 '***' 0.001 '**' 0.01 '*' 0.05 '.' 0.1 ' ' 1

Residual standard error: 430.9 on 113 degrees of freedom
Multiple R-squared:  0.9508,    Adjusted R-squared:  0.9504
F-statistic: 2185 on 1 and 113 DF,  p-value: < 2.2e-16

```

Estymator trendu liniowego wynosi:  $m_t = 433.469 + 56.592t$ ,

współczynniki są istotne statystycznie,

$R^2 = 0.9508$ . Jest to bardzo dobry wynik.

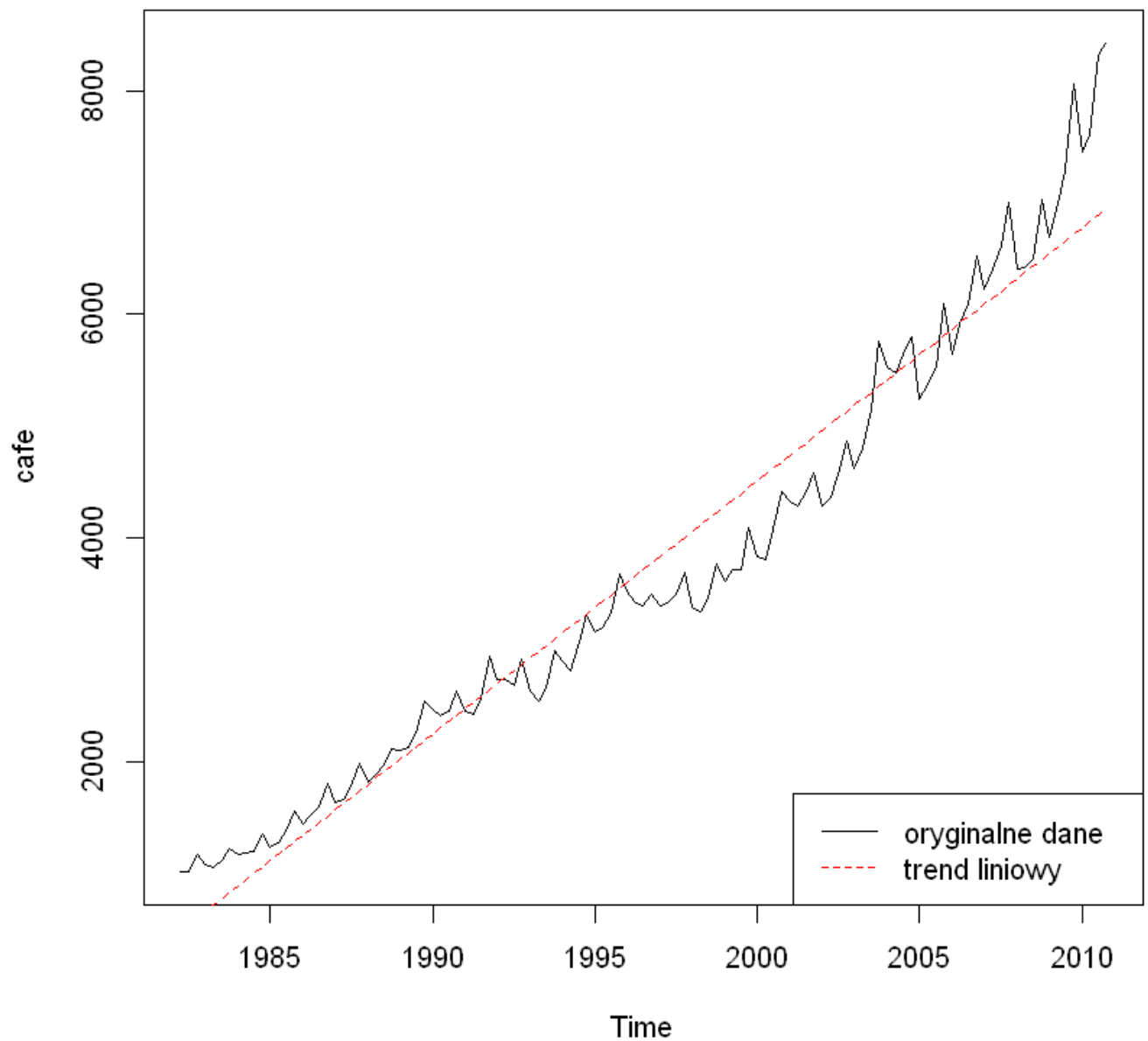
Sprawdźmy jak sytuacja prezentuje się na wykresie.

```

In [18]: plot(cafe, main="Metoda 2")
          lines(fitted(cafe.tlsm.trend), col="red", lty=2)
          legend("bottomright", legend=c("oryginalne dane", "trend liniowy"), col=c("black", "red"), lt

```

## Metoda 2

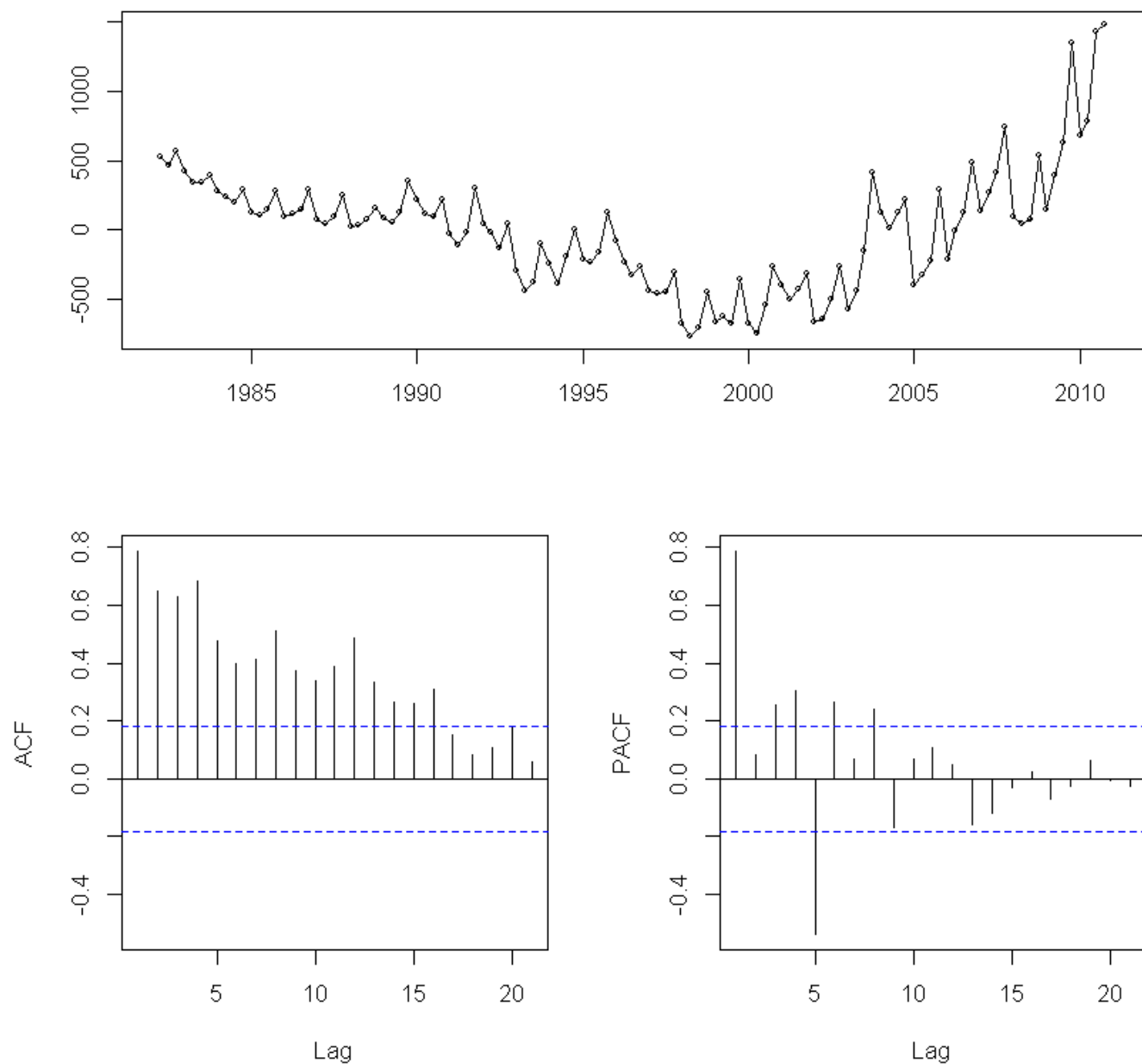


Trend liniowy nie dopasowuje się dobrze do szeregu.

Zobaczmy jak zachowują się reszty.

```
In [19]: tsdisplay(residuals(cafe.tlsm.trend),main="reszty")
```

## reszty



Analizując oba wykresy można mieć zastrzeżenia co do adekwatności modelu trendu liniowego dla danych cafe.

Niezbyt dobre dopasowanie widać już na wykresie pierwszym.

Ponadto, szereg reszt trudno uznać za losowy.

## uwzględnienie trendu i współczynnika sezonowego

```
In [20]: cafe.tlsm.trend.sez=tslm(cafe~trend+season)
```

```
In [21]: summary(cafe.tlsm.trend.sez)
```

Call:

```
tslm(formula = cafe ~ trend + season)
```

Residuals:

Min	1Q	Median	3Q	Max
-----	----	--------	----	-----

-696.81 -317.40 67.02 204.26 1450.64

Coefficients:

	Estimate	Std. Error	t value	Pr(> t )	
(Intercept)	328.219	103.484	3.172	0.00196	**
trend	56.518	1.165	48.506	< 2e-16	***
season2	8.006	109.878	0.073	0.94205	
season3	94.919	109.872	0.864	0.38952	
season4	331.470	109.878	3.017	0.00317	**

---

Signif. codes: 0 '\*\*\*' 0.001 '\*\*' 0.01 '\*' 0.05 '.' 0.1 ' ' 1

Residual standard error: 414.7 on 110 degrees of freedom

Multiple R-squared: 0.9557, Adjusted R-squared: 0.9541

F-statistic: 593 on 4 and 110 DF, p-value: < 2.2e-16

Estymator trendu liniowego wynosi:  $m_t = 328.219 + 56.518 t$ ,

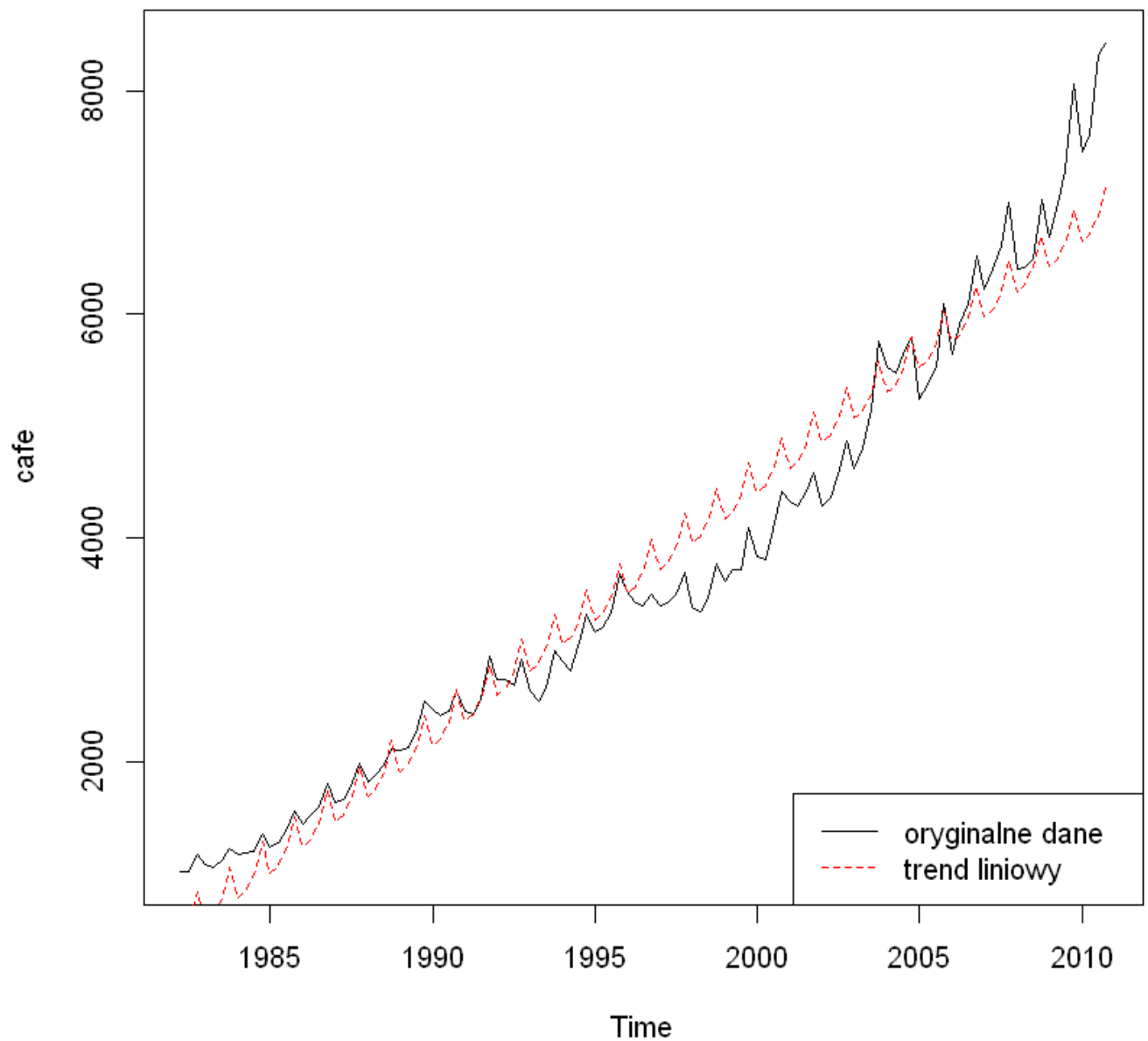
nie wszystkie współczynniki są istotne statystycznie, zmienne season2 oraz season3 nie są istotne statystycznie,

$R^2 = 0.9557$ , delikatnie wzrosło w porównaniu do modelu z samym trendem.

Przjrzyjmy się teraz wykresowi.

```
In [22]: plot(cafe, main="Metoda 2")
lines(fitted(cafe.tlsm.trend.sez), col="red", lty=2)
legend("bottomright", legend=c("oryginalne dane", "trend liniowy"), col=c("black", "red"), lty=c(1, 2))
```

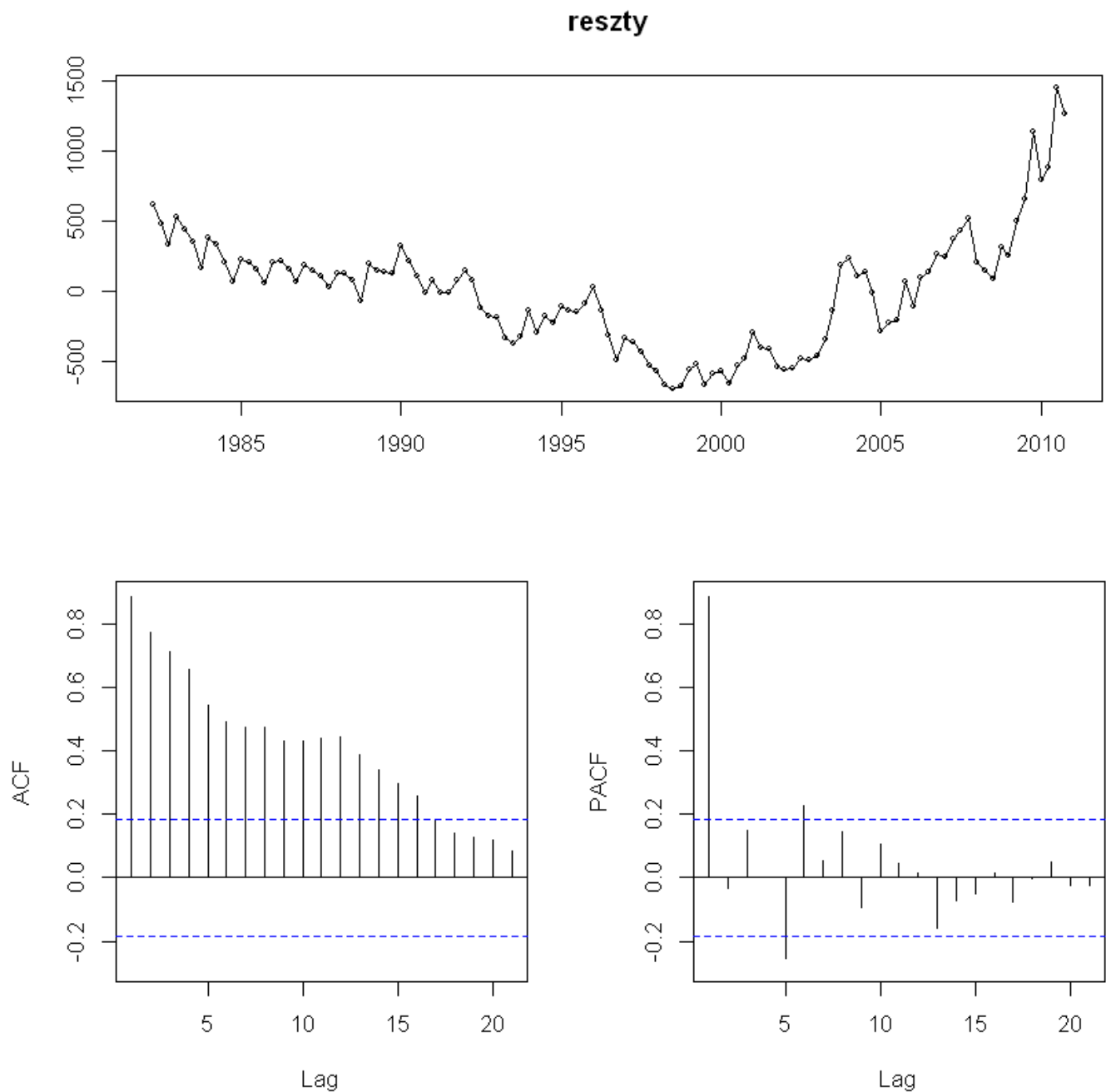
## Metoda 2



Trend liniowy nadal nie dopasowuje się dobrze do oryginalnego szeregu.

Spójrzmy jeszcze na reszty.

```
In [23]: tsdisplay(residuals(cafe.tlsm.trend.sez), main="reszty")
```



Z wykresów widzimy, że jakość dopasowania modelu poprawiła się.

Trudno jednak uznać otrzymany model za zadowalający, co widać chociażby z wykresu reszt.

Prawdopodobnie, problem polega na tym, że jak już zaznaczaliśmy, w szeregu czasowym cafe wariancja rośnie wraz z poziomem szeregu.

### przekształcenie Boxa-Coxa ( w szczególności przekształcenie logarytmiczne)

```
In [24]: cafe.log.tlsm=tslm(cafe~trend+season,lambda=0)
```

```
In [25]: summary(cafe.log.tlsm)
```

```
Call:
tslm(formula = cafe ~ trend + season, lambda = 0)
```

```
Residuals:
    Min       1Q   Median       3Q      Max
```



-0.20026 -0.04936 -0.01090 0.05657 0.19236

Coefficients:

	Estimate	Std. Error	t value	Pr(> t )	
(Intercept)	7.0780570	0.0228126	310.269	<2e-16	***
trend	0.0168247	0.0002569	65.502	<2e-16	***
season2	-0.0138792	0.0242223	-0.573	0.5678	
season3	0.0081347	0.0242210	0.336	0.7376	
season4	0.0770694	0.0242223	3.182	0.0019	**

---

Signif. codes: 0 '\*\*\*' 0.001 '\*\*' 0.01 '\*' 0.05 '.' 0.1 ' ' 1

Residual standard error: 0.09142 on 110 degrees of freedom

Multiple R-squared: 0.9752, Adjusted R-squared: 0.9743

F-statistic: 1080 on 4 and 110 DF, p-value: < 2.2e-16

Estymator trendu liniowego wynosi:  $m_t = 7.0780570 + 0.0168247 t$ ,

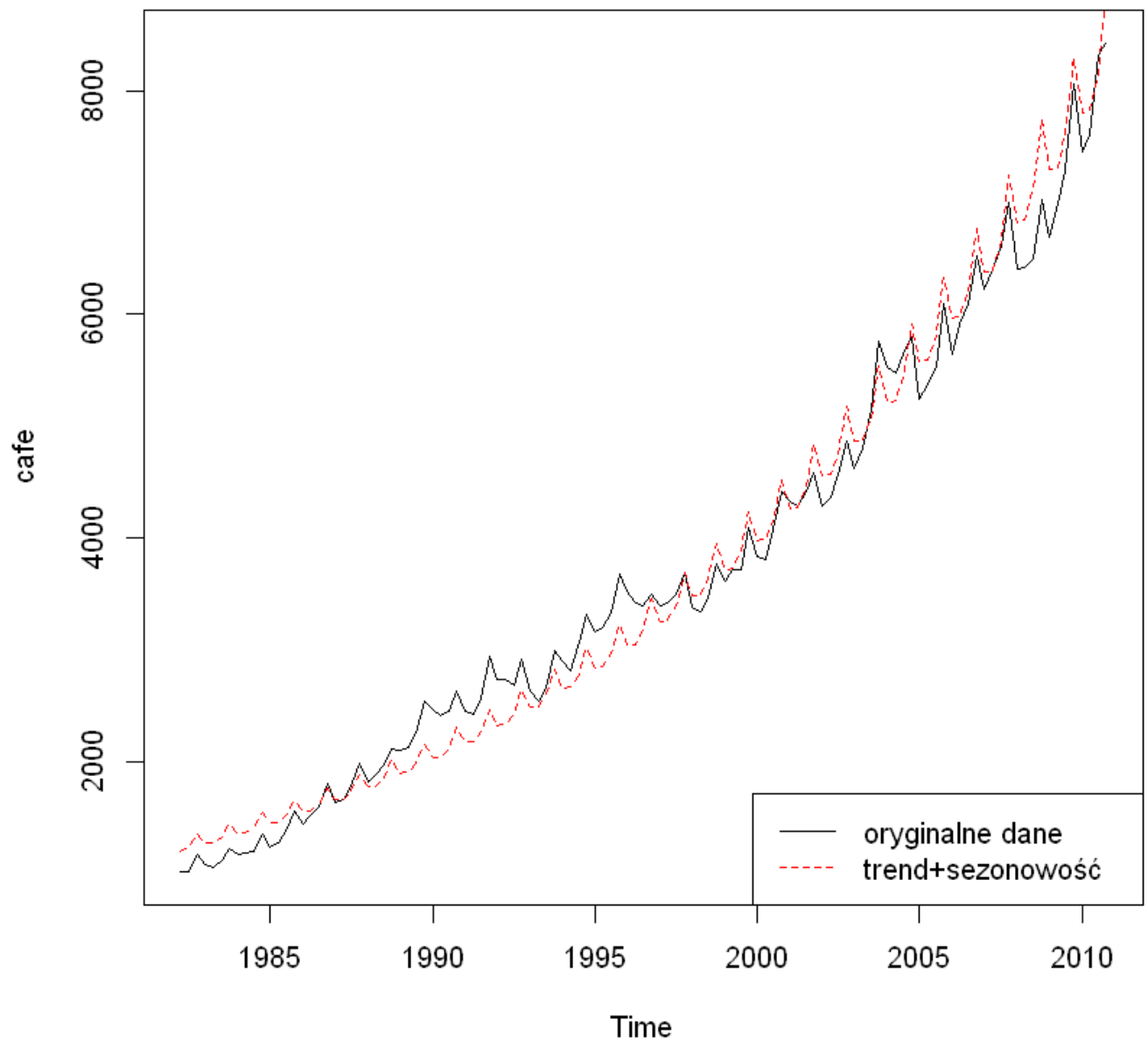
nie wszystkie współczynniki są istotne statystycznie, zmienne season2 oraz season3 nie są istotne statystycznie,

$R^2 = 0.9752$ , delikatnie wzrosło w porównaniu do modeli z samym trendem oraz z trendem i współczynnikiem sezonowym.

Spójrzmy jak sytuacja wygląda na wykresie.

```
In [26]: plot(cafe, main="Metoda 2")
lines(fitted(cafe.log.tlsm), col="red", lty=2)
legend("bottomright", legend=c("oryginalne dane", "trend+sezonowość"), col=c("black", "red"))
```

## Metoda 2

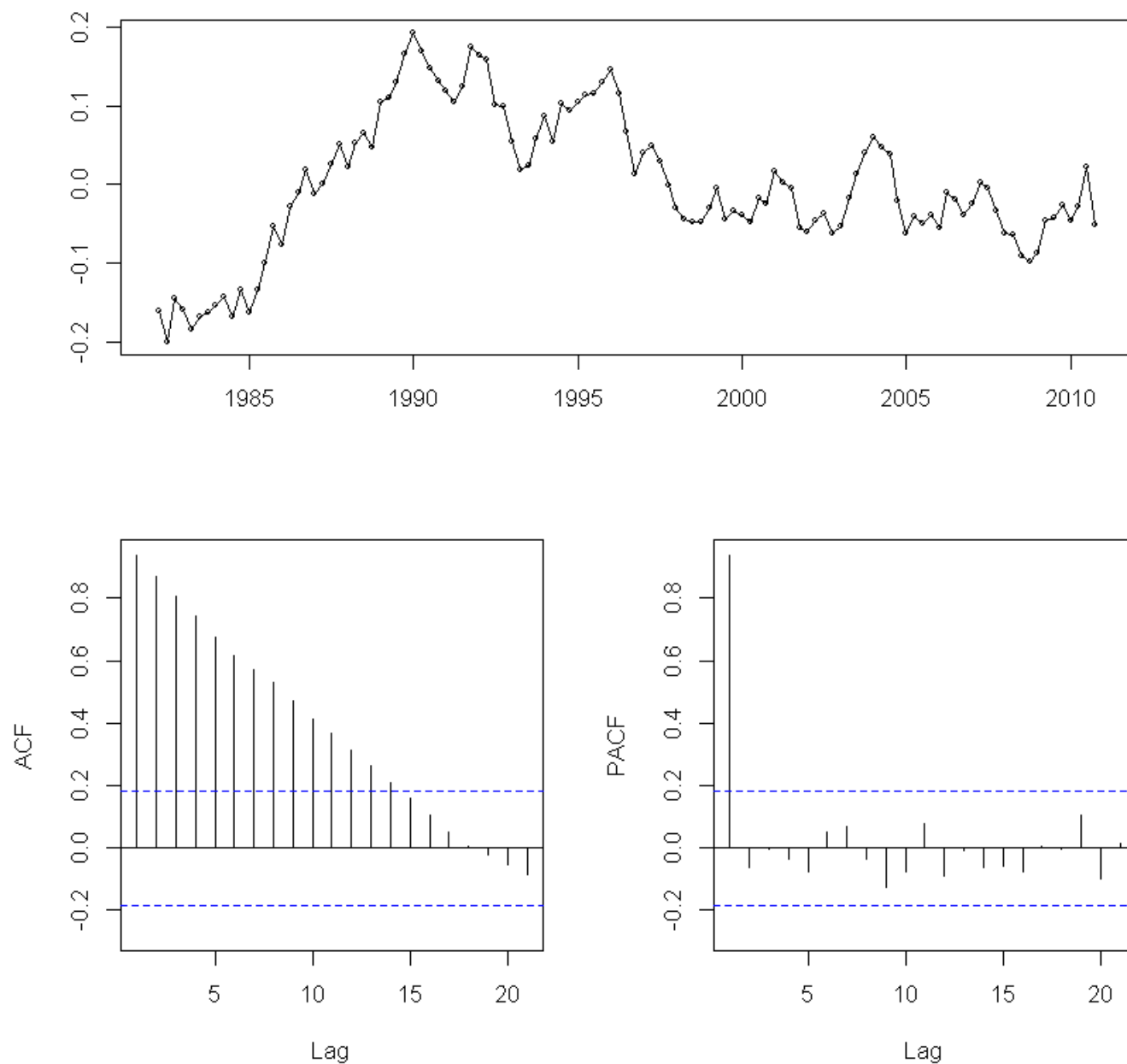


Dopasowanie jest nieco lepsze niż ostatnio.

Spójrzmy jeszcze na reszty.

```
In [27]: tsdisplay(residuals(cafe.log.tlsm), main="reszty")
```

## reszty



Zastosowanie przekształcenia logarytmicznego przed dopasowaniem modelu addytywnego pozwoliło nam pozbyć się problemów wynikających z niejednorodności wariancji na końcach analizowanego szeregu.

Uzyskane reszty trudno jednak uznać za losowe.

Przyjęty model liniowy dla trendu nie jest więc adekwatny.

Nadzieję na poprawę dopasowania modelu dekompozycji możemy wiązać z modelem wielomianowym dla trendu.

**trend wielomianowy - trend kwadratowy oraz stopnia 4-tego zachowując składową sezonową oraz przekształcenie logarytmiczne**

```
In [28]: cafe.log.tlsm.2=tslm(cafe~season+trend+I(trend^2),lambda=0)
cafe.log.tlsm.4=tslm(cafe~season+poly(trend,raw=TRUE,degree=4),lambda=0)
```

```
In [29]: summary(cafe.log.tlsm.2)
```

```
Call:
tslm(formula = cafe ~ season + trend + I(trend^2), lambda = 0)
```

Residuals:

Min	1Q	Median	3Q	Max
-0.111141	-0.059620	-0.000395	0.048980	0.170572

Coefficients:

	Estimate	Std. Error	t value	Pr(> t )
(Intercept)	6.941e+00	2.314e-02	299.955	< 2e-16 ***
season2	-9.320e-03	1.845e-02	-0.505	0.614
season3	1.263e-02	1.845e-02	0.685	0.495
season4	8.163e-02	1.845e-02	4.424	2.30e-05 ***
trend	2.369e-02	7.890e-04	30.029	< 2e-16 ***
I(trend^2)	-5.921e-05	6.590e-06	-8.986	8.75e-15 ***

---

Signif. codes: 0 '\*\*\*' 0.001 '\*\*' 0.01 '\*' 0.05 '.' 0.1 ' ' 1

Residual standard error: 0.06961 on 109 degrees of freedom  
Multiple R-squared: 0.9857, Adjusted R-squared: 0.9851  
F-statistic: 1507 on 5 and 109 DF, p-value: < 2.2e-16

Estymator trendu liniowego wynosi:  $m_t = 6.941 + 0.02369t - 0.00005921t^2$ ,

nie wszystkie współczynniki są istotne statystycznie, zmienne season2 oraz season3 nie są istotne statystycznie,

$R^2 = 0.9857$ , delikatnie wzrosło w porównaniu do poprzednich modeli.

```
In [30]: summary(cafe.log.tlsm.4)
```

Call:

```
tslm(formula = cafe ~ season + poly(trend, raw = TRUE, degree = 4),
      lambda = 0)
```

Residuals:

Min	1Q	Median	3Q	Max
-0.092203	-0.032711	-0.004403	0.029709	0.108008

Coefficients:

	Estimate	Std. Error	t value	Pr(> t )
(Intercept)	6.780e+00	2.474e-02	273.998	< 2e-16 ***
season2	-6.275e-03	1.249e-02	-0.502	0.61652
season3	1.326e-02	1.249e-02	1.061	0.29091
season4	7.989e-02	1.249e-02	6.395	4.32e-09 ***
poly(trend, raw = TRUE, degree = 4)1	4.126e-02	2.743e-03	15.041	< 2e-16 ***
poly(trend, raw = TRUE, degree = 4)2	-4.952e-04	9.557e-05	-5.182	1.04e-06 ***
poly(trend, raw = TRUE, degree = 4)3	3.525e-06	1.235e-06	2.854	0.00519 **
poly(trend, raw = TRUE, degree = 4)4	-7.707e-09	5.284e-09	-1.459	0.14759

---

Signif. codes: 0 '\*\*\*' 0.001 '\*\*' 0.01 '\*' 0.05 '.' 0.1 ' ' 1

Residual standard error: 0.04709 on 107 degrees of freedom  
Multiple R-squared: 0.9936, Adjusted R-squared: 0.9932  
F-statistic: 2369 on 7 and 107 DF, p-value: < 2.2e-16

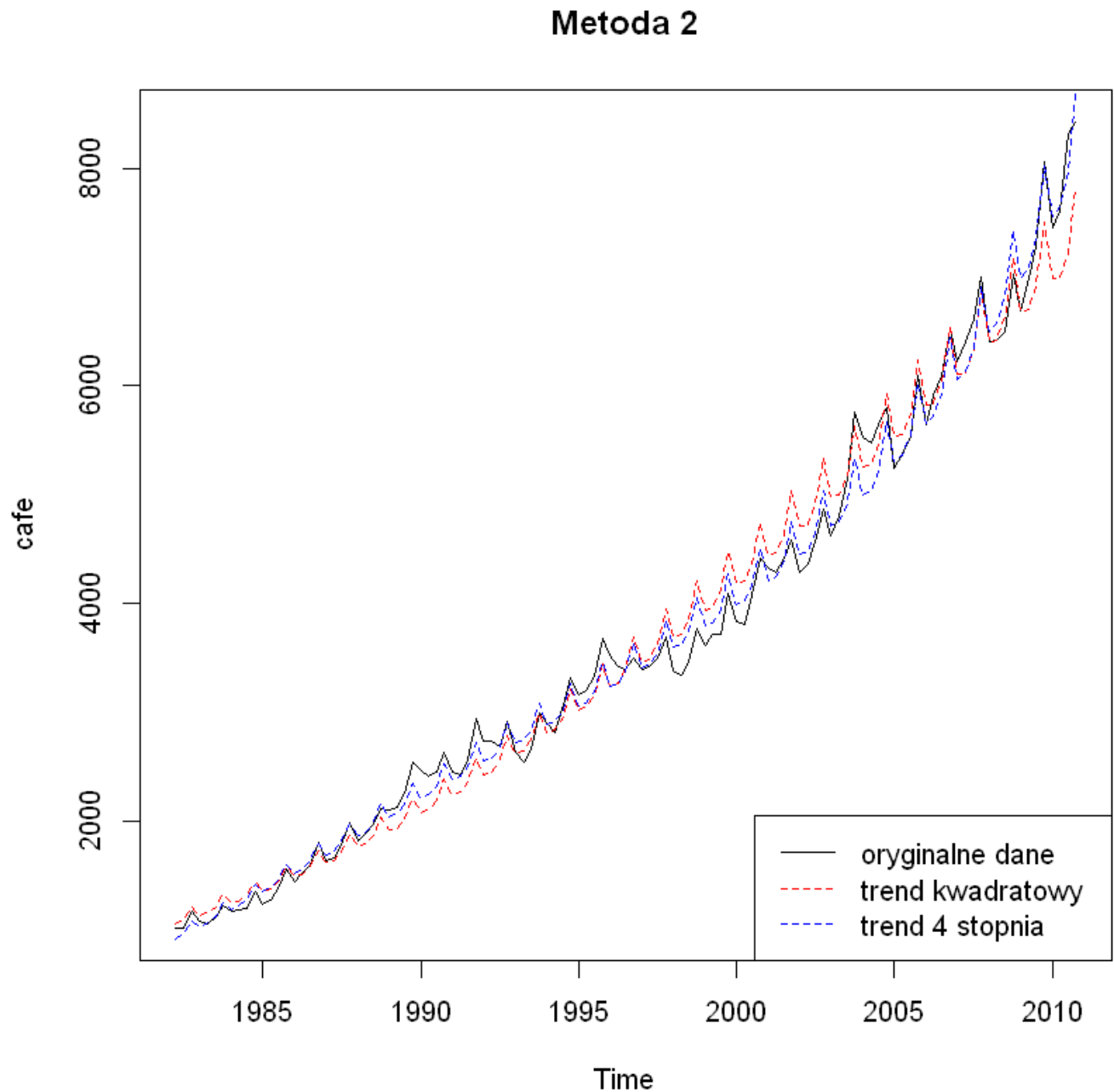
Estymator trendu liniowego wynosi:  $m_t = 6.780 + 0.04126t - 0.0004952t^2 + 0.000003525t^3 - 0.000000007707t^4$ ,

nie wszystkie współczynniki są istotne statystycznie, zmienne season2 oraz season3 nie są istotne statystycznie,

$R^2 = 0.9936$ , jest najlepsze spośród wszystkich sprawdzanych modeli.

Sprawdźmy jak sytuacja będzie się obrazowała na wykresie.

```
In [31]: plot(cafe,main="Metoda 2")
lines(fitted(cafe.log.tlsm.2),col="red",lty=2)
lines(fitted(cafe.log.tlsm.4),col="blue",lty=2)
legend("bottomright",legend=c("oryginalne dane","trend kwadratowy","trend 4 stopnia"), c
```

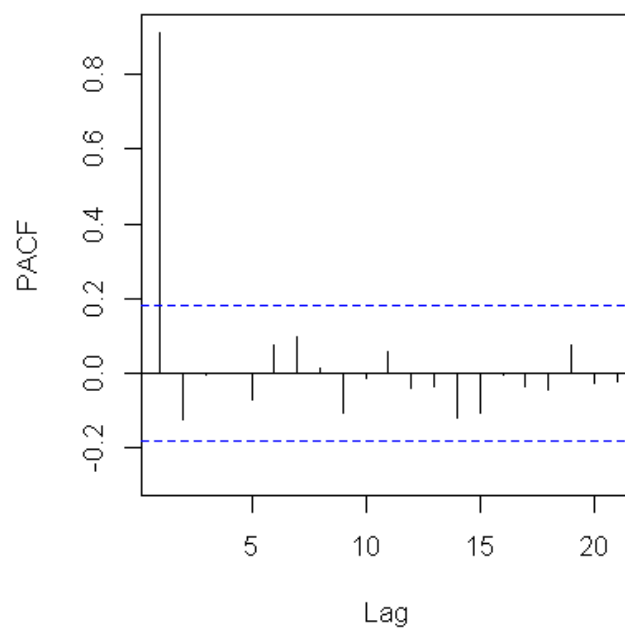
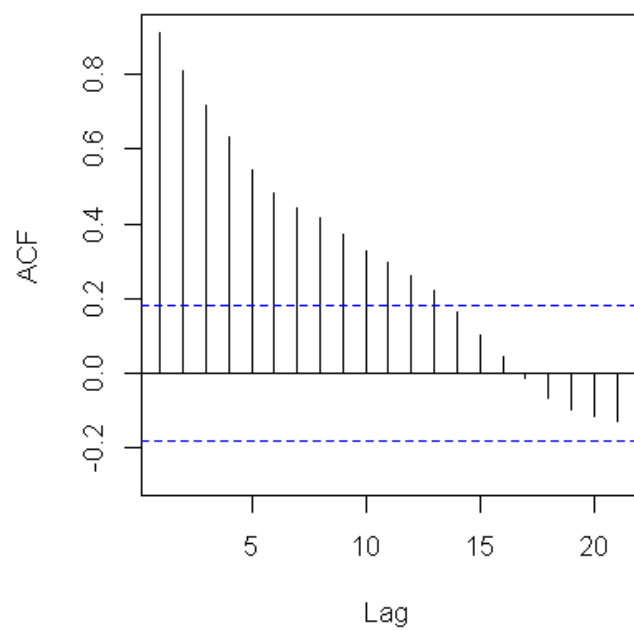
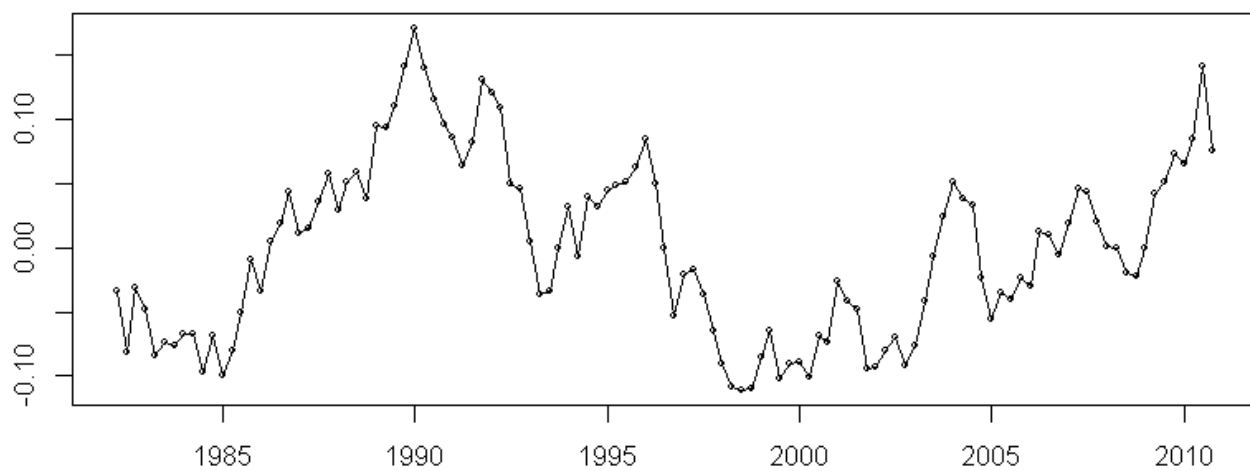


Widzimy, że używanie trendu wielomianowego prowadzi do poprawy jakości dopasowania, zwłaszcza w przypadku wielomianu 4-ego stopnia.

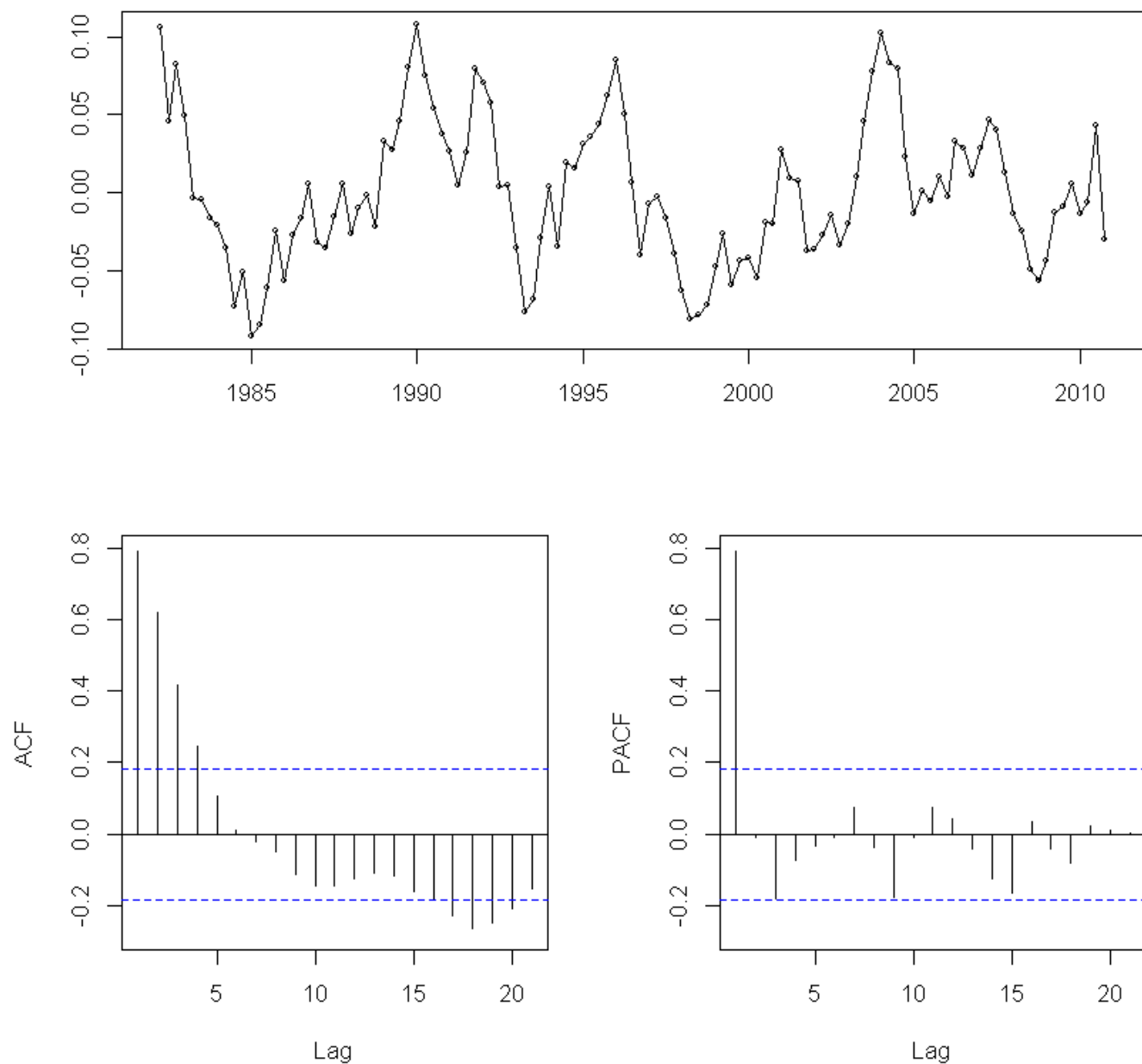
Przyjrzyjmy się jeszcze resztom.

```
In [32]: tsdisplay(residuals(cafe.log.tlsm.2),main="reszty:trend kwadratowy")
tsdisplay(residuals(cafe.log.tlsm.4),main="reszty:trend 4 stopnia")
```

reszty:trend kwadratowy



## reszty:trend 4 stopnia



Dla modelu trendu 4 stopnia otrzymujemy bardziej losowe reszty, które są także bliższe spełnienia założenia o stacjonarności.

## ocena jakości dopasowania modelu do danych z wykorzystaniem kryteriów informacyjnych AIC i BIC

```
In [33]: AIC(cafe.log.tlsm,cafe.log.tlsm.2,cafe.log.tlsm.4)
```

	df	AIC
<b>cafe.log.tlsm</b>	6	-216.9879
<b>cafe.log.tlsm.2</b>	7	-278.7362
<b>cafe.log.tlsm.4</b>	9	-366.7231

```
In [34]: BIC(cafe.log.tlsm,cafe.log.tlsm.2,cafe.log.tlsm.4)
```

	df	BIC
--	----	-----

cafe.log.tlsm 6 -200.5183

cafe.log.tlsm.2 7 -259.5217

cafe.log.tlsm.4 9 -342.0187

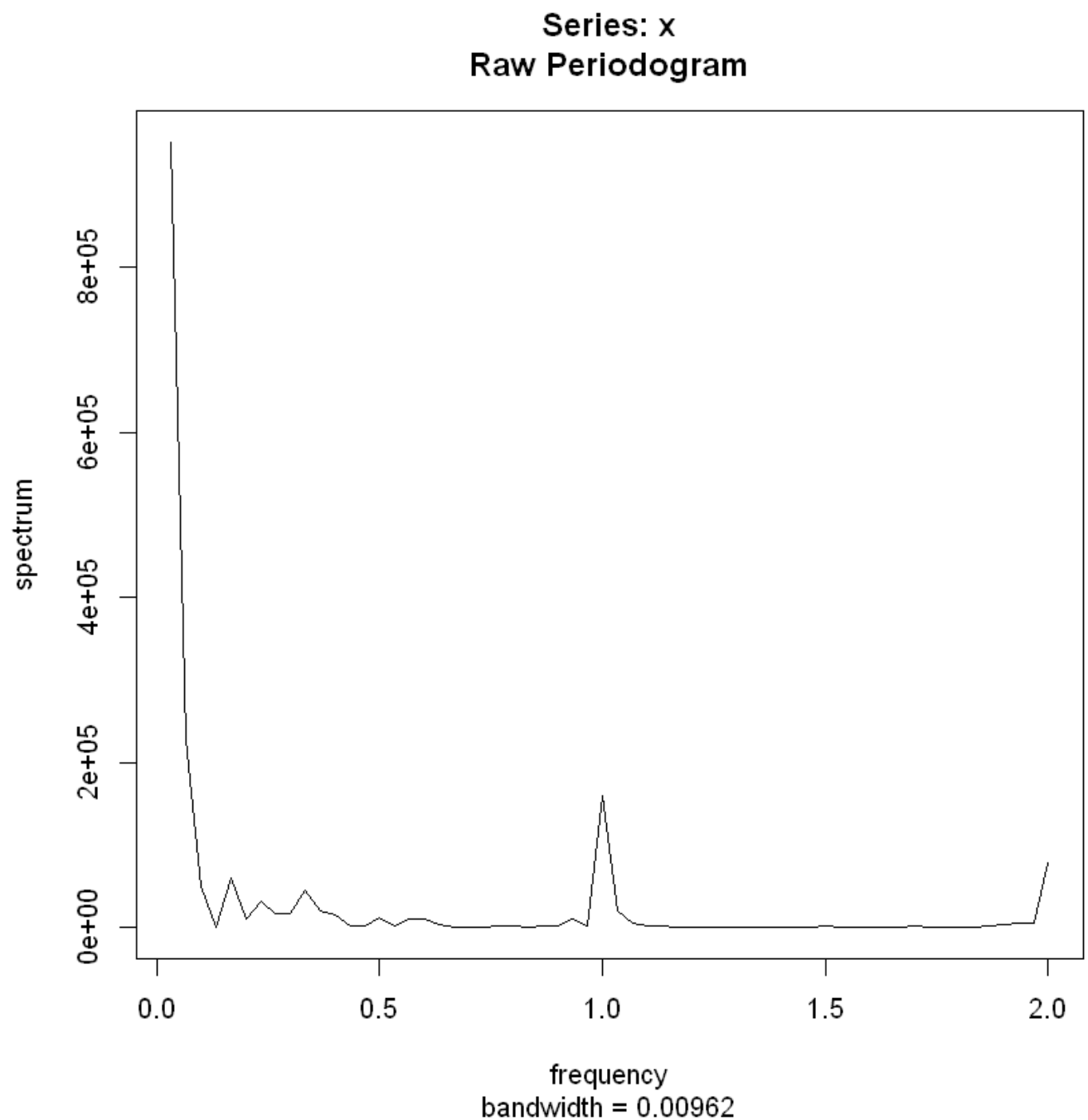
Im mniejsza jest wartość tych kryteriów, tym lepsze jest dopasowanie.

Widzimy, że w obu przypadkach model z trendem 4 stopnia jest najlepszym wyborem.

## Analiza widmowa

bez wygładzenia

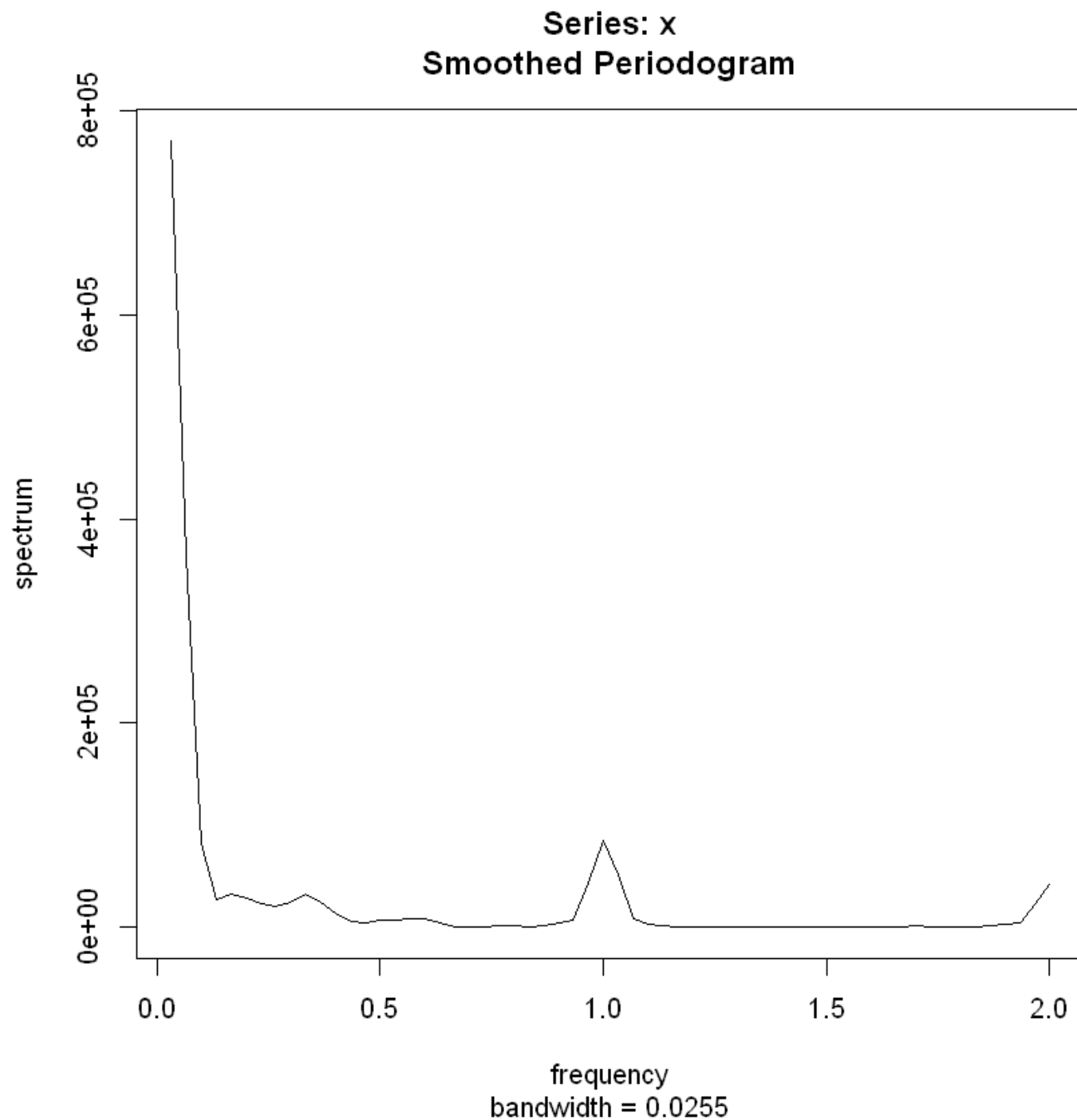
```
In [35]: Cafe=spectrum(cafe,log="no")
```



z wygładzeniem



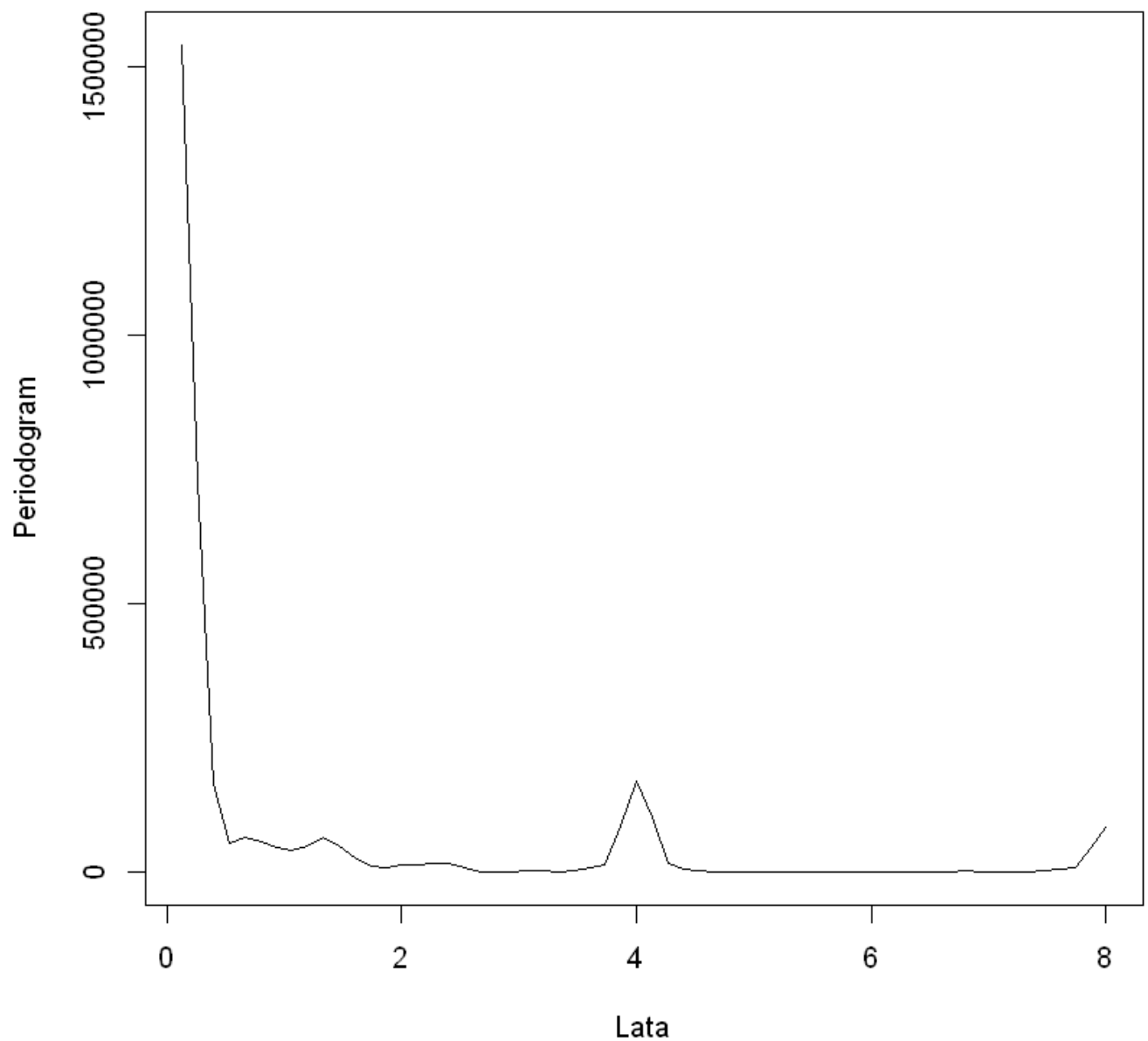
```
In [36]: Cafe=spectrum(cafe,log="no", span=3)
```



Nasz plik jest obiektem klasy ts z zadeklarowaną częstotliwością, dlatego też wyniki te należy interpretować następująco: mamy wyraźną okresowość roczną.

**zmieńmy skalę na osi x, żeby lepiej odczytać częstotliwość**

```
In [37]: spx=Cafe$freq*4  
spy=2*Cafe$spec  
plot(spy~spx,xlab="Lata",ylab="Periodogram",type="l")
```



Zatem ta najbardziej wyraźna okresowość odpowiada 4-emu rokowi (1986).

Pozostałe okresowości już nie są widoczne.

## Dopasowanie modeli z estymacją parametrów

### metoda Yule'a-Walkera

```
In [38]: AR.model.yw=ar(cafe,order.max=1,aic=FALSE)
```

```
In [39]: print(AR.model.yw)
```

```
Call:
ar(x = cafe, aic = FALSE, order.max = 1)
```

```
Coefficients:
1
```

0.9573

Order selected 1 sigma^2 estimated as 315642

Dopasowanym modelem jest AR(1).

## metoda największej wiarygodności

```
In [40]: AR.model.mle=ar(cafe,order.max=1,aic=FALSE,method="mle")
```

```
In [41]: print(AR.model.mle)
```

Call:

```
ar(x = cafe, aic = FALSE, order.max = 1, method = "mle")
```

Coefficients:

```
1  
0.9975
```

Order selected 1 sigma^2 estimated as 60948

Dopasowanym modelem jest ponownie AR(1).

## automatyczny wybór rzędu AR

```
In [42]: AR.optym.aic=ar(cafe,aic=TRUE)
```

```
In [43]: print(AR.optym.aic)
```

Call:

```
ar(x = cafe, aic = TRUE)
```

Coefficients:

```
1  
0.9573
```

Order selected 1 sigma^2 estimated as 315642

Korzystając z kryterium AIC do wyboru optymalnego rzędu modelu AR widzimy, że  $p=1$  było dobrym wyborem.

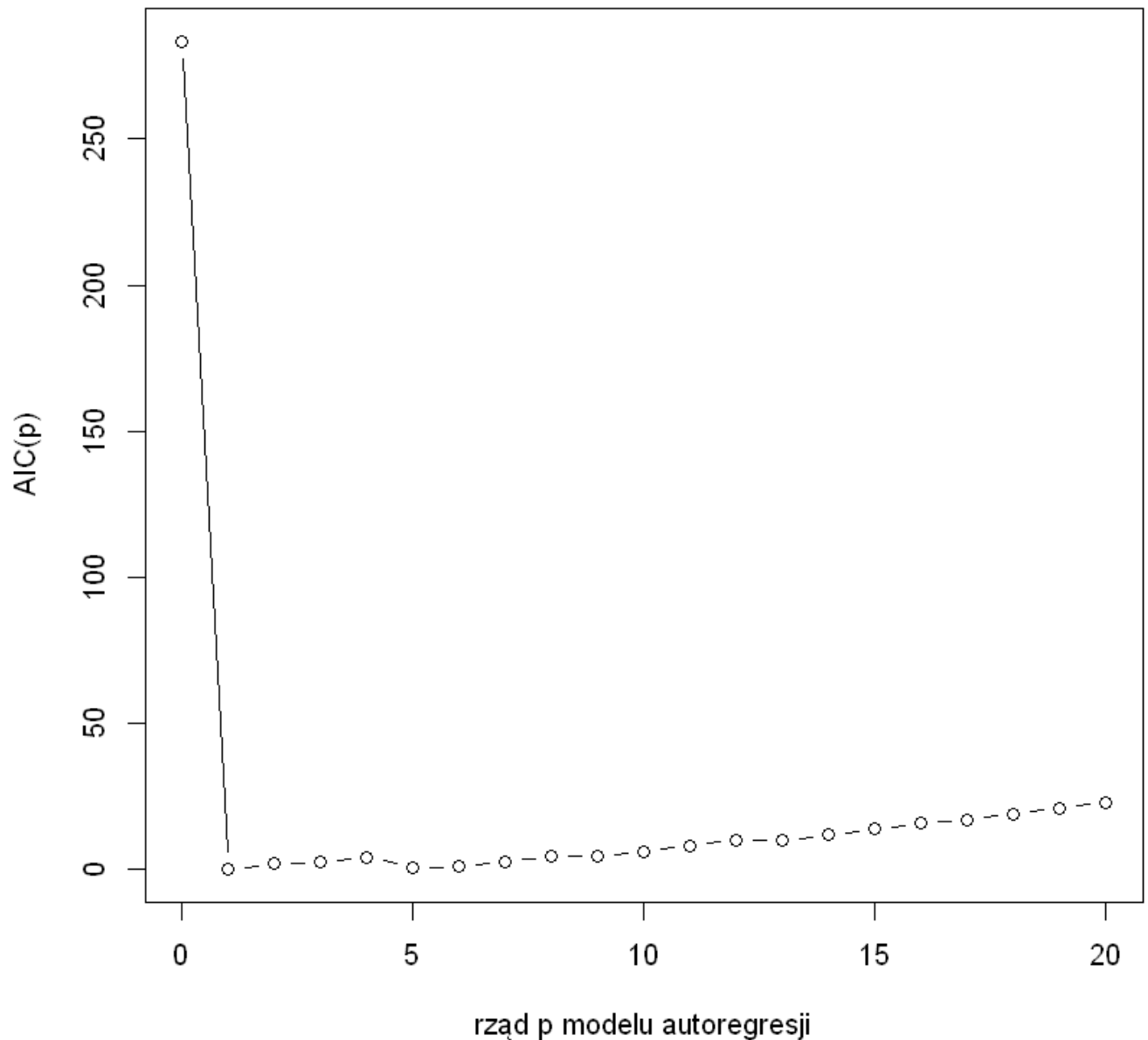
Zasymulowany szereg jest modelem autoregresji rzędu 1.

Również oszacowania parametrów modelu są różne dopiero od 2-ego miejsca po przecinku w zestawieniu z dwoma wcześniejszymi metodami.

Przyjrzyjmy się poniższemu wykresowi.

```
In [44]: AR.aic=AR.optym.aic$aic  
plot(as.numeric(names(AR.aic)),AR.aic,xlab="rzęd p modelu autoregresji",ylab="AIC(p)",ma
```

## porównanie kryterium AIC



Widzimy, że najlepszym wyborem jest rząd 1.

wybór optymalnego modelu

## Kryterium informacyjne Akaikego (AIC)

### Metoda krokowa

```
In [45]: arima.opt.AIC=auto.arima(cafe,ic="aic")
         arima.opt.AIC
```

```
Series: cafe
ARIMA(0,1,0) (0,1,2) [4]
```

```
Coefficients:
          sma1      sma2
      -0.9642   0.3096
s.e.      0.1139   0.1052
```

```
sigma^2 estimated as 15744: log likelihood=-688.57  
AIC=1383.14 AICc=1383.37 BIC=1391.25
```

## Przeszukiwanie zupełne

```
In [46]: arima.opt.AICs=auto.arima(cafe,ic="aic", stepwise=FALSE)  
arima.opt.AICs
```

```
Series: cafe  
ARIMA(0,1,0) (0,1,2) [4]
```

```
Coefficients:  
          sma1      sma2  
      -0.9642   0.3096  
s.e.    0.1139   0.1052
```

```
sigma^2 estimated as 15744: log likelihood=-688.57  
AIC=1383.14 AICc=1383.37 BIC=1391.25
```

Obie metody doprowadziły do wyboru modelu ARIMA(0,1,0) x (0,1,2) jako modelu optymalnego.

## Skorygowana wersja AIC

### Metoda krokowa

```
In [47]: arima.opt.AICc=auto.arima(cafe,ic="aicc")  
arima.opt.AICc
```

```
Series: cafe  
ARIMA(0,1,0) (0,1,2) [4]
```

```
Coefficients:  
          sma1      sma2  
      -0.9642   0.3096  
s.e.    0.1139   0.1052
```

```
sigma^2 estimated as 15744: log likelihood=-688.57  
AIC=1383.14 AICc=1383.37 BIC=1391.25
```

## Przeszukiwanie zupełne

```
In [48]: arima.opt.AICCs=auto.arima(cafe,ic="aicc", stepwise=FALSE)  
arima.opt.AICCs
```

```
Series: cafe  
ARIMA(0,1,0) (0,1,2) [4]
```

```
Coefficients:  
          sma1      sma2  
      -0.9642   0.3096  
s.e.    0.1139   0.1052
```

```
sigma^2 estimated as 15744: log likelihood=-688.57  
AIC=1383.14 AICc=1383.37 BIC=1391.25
```

Obie metody potwierdziły, że optymalnym modelem jest model ARIMA(0,1,0) x (0,1,2).

## Bayesowskie kryterium informacyjne BIC

## Metoda krokowa

```
In [49]: arima.opt.BIC=auto.arima(caffe,ic="bic")
         arima.opt.BIC

Series: caffe
ARIMA(0,1,0) (0,1,2) [4]

Coefficients:
            sma1      sma2
        -0.9642   0.3096
s.e.      0.1139   0.1052

sigma^2 estimated as 15744:  log likelihood=-688.57
AIC=1383.14   AICc=1383.37   BIC=1391.25
```

## Przeszukiwanie zupełne

```
In [50]: arima.opt.BICs=auto.arima(caffe,ic="bic", stepwise=FALSE)
         arima.opt.BICs

Series: caffe
ARIMA(0,1,0) (0,1,2) [4]

Coefficients:
            sma1      sma2
        -0.9642   0.3096
s.e.      0.1139   0.1052

sigma^2 estimated as 15744:  log likelihood=-688.57
AIC=1383.14   AICc=1383.37   BIC=1391.25
```

Wszystkie modele dla obu metod potwierdziły, że optymalnym modelem jest model ARIMA(0,1,0) x (0,1,2).

## Wykonanie badań diagnostycznych

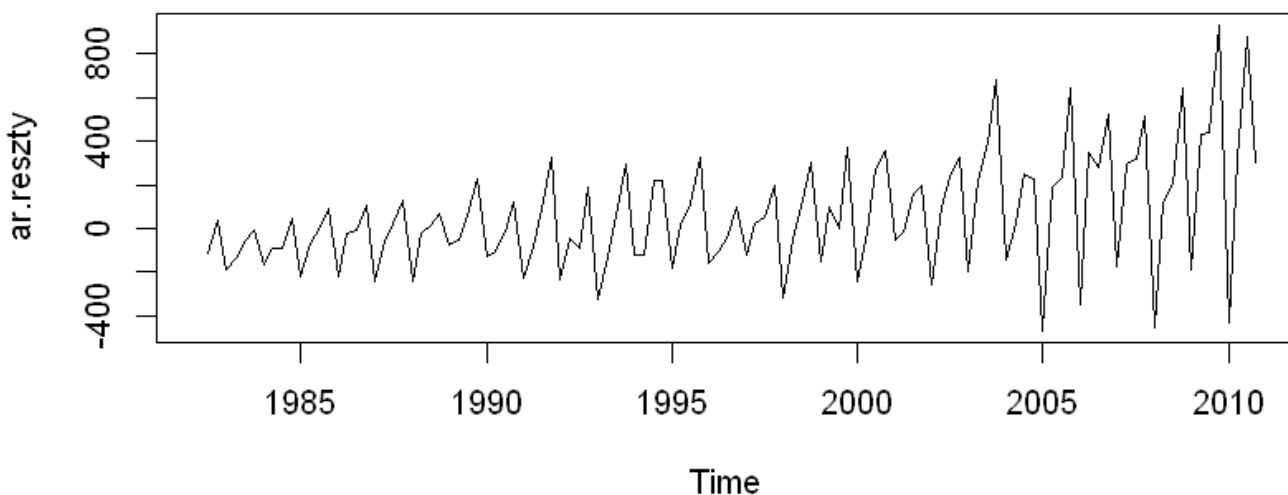
Narysujmy teraz wykres wartości resztowych oraz ACF dla modelu AR(1).

Skorzystamy z zbudowanego już wcześniej modelu.

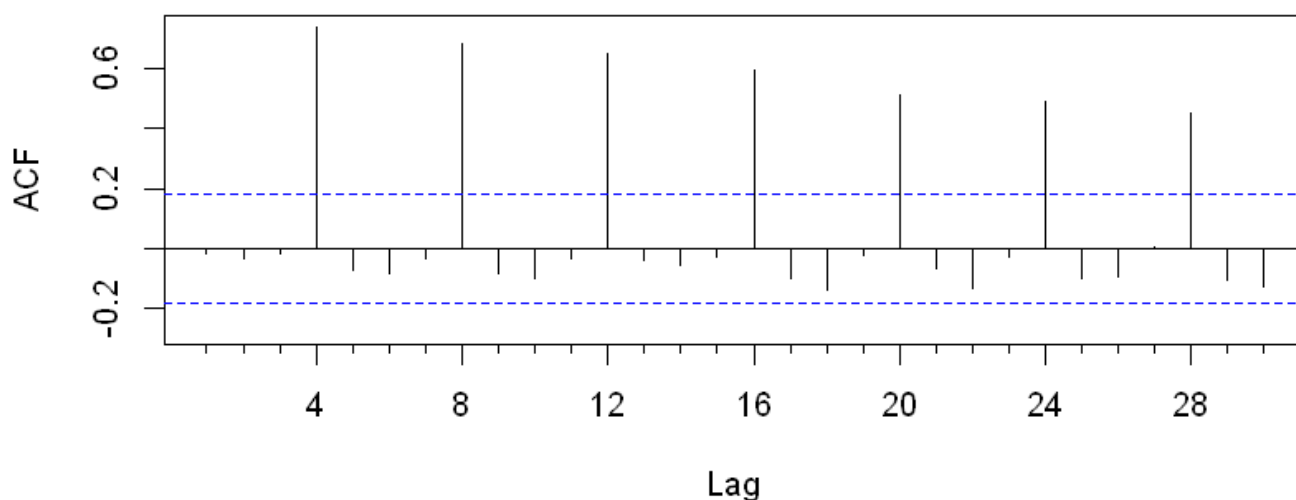
```
In [51]: ar.reszty=AR.optym.aic$resid

In [52]: par(mfrow=c(2,1))
         plot(ar.reszty,main="AR(1):wykres reszt")
         Acf(ar.reszty,lag.max=30,main="AR(1):ACF dla reszt")
```

### AR(1):wykres reszt



### AR(1):ACF dla reszt



Wykres dla modelu nie zawiera żadnych regularnych wzorców i wygląda na losowy.

Na wykresie ACF jednak widzimy pojedyncze istotne wartości: dla modelu AR(1) - dla opóźnień 4, 8, 12, 16, 20, 24 oraz 28.

Może to świadczyć o pewnych pozostałościach zależności, które nie zostały wyjaśnione przez dopasowane modele.

Zbadajmy jeszcze losowość reszt, wykorzystując test Ljunga-Boxa.

Musimy załadować pakiet, z którego będziemy korzystali.

```
In [53]: library(stats)
```

Zwracamy uwagę na wskaźnik p-value: jeśli jest on nie mniejszy niż 0.05, to hipotezę o losowości nie odrzucamy (odpowiednią wartość resztową uznajemy za nieistotną), przy zbyt małej wartości p-value - odrzucamy hipotezę o losowości.

H<sub>0</sub> - reszty są losowe,

H<sub>1</sub> - reszty nie są losowe.

```
In [54]: Box.test(ar.reszty, lag=4, type="Ljung-Box")  
  
Box-Ljung test  
  
data: ar.reszty  
X-squared = 65.527, df = 4, p-value = 1.993e-13
```

Odrzucamy hipotezę zerową o losowości reszt.

```
In [55]: Box.test(ar.reszty, lag=8, type="Ljung-Box")  
  
Box-Ljung test  
  
data: ar.reszty  
X-squared = 125.15, df = 8, p-value < 2.2e-16
```

Odrzucamy hipotezę zerową o losowości reszt.

```
In [56]: Box.test(ar.reszty, lag=12, type="Ljung-Box")  
  
Box-Ljung test  
  
data: ar.reszty  
X-squared = 182.5, df = 12, p-value < 2.2e-16
```

Odrzucamy hipotezę zerową o losowości reszt.

```
In [57]: Box.test(ar.reszty, lag=16, type="Ljung-Box")  
  
Box-Ljung test  
  
data: ar.reszty  
X-squared = 230.91, df = 16, p-value < 2.2e-16
```

Odrzucamy hipotezę zerową o losowości reszt.

```
In [58]: Box.test(ar.reszty, lag=20, type="Ljung-Box")  
  
Box-Ljung test  
  
data: ar.reszty  
X-squared = 272.21, df = 20, p-value < 2.2e-16
```

Odrzucamy hipotezę zerową o losowości reszt.

```
In [59]: Box.test(ar.reszty, lag=24, type="Ljung-Box")  
  
Box-Ljung test  
  
data: ar.reszty  
X-squared = 311.17, df = 24, p-value < 2.2e-16
```

```
In [60]: Box.test(ar.reszty, lag=28, type="Ljung-Box")  
  
Box-Ljung test  
  
data: ar.reszty  
X-squared = 345.02, df = 28, p-value < 2.2e-16
```



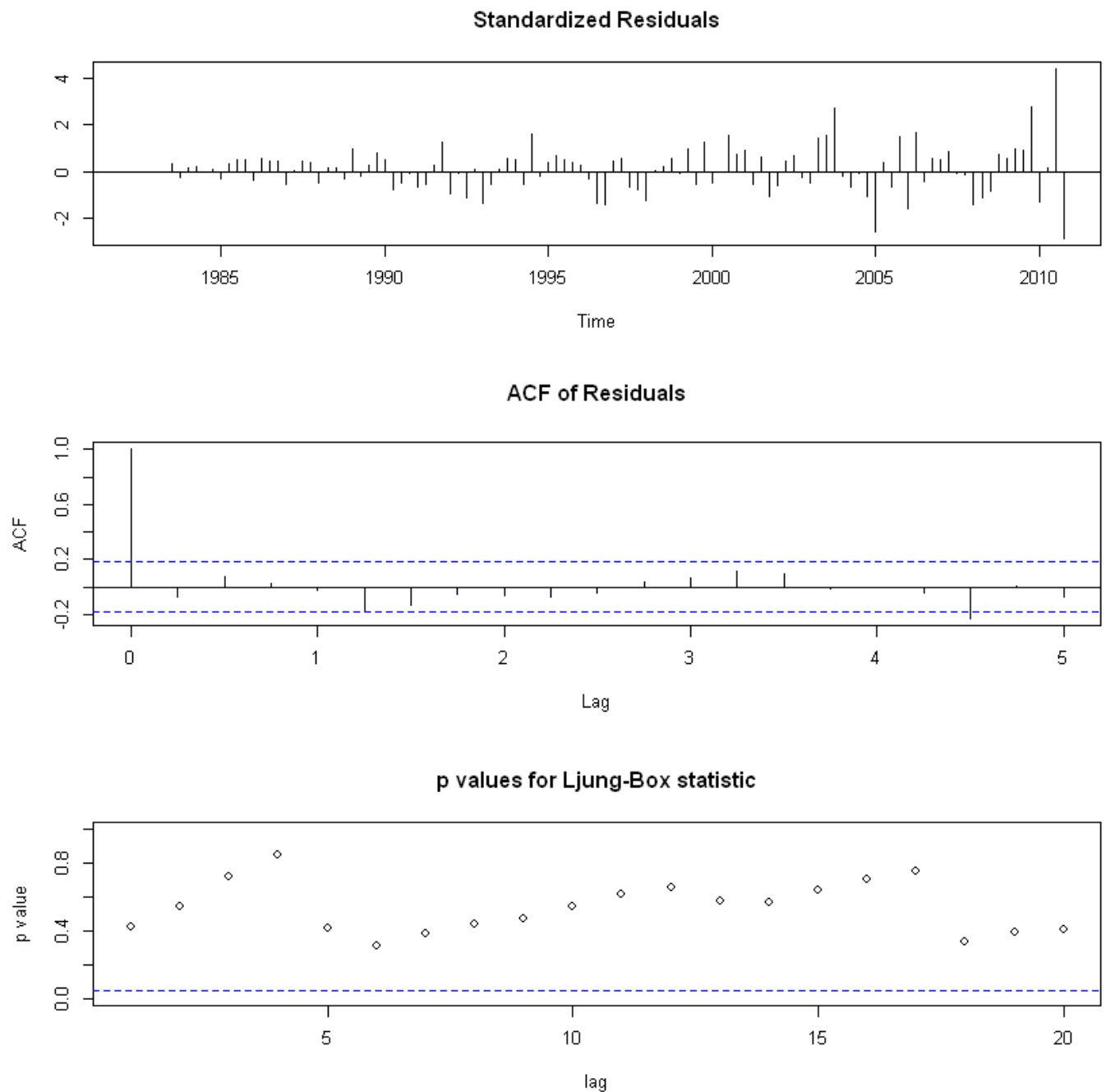
Odrzucamy hipotezę zerową o losowości reszt.

Dla reszt z modelu AR(1) odrzucamy hipotezę o losowości reszt dla opóźnień 4, 8, 12, 16, 20, 24 oraz 28.

Zbadamy teraz własności reszt dla modelu dopasowanego do przekształconych danych cafe, czyli modelu  $ARIMA(0,1,0) \times (0,1,2)_4$  dla oryginalnego szeregu.

Ten model dopasowywaliśmy przy pomocy funkcji `auto.arima()`.

```
In [61]: ARIMA.model=Arima(cafe,order=c(0,1,0),seasonal=list(order=c(0,1,2),period=4))
         tsdiag(ARIMA.model,gof.lag=20)
```



Otrzymaliśmy wykresy: standaryzowanych reszt (tzn. przeskalowanych, aby wariancja była równa 1), wartości ACF dla reszt oraz p-values dla hipotezy o losowości reszt testem Ljunga-Boxa.

W tym przypadku nie mamy zastrzeżeń co do poprawności dopasowania modelu.

W szczególności, p-values dla testu Ljunga-Boxa dla większości naszych rozważanych opóźnień (4,12,16) są większe od poziomu istotności 0.05, co być może przemawia za przyjęciem hipotezy o losowości reszt.

Oprócz funkcji `tsdiag()` do analizy wartości resztowych można też wykorzystać dodatkowe narzędzia.

Zastosujmy test Ljunga-Boxa, aby otrzymać dokładne wartości p-values.

```
In [62]: ARIMA.reszty=residuals(ARIMA.model)
Box.test(ARIMA.reszty,lag=4,type="Ljung-Box")
```

Box-Ljung test

```
data: ARIMA.reszty
X-squared = 1.3687, df = 4, p-value = 0.8496
```

Nie mamy podstaw do odrzucenia hipotezy zerowej o losowości reszt.

```
In [63]: Box.test(ARIMA.reszty,lag=8,type="Ljung-Box")
```

Box-Ljung test

```
data: ARIMA.reszty
X-squared = 7.9472, df = 8, p-value = 0.4386
```

Nie mamy podstaw do odrzucenia hipotezy zerowej o losowości reszt.

```
In [64]: Box.test(ARIMA.reszty,lag=12,type="Ljung-Box")
```

Box-Ljung test

```
data: ARIMA.reszty
X-squared = 9.525, df = 12, p-value = 0.6576
```

Nie mamy podstaw do odrzucenia hipotezy zerowej o losowości reszt.

```
In [65]: Box.test(ARIMA.reszty,lag=16,type="Ljung-Box")
```

Box-Ljung test

```
data: ARIMA.reszty
X-squared = 12.501, df = 16, p-value = 0.7088
```

Nie mamy podstaw do odrzucenia hipotezy zerowej o losowości reszt.

```
In [66]: Box.test(ARIMA.reszty,lag=20,type="Ljung-Box")
```

Box-Ljung test

```
data: ARIMA.reszty
X-squared = 20.858, df = 20, p-value = 0.4055
```

Nie mamy podstaw do odrzucenia hipotezy zerowej o losowości reszt.

```
In [67]: Box.test(ARIMA.reszty,lag=24,type="Ljung-Box")
```

Box-Ljung test

```
data: ARIMA.reszty
X-squared = 26.727, df = 24, p-value = 0.3173
```

Nie mamy podstaw do odrzucenia hipotezy zerowej o losowości reszt.

```
In [68]: Box.test(ARIMA.reszty, lag=28, type="Ljung-Box")
```

Box-Ljung test

```
data: ARIMA.reszty  
X-squared = 29.038, df = 28, p-value = 0.4106
```

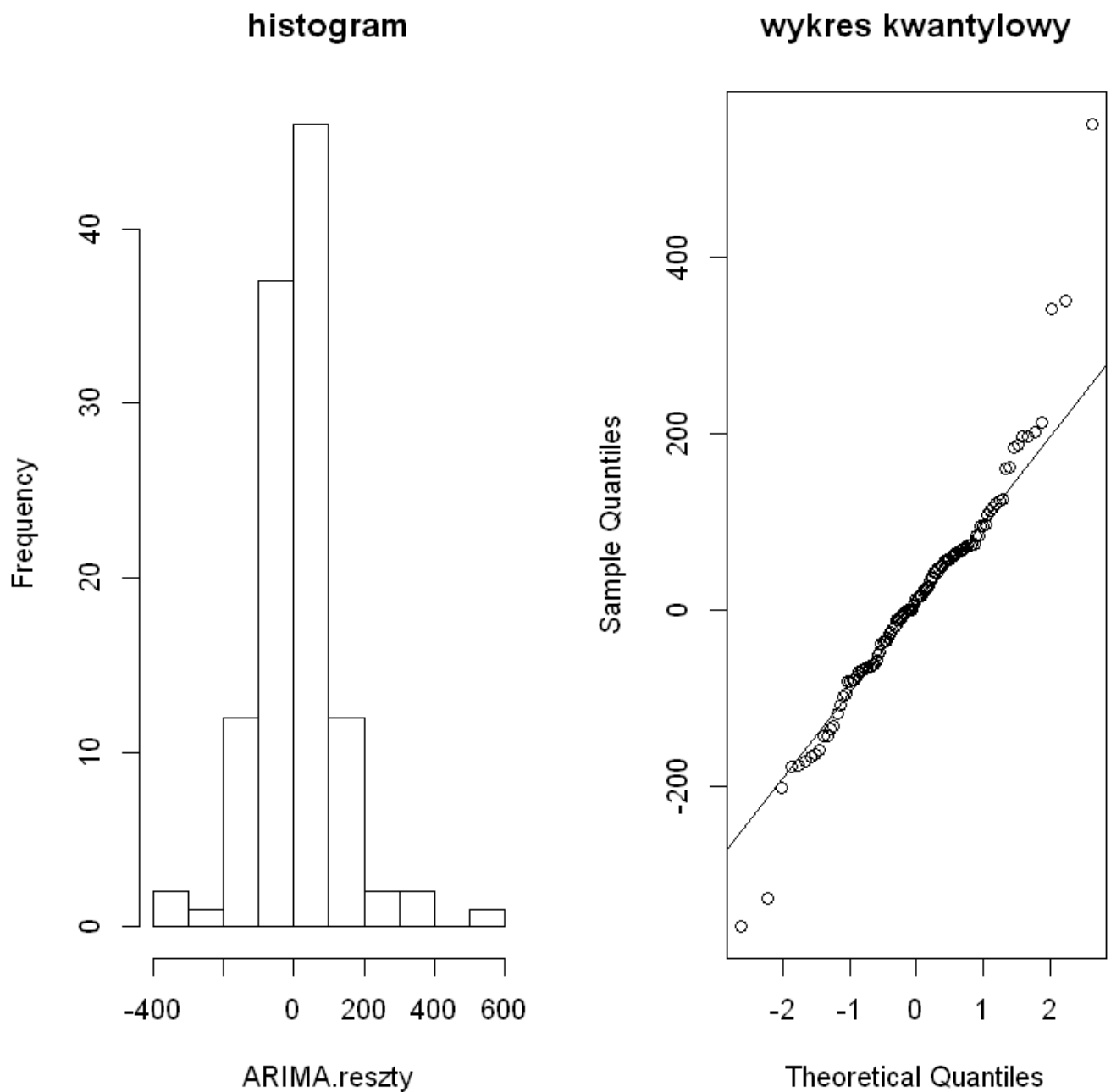
Nie mamy podstaw do odrzucenia hipotezy zerowej o losowości reszt.

W odróżnieniu od modelu autoregresyjnego tym razem test Ljunga-Boxa pozwala przyjąć hipotezę o losowości reszt (dla wszystkich rozważanych opóźnień). Zatem model  $ARIMA(0,1,0) \times (0,1,2)_4$  możemy uznać za lepiej dopasowany niż model  $AR(1)$ .

Na koniec sprawdzimy jeszcze, czy można przyjąć założenie o normalności rozkładu reszt.

W tym celu narysujmy histogram dla reszt z ostatniego modelu oraz wykres kwantylowy.

```
In [69]: par(mfrow=c(1,2))  
hist(ARIMA.reszty, main="histogram")  
qqnorm(ARIMA.reszty, main="wykres kwantylowy")  
qqline(ARIMA.reszty)
```



Histogram wartości resztowych wydaje się bardziej wyostrzony, niż należy; wykres kwantylowy również wykazuje pewne odstępstwa od rozkładu normalnego.

Wykonajmy jeszcze test Shapiro-Wilka na normalność wartości resztowych.

```
In [70]: shapiro.test(ARIMA.reszty)
```

Shapiro-Wilk normality test

```
data: ARIMA.reszty  
W = 0.94271, p-value = 9.365e-05
```

Test Shapiro-Wilka również wskazuje na odrzucenie hipotezy o normalności reszt (p-value jest mniejsze niż 0.05).

Normalność rozkładu reszt budzi więc wątpliwości.

## Prognozowanie

konstrukcja prognoz punktowych i przedziałów predykcyjnych, horyzont prognozy: 24 miesiecy dla danych miesiecznych, 8 kwartałów dla danych kwartalnych, 20 lat dla danych rocznych

W prognozach uzyskane wyniki to następujące elementy: prognozy punktowe, przedziały predykcyjne na poziomie ufności 0.80 oraz 0.95.

## Prognozowania za pomocą ruchomej średniej

```
In [71]: cafe.forecast.mean=meanf(cafe,h=8)
cafe.forecast.mean
```

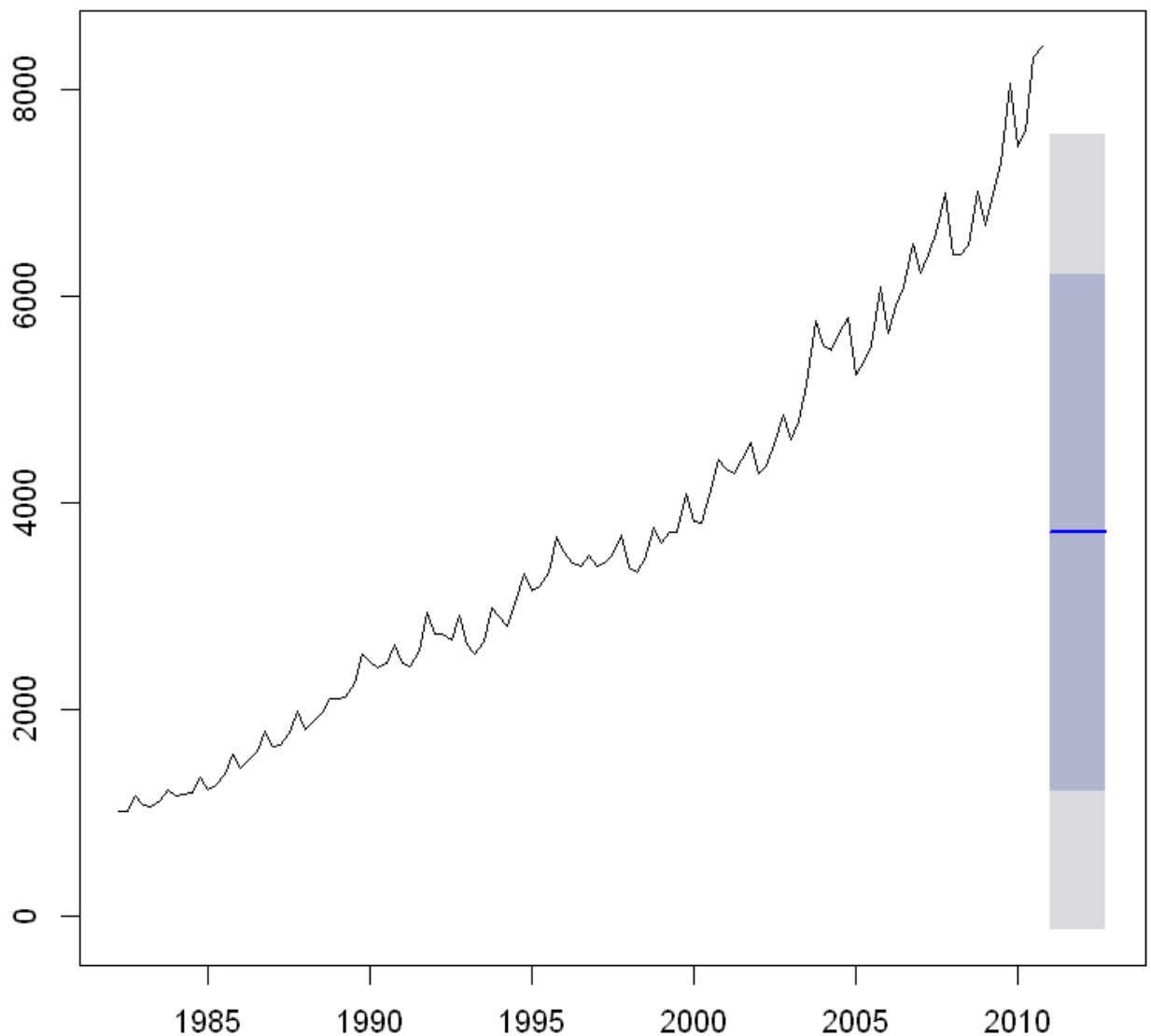
	Point	Forecast	Lo 80	Hi 80	Lo 95	Hi 95
2011 Q1		3715.793	1210.675	6220.911	-134.1177	7565.704
2011 Q2		3715.793	1210.675	6220.911	-134.1177	7565.704
2011 Q3		3715.793	1210.675	6220.911	-134.1177	7565.704
2011 Q4		3715.793	1210.675	6220.911	-134.1177	7565.704
2012 Q1		3715.793	1210.675	6220.911	-134.1177	7565.704
2012 Q2		3715.793	1210.675	6220.911	-134.1177	7565.704
2012 Q3		3715.793	1210.675	6220.911	-134.1177	7565.704
2012 Q4		3715.793	1210.675	6220.911	-134.1177	7565.704

Otrzymaliśmy prognozy dla 8 kwartałów.

Spójrzmy, jak sytuacja wygląda na wykresie.

```
In [72]: plot(cafe.forecast.mean,main="cafe: prognoza (średnia)")
```

### cafe: prognoza (średnia)



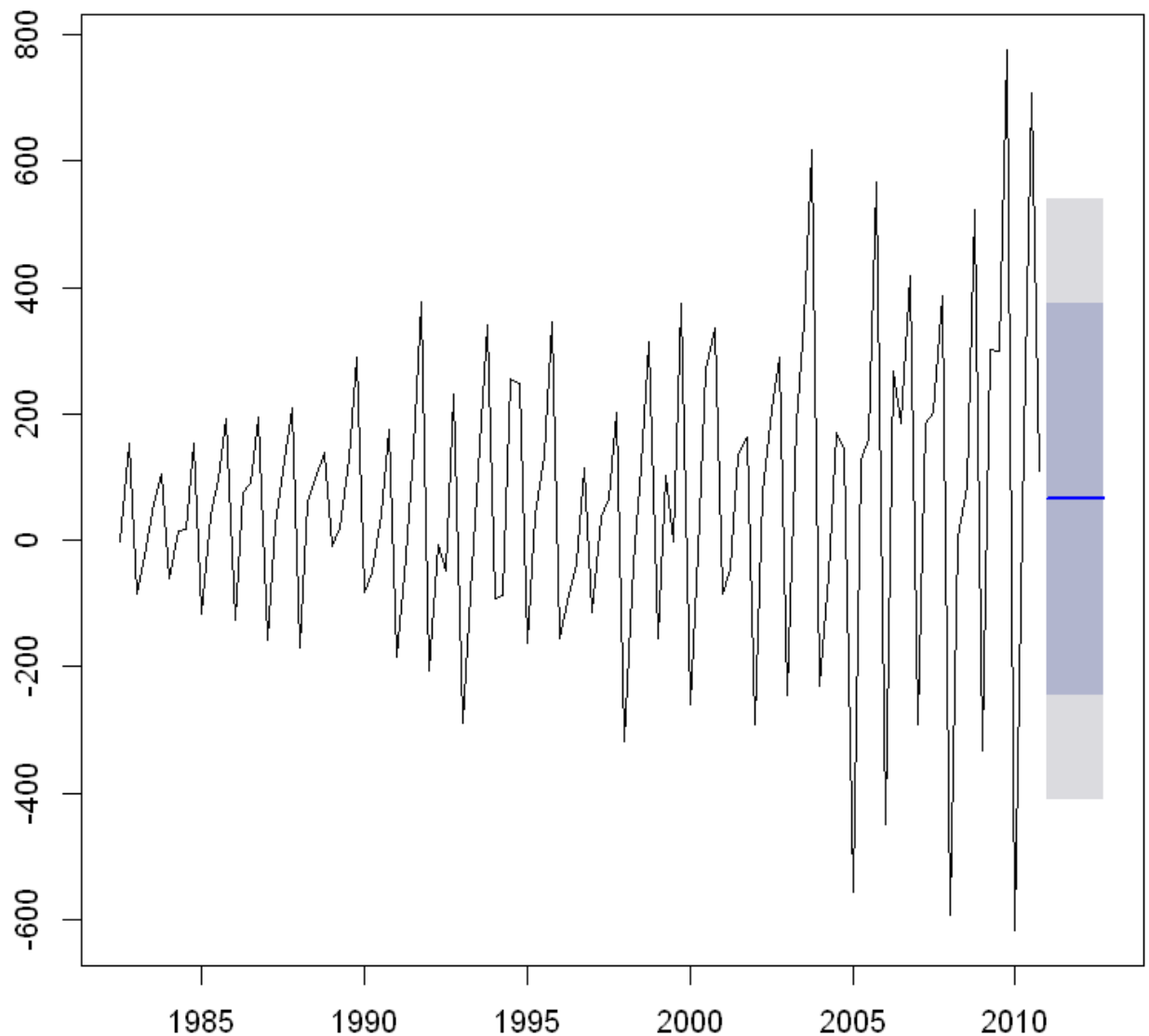
Jak widzimy, występujący w szeregu czasowym cafe trend spowodował, że prognozy oparte na średniej nie dały zadowalających rezultatów.

Dla porównania zastosujemy tę samą metodę konstrukcji prognoz, ale z usuniętym trendem.

Do wyeliminowania tych możemy wykorzystać operację różnicowania.

```
In [73]: cafe.diff.forecast.mean=meanf(diff(cafe),h=8)
         plot(cafe.diff.forecast.mean,main="cafe: prognoza (średnia) po zróżnicowaniu")
```

## cafe: prognoza (średnia) po zróżnicowaniu



Metoda prognozowania oparta na uśrednianiu wcześniejszych wartości radzi sobie dużo lepiej, choć trudno oczywiście uznać skonstruowane prognozy za satysfakcjonujące.

### Konstrukcji prognoz na podstawie metod naiwnych

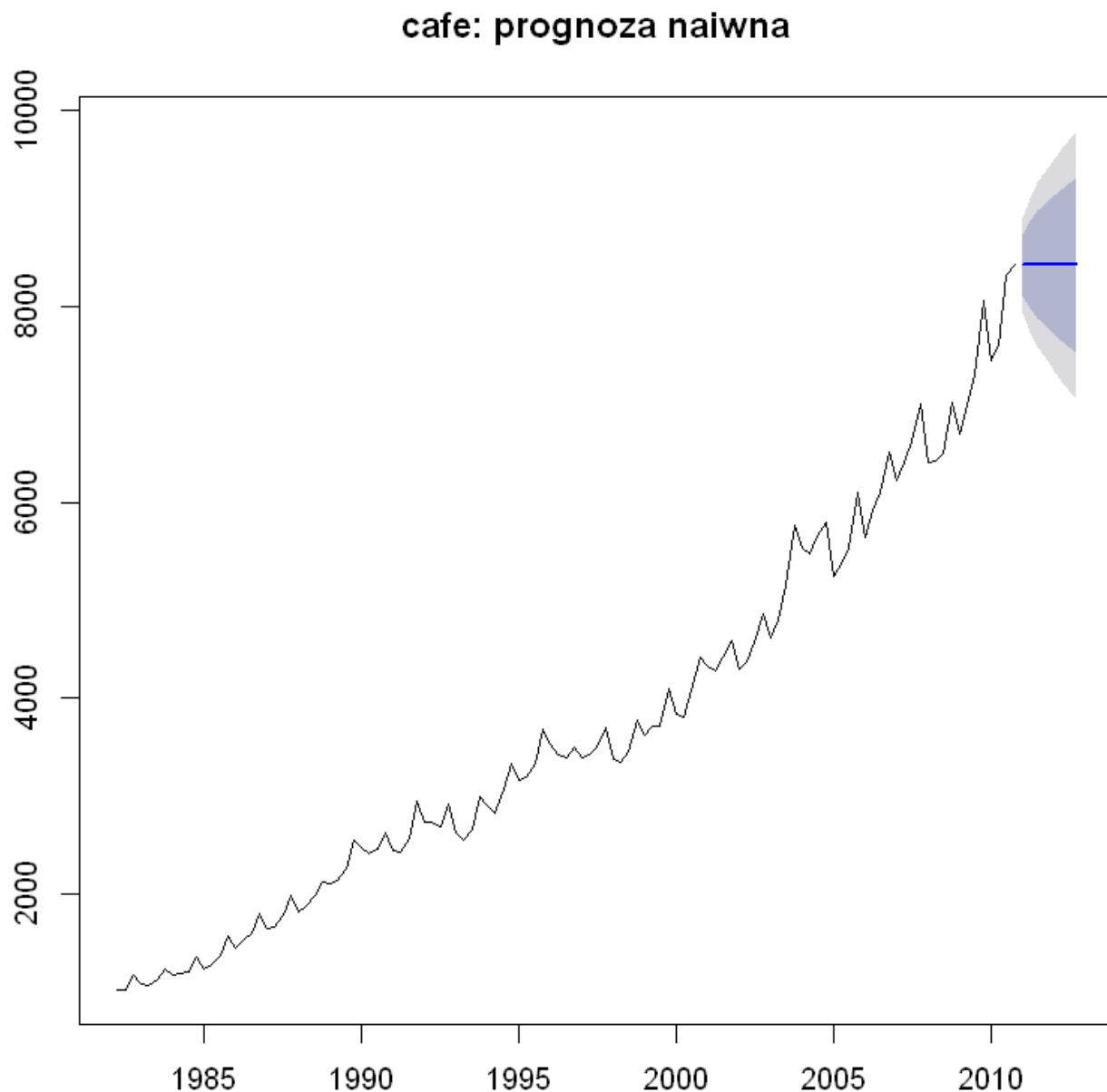
```
In [74]: cafe.forecast.naive=naive(cafe,h=8)
cafe.forecast.naive
```

	Point Forecast	Lo 80	Hi 80	Lo 95	Hi 95
2011 Q1	8426.5	8110.055	8742.945	7942.540	8910.460
2011 Q2	8426.5	7978.980	8874.020	7742.077	9110.923
2011 Q3	8426.5	7878.402	8974.598	7588.256	9264.744
2011 Q4	8426.5	7793.611	9059.389	7458.580	9394.420
2012 Q1	8426.5	7718.908	9134.092	7344.332	9508.668
2012 Q2	8426.5	7651.372	9201.628	7241.045	9611.955
2012 Q3	8426.5	7589.266	9263.734	7146.062	9706.938
2012 Q4	8426.5	7531.460	9321.540	7057.654	9795.346

Otrzymaliśmy prognozy dla 8 kwartałów.

Przyjrzyjmy się wykresowi.

```
In [75]: plot(cafe.forecast.naive,main="cafe: prognoza naiwna")
```



Widzimy, że prognoza prezentuje się znacznie lepiej, niż ta dla metody średniej.

Prognoza jest ustabilizowana. Przyszłe wartości się ustabilizowały. Nie widać już w niej trendu wzrostowego.

## Metoda uwzględniająca dryf

```
In [76]: cafe.forecast.rwf=rwf(cafe,drift=TRUE,h=8)
cafe.forecast.rwf
```

	Point	Forecast	Lo 80	Hi 80	Lo 95	Hi 95
2011 Q1		8491.529	8184.908	8798.150	8022.592	8960.466
2011 Q2		8556.558	8121.032	8992.084	7890.479	9222.637
2011 Q3		8621.587	8085.865	9157.309	7802.271	9440.903
2011 Q4		8686.616	8065.357	9307.875	7736.482	9636.750
2012 Q1		8751.645	8054.094	9449.196	7684.833	9818.457

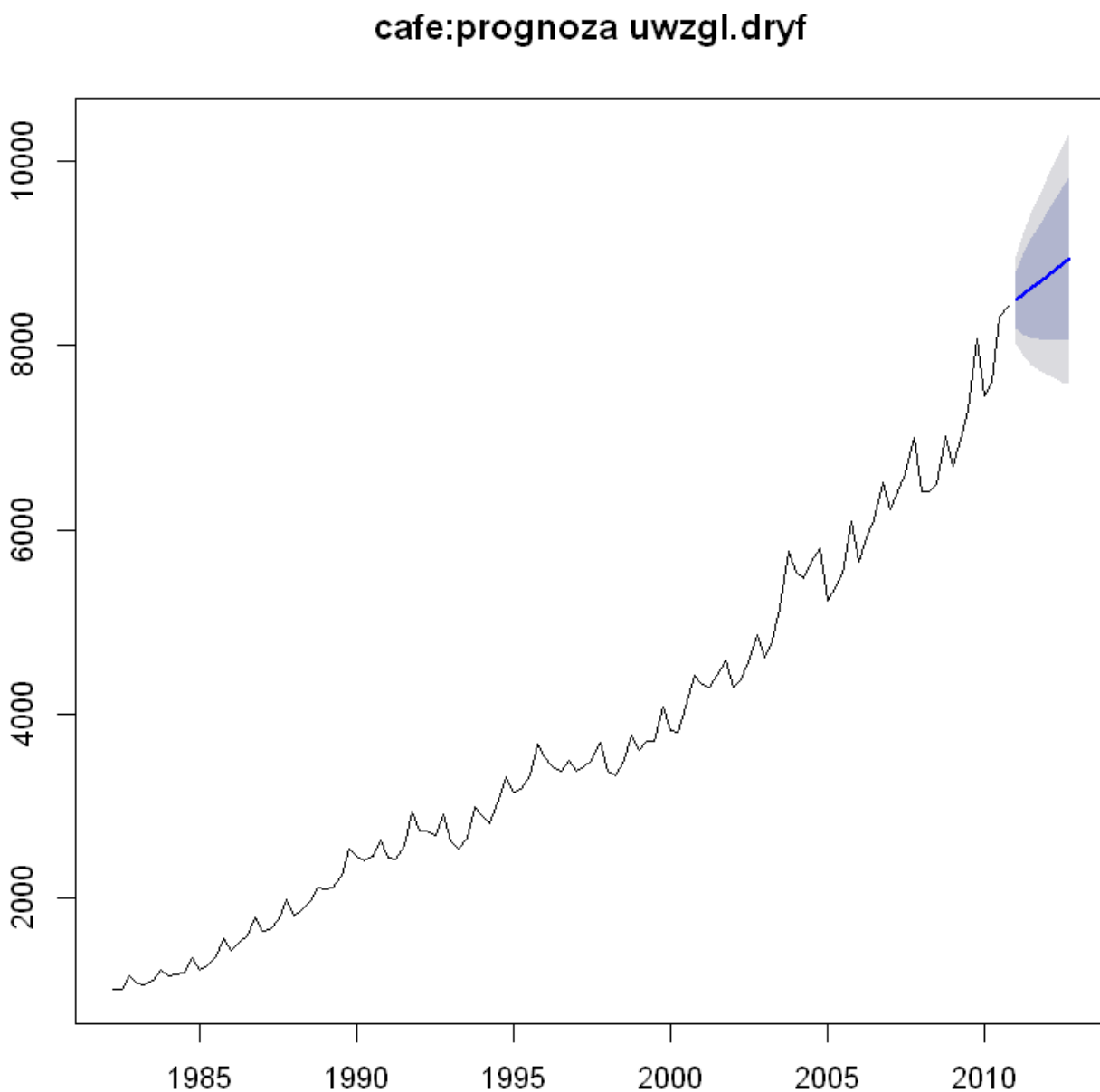


2012 Q2	8816.674	8049.314	9584.034	7643.098	9990.249
2012 Q3	8881.703	8049.384	9714.021	7608.781	10154.624
2012 Q4	8946.732	8053.246	9840.217	7580.263	10313.200

Otrzymaliśmy prognozę dla 8 kwartałów.

Spójrzmy na wykres.

```
In [77]: plot(cafe.forecast.rwf,main="cafe:prognoza uwzgl.dryf")
```



Jak widzimy z wykresów, prognoza w przypadku szeregu cafe uwzględnia trend i w odróżnieniu od metody naiwnej widoczny jest dalszy wzrost przyszłych wartości.

Metoda uwzględniająca dryf zakłada, że trend jest liniowy, co może nie dawać przyzwoitych prognoz w przypadku, gdy trend wygląda na wykładniczy.

Spróbujmy zatem uwzględnić specyficzny charakter trendu w szeregu cafe.

W tym celu prognozę wyznaczymy po zastosowaniu przekształcenia logarytmicznego Boxa-Coxa z parametrem  $\lambda = 0$ .

```
In [78]: log.cafe.forecast.rwf=rwf(BoxCox(caffe,lambda=0),drift=TRUE,h=8)
log.cafe.forecast.rwf
```

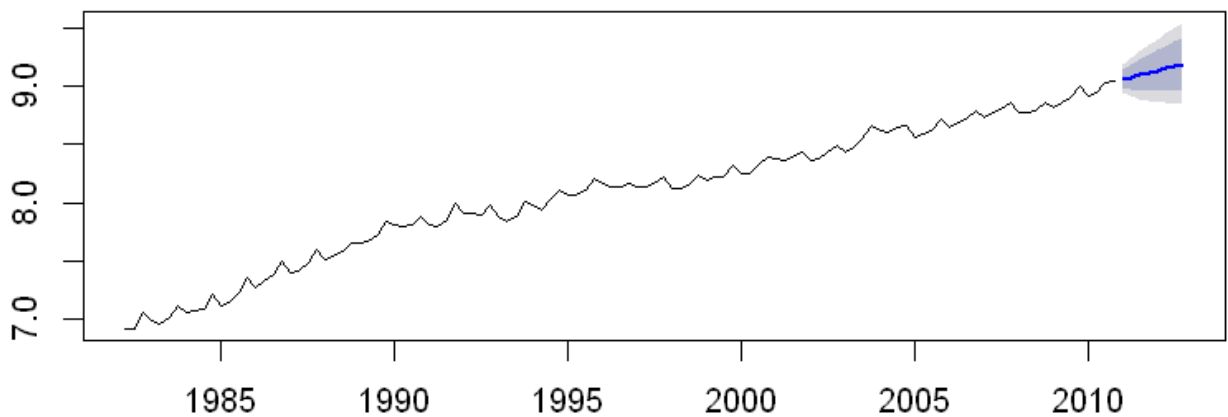
	Point	Forecast	Lo 80	Hi 80	Lo 95	Hi 95
2011	Q1	9.057718	8.980026	9.135410	8.938899	9.176537
2011	Q2	9.076299	8.965946	9.186653	8.907528	9.245071
2011	Q3	9.094881	8.959139	9.230622	8.887282	9.302479
2011	Q4	9.113462	8.956047	9.270877	8.872717	9.354207
2012	Q1	9.132043	8.955298	9.308789	8.861734	9.402352
2012	Q2	9.150625	8.956191	9.345058	8.853264	9.447985
2012	Q3	9.169206	8.958313	9.380099	8.846673	9.491739
2012	Q4	9.187787	8.961396	9.414179	8.841551	9.534023

Otrzymaliśmy prognozę dla 8 kwartałów.

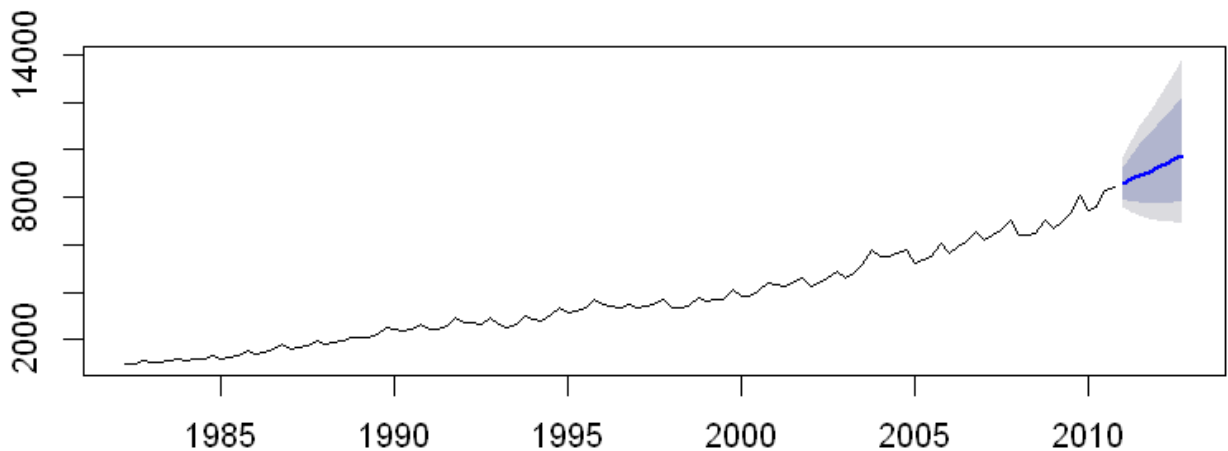
Narysujmy teraz wykresy i porównajmy je ze sobą.

```
In [79]: par(mfrow=c(2,1))
plot(log.cafe.forecast.rwf,main="log.cafe:prognoza uwzgl. dryf")
caffe.forecast.log.rwf=rwf(caffe,drift=TRUE,h=8,lambda=0)
plot(caffe.forecast.log.rwf,main="caffe: prognoza zlogarytmowana uwzgl. dryf")
```

### log.cafe:prognoza uwzgl. dryf



### cafe: prognoza zlogarytmowana uwzgl. dryf



Zastosowanie przekształcenia logarytmicznego dla szeregu cafe zmieniło charakter trendu z wykładniczego na liniowy, co pozytywnie odbiło się na prognozie. Uwzględnienie przekształcenia logarytmicznego poprawiło także dokładność prognozy.

## Ocena dokładności prognoz

Funkcja `accuracy()` z pakietu `forecast`

Metody opartej na średniej

```
In [80]: accuracy(cafe.forecast.mean)
```

	ME	RMSE	MAE	MPE	MAPE	MASE	ACF1
Training set	-2.246705e-13	1926.599	1590.127	-37.04065	62.31865	5.785939	0.9573093

```
In [81]: accuracy(cafe.diff.forecast.mean)
```

	ME	RMSE	MAE	MPE	MAPE	MASE	ACF1
<b>Training set</b>	-1.194874e-14	238.2062	178.9239	179.6932	222.1102	1.468559	-0.2360275

## Metoda naiwna

```
In [82]: accuracy(cafe.forecast.naive)
```

	ME	RMSE	MAE	MPE	MAPE	MASE	ACF1
<b>Training set</b>	65.02895	246.923	188.7009	1.661601	5.202148	0.6866191	-0.2360275

## Metody uwzględniająca dryf

```
In [83]: accuracy(cafe.forecast.rwf)
```

	ME	RMSE	MAE	MPE	MAPE	MASE	ACF1
<b>Training set</b>	1.346154e-13	238.2062	178.9239	-0.7014427	5.049823	0.6510441	-0.2360275

```
In [84]: accuracy(log.cafe.forecast.rwf)
```

	ME	RMSE	MAE	MPE	MAPE	MASE	ACF1
<b>Training set</b>	3.505946e-16	0.06035675	0.04941041	-1.555788e-05	0.6194945	0.6229117	-0.2425265

```
In [85]: accuracy(cafe.forecast.log.rwf)
```

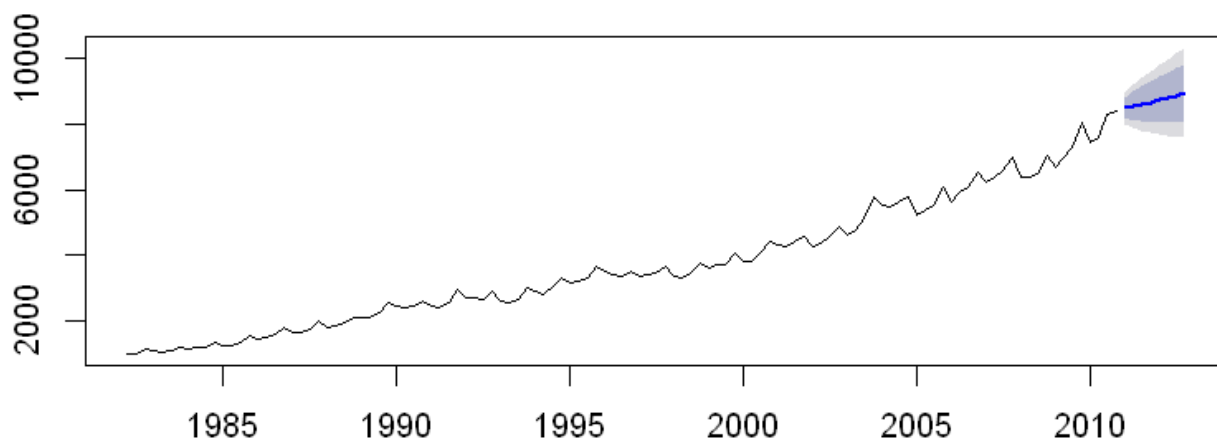
	ME	RMSE	MAE	MPE	MAPE	MASE	ACF1
<b>Training set</b>	-3.88577	237.9052	175.1736	-0.1827355	4.956041	0.6373981	-0.2625614

Widzimy, że kryteria RMSE, MAE, MAPE, MASE wskazują na metodę uwzględniającą dryf (w tym metodę poszerzoną o przekształcenie logarytmiczne Boxa-Coxa z parametrem  $\lambda = 0$ ) jako najlepszą spośród trzech metod.

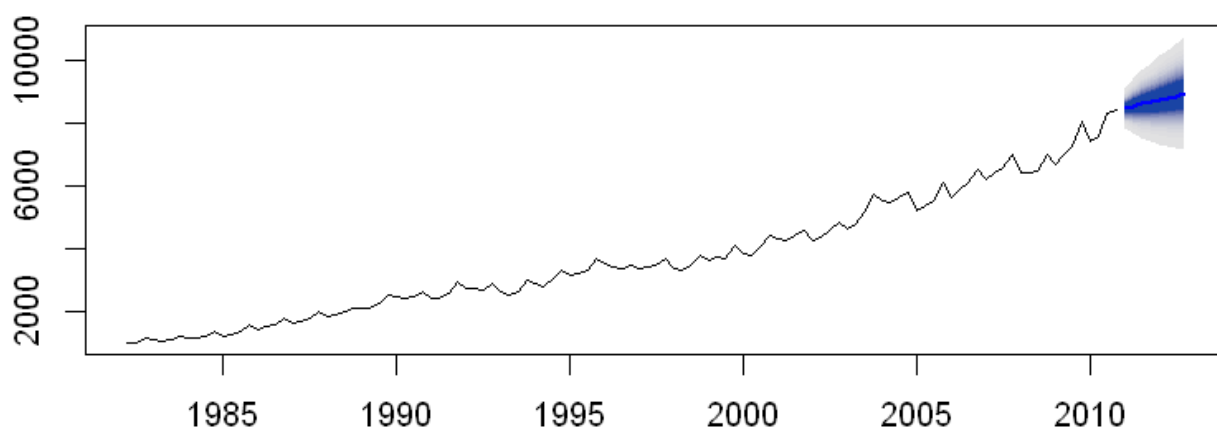
## Przedziały predykcyjne dla różnych poziomów ufności

```
In [86]: par(mfrow=c(2,1))
cafe.forecast.rwf.1=rwf(cafe,drift=TRUE,level=c(0.8,0.95),h=8)
plot(cafe.forecast.rwf.1,main="Przedziały predykcyjne, 0.80,0.95")
cafe.forecast.rwf.2=rwf(cafe,drift=TRUE,fan=TRUE,h=8)
plot(cafe.forecast.rwf.2,main="Wykres wachlarzowy")
```

## Przedziały predykcyjne, 0.80,0.95



## Wykres wachlarzowy



Na rysunkach po kolei zostały przedstawione prognozy z dwoma przedziałami predykcyjnymi na poziomach ufności 0.80, 0.95 oraz tzw. wykres wachlarzowy, na którym przedstawiono zostało kilka przedziałów predykcyjnych.

Co prawda, wykresy nie są zbyt czytelne i ciężko jest zauważyć różnicę pomiędzy nimi.

Ocena dokładności prognoz na podstawie tych samych danych, które były wykorzystane do konstrukcji prognoz, nie pozwala na w pełni wiarygodną ocenę skuteczności prognoz i może prowadzić do błędnych wniosków.

## Podział danych na zbiór uczący i testowy w celu zwiększenia wiarygodności

Zbiór uczący wygląda następująco:

```
In [87]: cafe.train=window(cafe,end=c(2004,4))
print(cafe.train)
```

	Qtr1	Qtr2	Qtr3	Qtr4
1982		1013.2	1011.9	1166.2
1983	1082.5	1058.7	1118.1	1223.7
1984	1163.7	1178.8	1196.7	1349.1
1985	1233.5	1272.8	1369.7	1563.1
1986	1437.5	1512.8	1602.1	1797.4
1987	1640.3	1665.5	1775.0	1985.0
1988	1816.4	1877.9	1975.1	2114.9
1989	2106.7	2125.6	2253.7	2543.9
1990	2462.2	2412.5	2455.4	2630.2
1991	2446.1	2419.3	2564.9	2941.0
1992	2735.9	2729.9	2680.9	2913.3
1993	2625.7	2541.8	2654.1	2993.7
1994	2901.3	2815.3	3071.5	3320.3
1995	3156.8	3196.1	3330.2	3675.5
1996	3521.1	3424.0	3388.7	3502.4
1997	3387.6	3425.1	3492.0	3695.2
1998	3377.0	3339.1	3456.5	3769.6
1999	3613.8	3715.4	3714.1	4088.0
2000	3828.7	3809.3	4079.1	4415.7
2001	4330.0	4285.0	4419.2	4582.8
2002	4290.8	4367.2	4574.0	4862.5
2003	4616.4	4800.7	5146.6	5765.1
2004	5533.8	5478.4	5649.8	5796.3

Natomiast zbiór testowy, wygląda tak:

```
In [88]: cafe.test=window(cafe,start=c(2005,1))
print(cafe.test)
```

	Qtr1	Qtr2	Qtr3	Qtr4
2005	5240.2	5366.8	5528.2	6095.9
2006	5647.7	5915.2	6101.1	6520.0
2007	6228.0	6413.3	6615.8	7003.0
2008	6409.6	6414.8	6500.8	7024.6
2009	6691.0	6991.6	7291.9	8068.0
2010	7450.7	7608.3	8316.8	8426.5

Wyznaczamy prognozy na podstawie zbioru uczącego, wykorzystując cztery stosowane poprzednio proste metody prognozowania.

Będziemy widzieć tu po kolei: prognozy punktowe, przedziały predykcyjne na poziomie ufności 0.80 oraz 0.95.

## Prognoza oparta na ruchomej średniej

```
In [89]: f1_1=meanf(cafe.train,h=8)
f1_1
```

	Point	Forecast	Lo 80	Hi 80	Lo 95	Hi 95
2005 Q1		2938.971	1285.65	4592.293	394.7898	5483.153
2005 Q2		2938.971	1285.65	4592.293	394.7898	5483.153
2005 Q3		2938.971	1285.65	4592.293	394.7898	5483.153
2005 Q4		2938.971	1285.65	4592.293	394.7898	5483.153
2006 Q1		2938.971	1285.65	4592.293	394.7898	5483.153
2006 Q2		2938.971	1285.65	4592.293	394.7898	5483.153
2006 Q3		2938.971	1285.65	4592.293	394.7898	5483.153
2006 Q4		2938.971	1285.65	4592.293	394.7898	5483.153

## Prognoza oparta o metody naiwne

```
In [90]: f2_1=naive(cafe.train,h=8)
f2_1
```

	Point	Forecast	Lo 80	Hi 80	Lo 95	Hi 95
2005	Q1	5796.3	5560.918	6031.682	5436.315	6156.285
2005	Q2	5796.3	5463.420	6129.180	5287.204	6305.396
2005	Q3	5796.3	5388.607	6203.993	5172.787	6419.813
2005	Q4	5796.3	5325.536	6267.064	5076.329	6516.271
2006	Q1	5796.3	5269.970	6322.630	4991.348	6601.252
2006	Q2	5796.3	5219.735	6372.865	4914.520	6678.080
2006	Q3	5796.3	5173.538	6419.062	4843.868	6748.732
2006	Q4	5796.3	5130.540	6462.060	4778.108	6814.492

## Prognoza oparta o dryft

```
In [91]: f3_1=rwf(caffe.train,drift=TRUE,h=8)
f3_1
```

	Point	Forecast	Lo 80	Hi 80	Lo 95	Hi 95
2005	Q1	5849.446	5622.871	6076.020	5502.929	6195.962
2005	Q2	5902.591	5580.391	6224.792	5409.828	6395.354
2005	Q3	5955.737	5558.961	6352.512	5348.921	6562.553
2005	Q4	6008.882	5548.242	6469.523	5304.394	6713.371
2006	Q1	6062.028	5544.255	6579.801	5270.162	6853.893
2006	Q2	6115.173	5544.972	6685.374	5243.126	6987.220
2006	Q3	6168.319	5549.198	6787.439	5221.456	7115.182
2006	Q4	6221.464	5556.159	6886.770	5203.967	7238.962

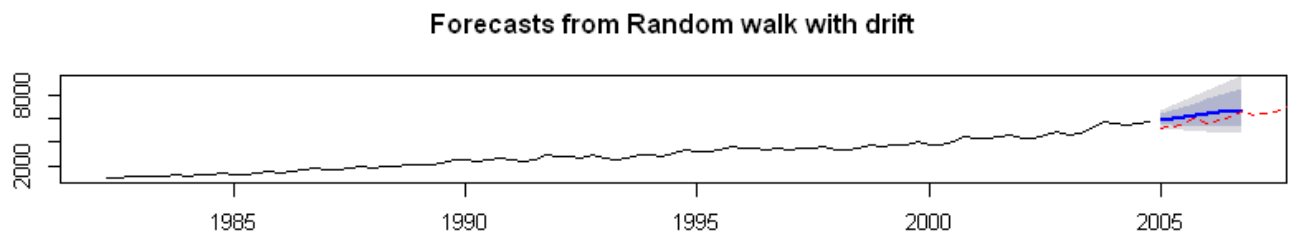
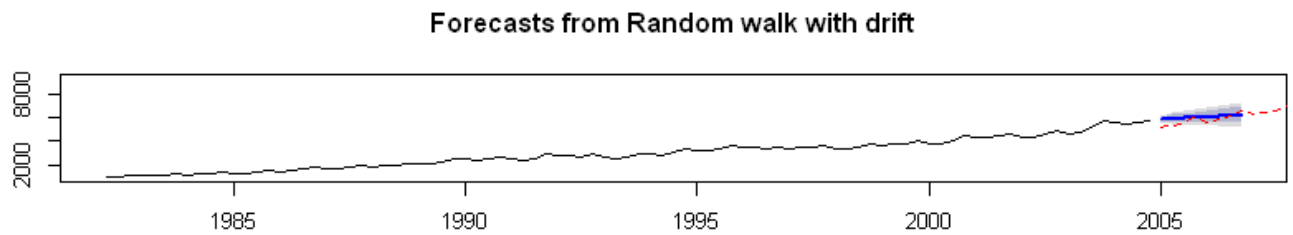
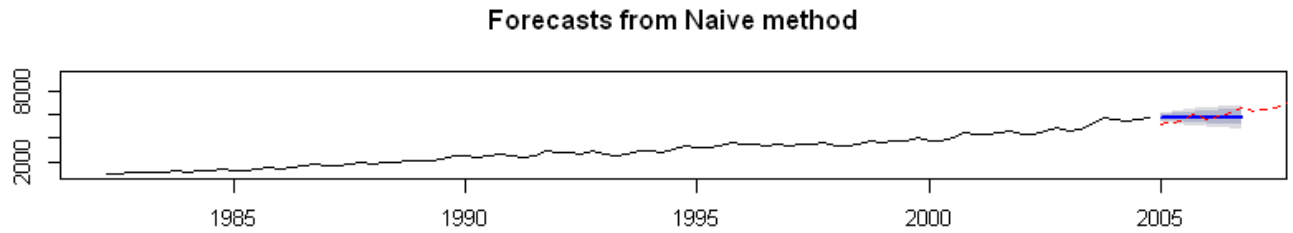
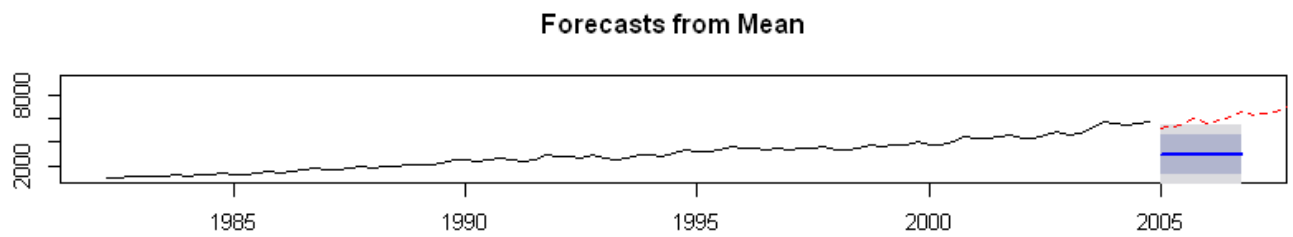
## Prognoza oparta o dryft z przekształceniem Boxa-Coxa

```
In [92]: f4_1=rwf(caffe.train,drift=TRUE,lambda=0,h=8)
f4_1
```

	Point	Forecast	Lo 80	Hi 80	Lo 95	Hi 95
2005	Q1	5909.722	5463.515	6392.370	5241.112	6663.626
2005	Q2	6025.363	5388.882	6737.019	5079.634	7147.167
2005	Q3	6143.267	5354.178	7048.651	4978.357	7580.760
2005	Q4	6263.478	5339.476	7347.380	4906.869	7995.151
2006	Q1	6386.041	5337.249	7640.925	4853.692	8402.166
2006	Q2	6511.003	5343.728	7933.256	4813.076	8807.915
2006	Q3	6638.410	5356.722	8226.763	4781.681	9216.108
2006	Q4	6768.310	5374.838	8523.052	4757.379	9629.257

## Ocena jakości po podziale na zbiór uczący i testowy

```
In [93]: y.zakres=c(0.9,1.1)*range(caffe,caffe.test)
par(mfrow=c(4,1))
plot(f1_1,ylim=y.zakres)
lines(caffe.test,col="red",lty=2)
plot(f2_1,ylim=y.zakres)
lines(caffe.test,col="red",lty=2)
plot(f3_1,ylim=y.zakres)
lines(caffe.test,col="red",lty=2)
plot(f4_1,ylim=y.zakres)
lines(caffe.test,col="red",lty=2)
```



Wykresy prognoz potwierdzają poprzednie spostrzeżenia dotyczące przewagi metody z funkcją `rwf()` w stosunku do pozostałych metod.

## Accuracy dla podziału danych na zbiór uczący i testowy

```
In [94]: kryteria=c("MAE", "RMSE", "MAPE", "MASE")
```

```
In [95]: accuracy(f1_1,cafe.test)[,kryteria]
```

	MAE	RMSE	MAPE	MASE
<b>Training set</b>	1052.997	1266.627	48.80257	4.608626
<b>Test set</b>	2862.916	2891.329	49.10080	12.530056

```
In [96]: accuracy(f2_1,cafe.test)[,kryteria]
```

	MAE	RMSE	MAPE	MASE
--	-----	------	------	------



<b>Training set</b>	146.6722	183.6694	5.204718	0.6419368
<b>Test set</b>	356.1625	404.3852	6.139538	1.5588078

```
In [97]: accuracy(f3_1,cafe.test)[,kryteria]
```

	<b>MAE</b>	<b>RMSE</b>	<b>MAPE</b>	<b>MASE</b>
<b>Training set</b>	141.4256	175.8124	5.069347	0.6189738
<b>Test set</b>	329.9558	379.7879	5.896056	1.4441097

```
In [98]: accuracy(f4_1,cafe.test)[,kryteria]
```

	<b>MAE</b>	<b>RMSE</b>	<b>MAPE</b>	<b>MASE</b>
<b>Training set</b>	141.0985	176.452	5.057414	0.6175423
<b>Test set</b>	528.8117	563.343	9.335455	2.3144375

Widzimy, że błędy na zbiorze testowym są wyraźnie większe niż błędy na zbiorze uczącym.

Potwierdza to wcześniejsze uwagi tego, że ocena dokładności prognoz wyłącznie na podstawie danych uczących może prowadzić do zbyt optymistycznych wniosków.

W szczególności, błędy wyznaczone na zbiorze testowym (w przeciwieństwie do błędów prognoz na zbiorze uczącym) wskazują jako dokładniejszą metodę uwzględniającą dryf (funkcja `rwf()`) bez zastosowania przekształcenia logarytmicznego.

## Analiza własności reszt

Policzmy je dla trzech prognoz szeregu czasowego `cafe`

## Reszty dla prognozy metodą ruchomej średniej

```
In [99]: reszty.1=residuals(f1_1)
print(reszty.1)
```

	<b>Qtr1</b>	<b>Qtr2</b>	<b>Qtr3</b>	<b>Qtr4</b>
1982	-1925.771429	-1927.071429	-1772.771429	
1983	-1856.471429	-1880.271429	-1820.871429	-1715.271429
1984	-1775.271429	-1760.171429	-1742.271429	-1589.871429
1985	-1705.471429	-1666.171429	-1569.271429	-1375.871429
1986	-1501.471429	-1426.171429	-1336.871429	-1141.571429
1987	-1298.671429	-1273.471429	-1163.971429	-953.971429
1988	-1122.571429	-1061.071429	-963.871429	-824.071429
1989	-832.271429	-813.371429	-685.271429	-395.071429
1990	-476.771429	-526.471429	-483.571429	-308.771429
1991	-492.871429	-519.671429	-374.071429	2.028571
1992	-203.071429	-209.071429	-258.071429	-25.671429
1993	-313.271429	-397.171429	-284.871429	54.728571
1994	-37.671429	-123.671429	132.528571	381.328571
1995	217.828571	257.128571	391.228571	736.528571
1996	582.128571	485.028571	449.728571	563.428571
1997	448.628571	486.128571	553.028571	756.228571
1998	438.028571	400.128571	517.528571	830.628571
1999	674.828571	776.428571	775.128571	1149.028571
2000	889.728571	870.328571	1140.128571	1476.728571
2001	1391.028571	1346.028571	1480.228571	1643.828571
2002	1351.828571	1428.228571	1635.028571	1923.528571

2003	1677.428571	1867.728571	2207.628571	2826.128571
2004	2594.828571	2539.428571	2710.828571	2857.328571

## Reszty dla prognozy metodą naiwną

```
In [100... reszty.2=residuals(f2_1)
print(reszty.2)
```

	Qtr1	Qtr2	Qtr3	Qtr4
1982		NA	-1.3	154.3
1983	-83.7	-23.8	59.4	105.6
1984	-60.0	15.1	17.9	152.4
1985	-115.6	39.3	96.9	193.4
1986	-125.6	75.3	89.3	195.3
1987	-157.1	25.2	109.5	210.0
1988	-168.6	61.5	97.2	139.8
1989	-8.2	18.9	128.1	290.2
1990	-81.7	-49.7	42.9	174.8
1991	-184.1	-26.8	145.6	376.1
1992	-205.1	-6.0	-49.0	232.4
1993	-287.6	-83.9	112.3	339.6
1994	-92.4	-86.0	256.2	248.8
1995	-163.5	39.3	134.1	345.3
1996	-154.4	-97.1	-35.3	113.7
1997	-114.8	37.5	66.9	203.2
1998	-318.2	-37.9	117.4	313.1
1999	-155.8	101.6	-1.3	373.9
2000	-259.3	-19.4	269.8	336.6
2001	-85.7	-45.0	134.2	163.6
2002	-292.0	76.4	206.8	288.5
2003	-246.1	184.3	345.9	618.5
2004	-231.3	-55.4	171.4	146.5

## Reszty dla prognozy uwzględniającej dryft

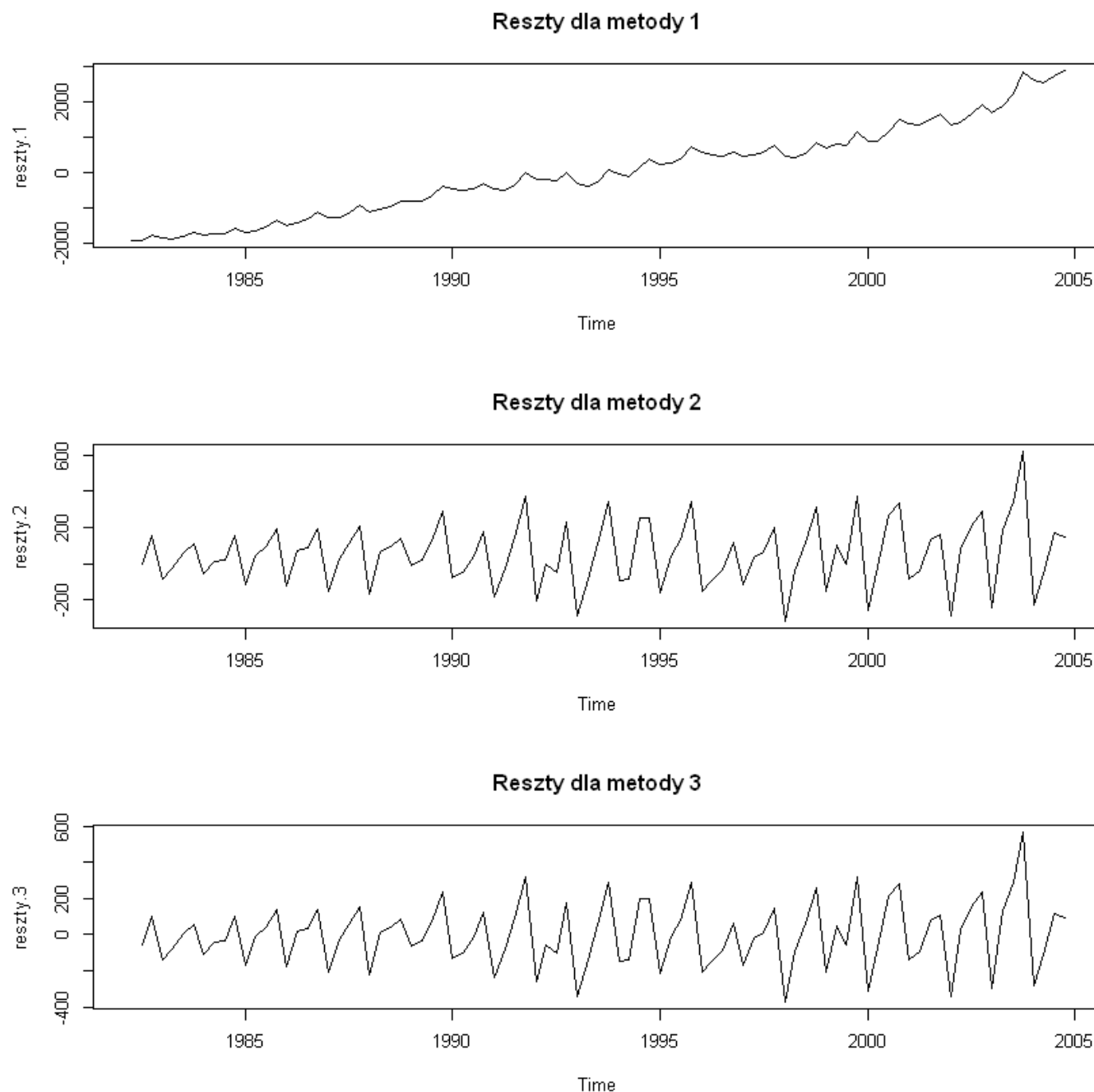
```
In [101... reszty.3=residuals(f3_1)
print(reszty.3)
```

	Qtr1	Qtr2	Qtr3	Qtr4
1982		NA	-54.445556	101.154444
1983	-136.845556	-76.945556	6.254444	52.454444
1984	-113.145556	-38.045556	-35.245556	99.254444
1985	-168.745556	-13.845556	43.754444	140.254444
1986	-178.745556	22.154444	36.154444	142.154444
1987	-210.245556	-27.945556	56.354444	156.854444
1988	-221.745556	8.354444	44.054444	86.654444
1989	-61.345556	-34.245556	74.954444	237.054444
1990	-134.845556	-102.845556	-10.245556	121.654444
1991	-237.245556	-79.945556	92.454444	322.954444
1992	-258.245556	-59.145556	-102.145556	179.254444
1993	-340.745556	-137.045556	59.154444	286.454444
1994	-145.545556	-139.145556	203.054444	195.654444
1995	-216.645556	-13.845556	80.954444	292.154444
1996	-207.545556	-150.245556	-88.445556	60.554444
1997	-167.945556	-15.645556	13.754444	150.054444
1998	-371.345556	-91.045556	64.254444	259.954444
1999	-208.945556	48.454444	-54.445556	320.754444
2000	-312.445556	-72.545556	216.654444	283.454444
2001	-138.845556	-98.145556	81.054444	110.454444
2002	-345.145556	23.254444	153.654444	235.354444
2003	-299.245556	131.154444	292.754444	565.354444
2004	-284.445556	-108.545556	118.254444	93.354444

Narysujmy je na wykresach

In [102...

```
par(mfrow=c(3,1))
plot(reszty.1,main="Reszty dla metody 1")
plot(reszty.2,main="Reszty dla metody 2")
plot(reszty.3,main="Reszty dla metody 3")
```



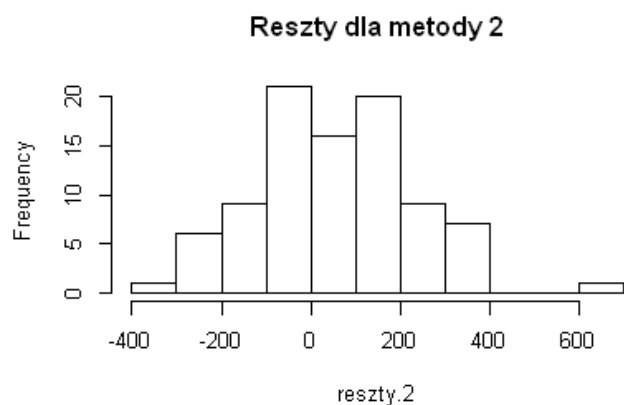
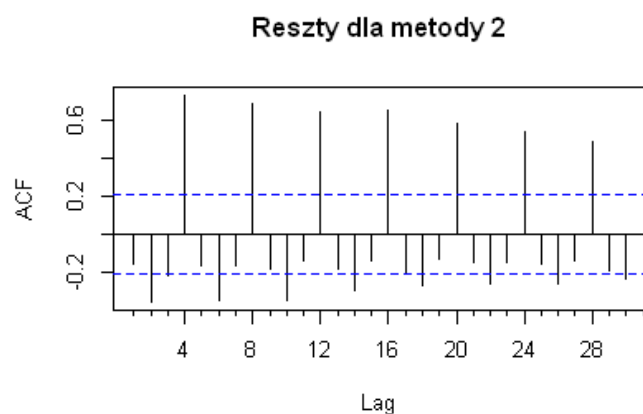
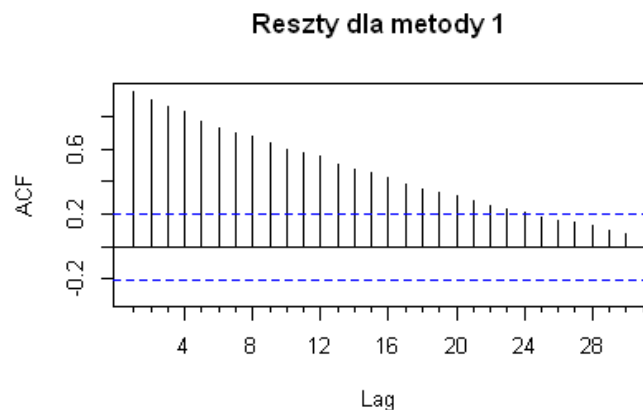
Porównując wykresy reszt widzimy wyraźnie pozostałość trendu w przypadku pierwszej metody (funkcja `meanf()`).

Reszty dla dwóch pozostałych metod wyglądają podobnie.

Narysujmy wykresy ACF i histogramy również dla tych trzech metod

In [103...

```
par(mfrow=c(3,2))
Acf(reszty.1,lag.max=30,main="Reszty dla metody 1")
hist(reszty.1,main="Reszty dla metody 1")
Acf(reszty.2,lag.max=30,main="Reszty dla metody 2")
hist(reszty.2,main="Reszty dla metody 2")
Acf(reszty.3,lag.max=30,main="Reszty dla metody 3")
hist(reszty.3,main="Reszty dla metody 3")
```



Analiza wykresów ACF oraz histogramów potwierdza wcześniejsze wnioski o nieadekwatności metody pierwszej.

Na wykresie histogramu dla metody drugiej widać wyraźne przesunięcie rozkładu reszt w kierunku wartości dodatnich.

Porównując ACF reszt dla metod drugiej i trzeciej, nie widzimy istotnych różnic w strukturze zależności.

Dla żadnej z metod nie możemy jednak uznać szeregu reszt za biały szum.

## Badanie losowości reszt testem Ljung-Boxa

```
In [104]: Box.test(reszty.1, lag=10, type="Ljung-Box")
```

Box-Ljung test

```
data: reszty.1
X-squared = 588.2, df = 10, p-value < 2.2e-16
```

```
In [105... Box.test(reszty.2, lag=10, type="Ljung-Box")
```

Box-Ljung test

```
data: reszty.2
X-squared = 149.18, df = 10, p-value < 2.2e-16
```

```
In [106... Box.test(reszty.3, lag=10, type="Ljung-Box")
```

Box-Ljung test

```
data: reszty.3
X-squared = 149.18, df = 10, p-value < 2.2e-16
```

We wszystkich trzech przypadkach test odrzucił hipotezę o losowości reszt ( $p\text{-value} < 0.05$ ).

Uzyskane wyniki wykazują więc na pozostałości korelacji czasowej w błędach prognozy.

Musimy zastosować bardziej zaawansowane metody prognozowania.

Skonstruujmy jeszcze raz model ARIMA, który otrzymaliśmy przy pomocy funkcji `auto.arima()`

```
In [107... ARIMA.model=Arima(cafe, order=c(0,1,0), seasonal=list(order=c(0,1,2), period=4))
```

Sprognozujmy 8 kwartałów

```
In [108... ARIMA.model.prog=forecast(ARIMA.model, h=8)
ARIMA.model.prog
```

	Point Forecast	Lo 80	Hi 80	Lo 95	Hi 95
2011 Q1	7987.100	7826.295	8147.905	7741.170	8233.030
2011 Q2	8162.595	7935.183	8390.008	7814.798	8510.393
2011 Q3	8375.471	8096.949	8653.993	7949.508	8801.434
2011 Q4	8939.005	8617.395	9260.614	8447.145	9430.864
2012 Q1	8449.318	8087.139	8811.497	7895.413	9003.223
2012 Q2	8631.495	8232.855	9030.136	8021.827	9241.163
2012 Q3	9014.738	8582.702	9446.774	8353.996	9675.480
2012 Q4	9467.361	9004.332	9930.390	8759.219	10175.503

Widzimy tu po kolei: prognozy punktowe, przedziały predykcyjne na poziomie ufności 0.80 oraz 0.95.

Możemy także osobno wyświetlić:

Prognozy punktowe

```
In [109... print(ARIMA.model.prog$mean)
```

	Qtr1	Qtr2	Qtr3	Qtr4
2011	7987.100	8162.595	8375.471	8939.005
2012	8449.318	8631.495	9014.738	9467.361

Dolne i górne końce przedziałów predykcyjnych

```
In [110... print(ARIMA.model.prog$lower)
```

	80%	95%
2011 Q1	7826.295	7741.170
2011 Q2	7935.183	7814.798
2011 Q3	8096.949	7949.508
2011 Q4	8617.395	8447.145
2012 Q1	8087.139	7895.413
2012 Q2	8232.855	8021.827

```
2012 Q3 8582.702 8353.996
2012 Q4 9004.332 8759.219
```

```
In [111... print (ARIMA.model.prog$upper)
```

```

           80%      95%
2011 Q1 8147.905 8233.030
2011 Q2 8390.008 8510.393
2011 Q3 8653.993 8801.434
2011 Q4 9260.614 9430.864
2012 Q1 8811.497 9003.223
2012 Q2 9030.136 9241.163
2012 Q3 9446.774 9675.480
2012 Q4 9930.390 10175.503
```

### Dopasowany model

```
In [112... print (ARIMA.model.prog$model)
```

```
Series: cafe
ARIMA(0,1,0) (0,1,2) [4]
```

Coefficients:

```

      sma1      sma2
      -0.9642  0.3096
s.e.    0.1139  0.1052
```

```
sigma^2 estimated as 15744:  log likelihood=-688.57
AIC=1383.14  AICc=1383.37  BIC=1391.25
```

### Wartości dopasowane

```
In [113... print (ARIMA.model.prog$fitted)
```

```

      Qtr1      Qtr2      Qtr3      Qtr4
1982      1012.615 1011.639 1165.899
1983 1082.767 1060.848 1075.453 1257.920
1984 1147.052 1151.473 1199.989 1334.328
1985 1270.188 1229.264 1304.873 1502.086
1986 1485.117 1442.766 1546.177 1740.702
1987 1707.469 1659.846 1720.330 1933.930
1988 1878.425 1857.265 1951.922 2153.320
1989 1985.433 2150.038 2217.382 2446.365
1990 2399.600 2511.030 2512.754 2639.664
1991 2525.678 2483.830 2528.747 2779.025
1992 2853.009 2740.817 2822.881 2897.887
1993 2796.482 2610.247 2640.898 2921.791
1994 2834.514 2880.019 2870.907 3346.536
1995 3110.621 3112.010 3262.969 3626.563
1996 3488.152 3459.278 3555.385 3678.690
1997 3330.530 3350.554 3571.342 3790.838
1998 3535.573 3331.696 3430.891 3697.331
1999 3621.973 3591.844 3783.540 3927.902
2000 3890.980 3813.455 3882.886 4321.005
2001 4213.922 4352.865 4344.102 4714.065
2002 4365.889 4309.951 4489.744 4893.492
2003 4678.846 4616.585 4949.511 5424.338
2004 5555.962 5558.296 5660.348 5930.129
2005 5567.034 5318.848 5609.398 5909.257
2006 5848.083 5703.324 6151.628 6447.393
2007 6163.815 6306.049 6622.779 7022.482
2008 6587.063 6557.091 6608.383 6929.268
2009 6622.191 6866.611 7179.175 7717.745
2010 7613.102 7586.722 7766.594 8784.690
```

## Wartości resztowe

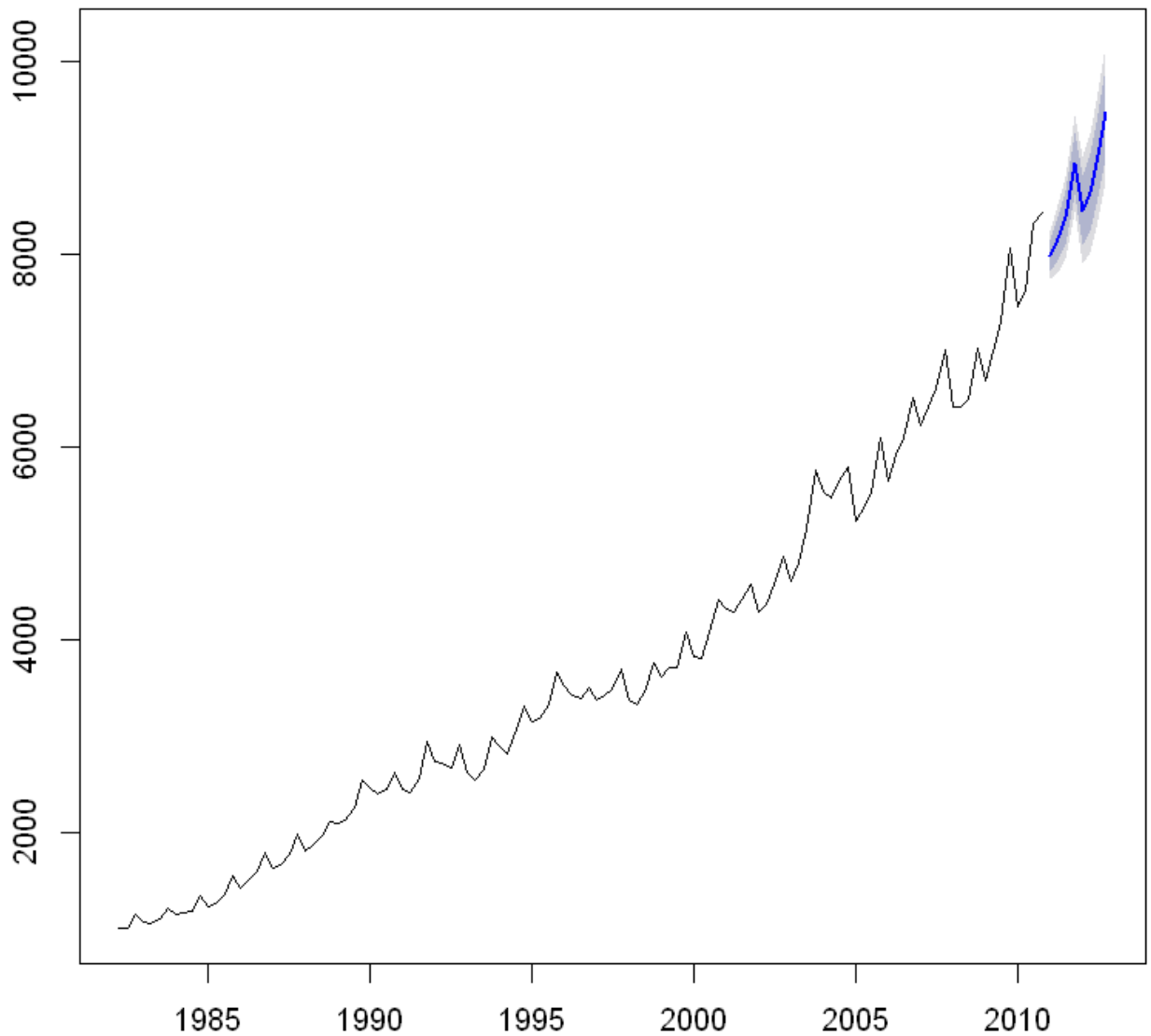
```
In [114...] print (ARIMA.model.prog$residuals)
```

	Qtr1	Qtr2	Qtr3	Qtr4
1982		0.5849711	0.2605998	0.3010095
1983	-0.2667800	-2.1477385	42.6472677	-34.2201136
1984	16.6484924	27.3268342	-3.2886535	14.7717980
1985	-36.6876564	43.5361731	64.8271507	61.0140763
1986	-47.6172595	70.0342311	55.9228451	56.6978572
1987	-67.1686575	5.6538581	54.6697508	51.0700948
1988	-62.0246000	20.6345225	23.1780370	-38.4202208
1989	121.2671227	-24.4375358	36.3184090	97.5352677
1990	62.6003795	-98.5300011	-57.3536159	-9.4641717
1991	-79.5778671	-64.5295110	36.1533101	161.9748697
1992	-117.1091431	-10.9172689	-141.9812994	15.4129794
1993	-170.7820747	-68.4471601	13.2018230	71.9086443
1994	66.7864349	-64.7189935	200.5928805	-26.2355230
1995	46.1790644	84.0895958	67.2311302	48.9368037
1996	32.9476468	-35.2780145	-166.6852743	-176.2897089
1997	57.0703397	74.5459636	-79.3416342	-95.6378877
1998	-158.5726637	7.4035073	25.6086733	72.2691660
1999	-8.1729538	123.5561613	-69.4396649	160.0980986
2000	-62.2798811	-4.1550606	196.2142065	94.6948714
2001	116.0781481	-67.8646576	75.0983734	-131.2648562
2002	-75.0887206	57.2489929	84.2564130	-30.9919071
2003	-62.4459831	184.1153351	197.0894979	340.7616007
2004	-22.1620713	-79.8959506	-10.5484233	-133.8287802
2005	-326.8335722	47.9515284	-81.1983930	186.6432310
2006	-200.3825920	211.8757746	-50.5282287	72.6072727
2007	64.1852156	107.2505692	-6.9787237	-19.4820200
2008	-177.4633661	-142.2907437	-107.5834714	95.3324502
2009	68.8088728	124.9887549	112.7249827	350.2554955
2010	-162.4018250	21.5779488	550.2059358	-358.1897653

Porównajmy wyniki na wykresie.

```
In [115...] plot (ARIMA.model.prog)
```

## Forecasts from ARIMA(0,1,0)(0,1,2)[4]



Patrząc na wykres widzimy, że prognozy znajdują się w węższym przedziale ufności niż w przypadku poprzednich prognoz.

Zatem możemy przypuszczać, że ta prognoza jest lepsza.

Sprawdźmy jeszcze jakość.

```
In [116... kryteria=c("MAE", "RMSE", "MAPE", "MASE")
accuracy(ARIMA.model.prog)[, kryteria]
```

<b>MAE</b>	86.8055300183157
<b>RMSE</b>	121.597844474163
<b>MAPE</b>	2.34347600298099
<b>MASE</b>	0.315856178748006

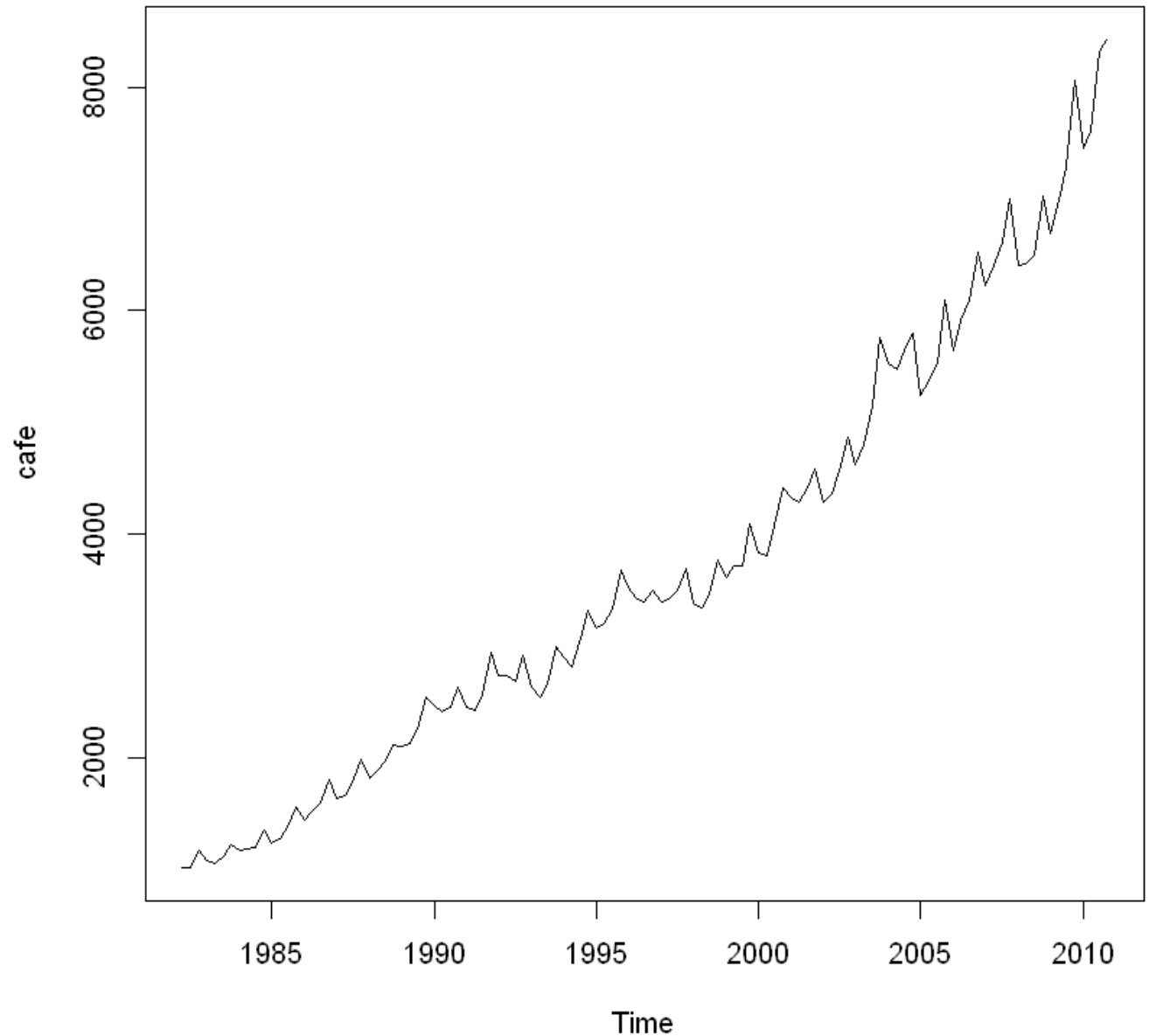
Prognozy okazały się bardzo dobre. MAE i RMSE mają niskie wartości.



## Automatyzacja konstrukcji prognoz

Narysujmy jeszcze raz wykres szeregu czasowego.

```
In [117... plot(cafe)
```



Zastosujmy przekształcenie logarytmiczne dla szeregu cafe.

```
In [118... cafe.ARIMA=auto.arima(cafe,lambda=0)
```

```
In [119... cafe.ARIMA
```

```
Series: cafe
ARIMA(1,0,0) (0,1,1)[4] with drift
Box Cox transformation: lambda= 0

Coefficients:
      ar1      sm1      drift
    0.9489  -0.8224   0.0178
s.e.  0.0331   0.0676   0.0023
```

sigma^2 estimated as 0.0008152: log likelihood=236.55  
AIC=-465.09 AICc=-464.72 BIC=-454.26

Otrzymaliśmy model ARIMA(1,0,0) x (0,1,1)\_4.

Wyznaczymy prognozy.

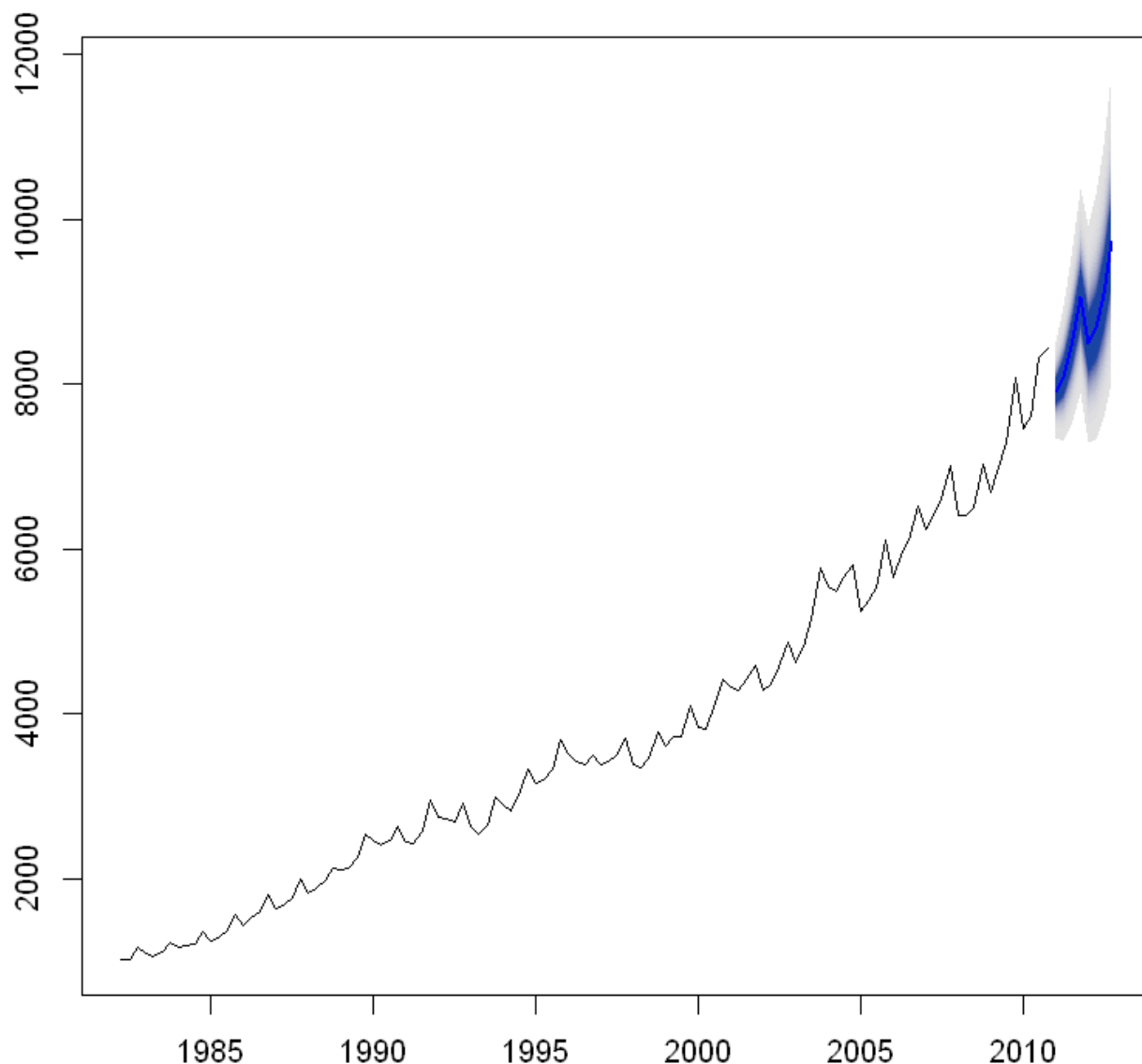
```
In [120...] cafe.prog=forecast(cafe.ARIMA,h=8,fan=TRUE)  
cafe.prog
```

	Point Forecast	Lo 51	Hi 51	Lo 54	Hi 54	Lo 57	Hi 57
2011 Q1	7910.442	7756.054	8067.903	7745.313	8079.091	7734.187	8090.713
2011 Q2	8085.748	7869.007	8308.459	7853.988	8324.348	7838.440	8340.860
2011 Q3	8460.492	8190.328	8739.568	8171.659	8759.534	8152.341	8780.291
2011 Q4	9052.592	8727.585	9389.702	8705.176	9413.873	8681.994	9439.008
2012 Q1	8497.984	8153.120	8857.435	8129.404	8883.275	8104.879	8910.155
2012 Q2	8686.111	8300.868	9089.233	8274.432	9118.272	8247.101	9148.490
2012 Q3	9088.481	8657.012	9541.454	8627.456	9574.141	8596.907	9608.163
2012 Q4	9724.328	9237.059	10237.300	9203.731	10274.371	9169.289	10312.964
	Lo 60	Hi 60	Lo 63	Hi 63	Lo 66	Hi 66	Lo 69
2011 Q1	7722.618	8102.834	7710.532	8115.534	7697.842	8128.913	7684.434
2011 Q2	7822.280	8358.090	7805.410	8376.155	7787.705	8395.197	7769.012
2011 Q3	8132.271	8801.960	8111.327	8824.688	8089.357	8848.655	8066.170
2011 Q4	8657.918	9465.257	8632.801	9492.796	8606.463	9521.847	8578.675
2012 Q1	8079.417	8938.235	8052.864	8967.708	8025.031	8998.811	7995.679
2012 Q2	8218.734	9180.066	8189.161	9213.217	8158.172	9248.214	8125.503
2012 Q3	8565.207	9643.722	8532.168	9681.066	8497.556	9720.498	8461.079
2012 Q4	9133.558	10353.308	9096.326	10395.686	9057.329	10440.446	9016.240
	Hi 69	Lo 72	Hi 72	Lo 75	Hi 75	Lo 78	Hi 78
2011 Q1	8143.097	7670.164	8158.246	7654.843	8174.575	7638.211	8192.375
2011 Q2	8415.397	7749.131	8436.988	7727.801	8460.276	7704.664	8485.682
2011 Q3	8874.091	8041.522	8901.291	8015.090	8930.645	7986.437	8962.687
2011 Q4	9552.689	8549.148	9585.683	8517.496	9621.304	8483.199	9660.203
2012 Q1	9031.845	7964.502	9067.199	7931.099	9105.387	7894.923	9147.111
2012 Q2	9285.397	8090.816	9325.205	8053.667	9368.220	8013.449	9415.238
2012 Q3	9762.405	8422.359	9807.285	8380.904	9855.796	8336.041	9908.839
2012 Q4	10488.025	8972.637	10538.992	8925.965	10594.098	8875.471	10654.369
	Lo 81	Hi 81	Lo 84	Hi 84	Lo 87	Hi 87	Lo 90
2011 Q1	7619.902	8212.059	7599.372	8234.245	7575.751	8259.919	7547.522
2011 Q2	7679.216	8513.802	7650.708	8545.526	7617.945	8582.278	7578.840
2011 Q3	7954.941	8998.173	7919.680	9038.235	7879.189	9084.682	7830.904
2011 Q4	8445.517	9703.304	8403.355	9751.989	8354.966	9808.468	8297.306
2012 Q1	7855.199	9193.367	7810.779	9245.650	7759.837	9306.346	7699.184
2012 Q2	7969.307	9467.388	7919.973	9526.361	7863.428	9594.864	7796.150
2012 Q3	8286.819	9967.694	8231.831	10034.278	8168.835	10111.660	8093.925
2012 Q4	8820.091	10721.267	8758.243	10796.977	8687.419	10884.999	8603.239
	Hi 90	Lo 93	Hi 93	Lo 96	Hi 96	Lo 99	Hi 99
2011 Q1	8290.813	7511.607	8330.453	7459.917	8388.175	7349.540	8514.150
2011 Q2	8626.561	7529.169	8683.472	7457.839	8766.524	7306.148	8948.536
2011 Q3	9140.698	7769.642	9212.770	7681.805	9318.113	7495.554	9549.651
2011 Q4	9876.630	8224.213	9964.409	8119.540	10092.864	7898.093	10375.849
2012 Q1	9379.660	7622.380	9474.171	7512.549	9612.680	7280.814	9918.634
2012 Q2	9677.665	7711.027	9784.497	7589.445	9941.244	7333.470	10288.243
2012 Q3	10205.245	7999.213	10326.076	7864.064	10503.536	7580.040	10897.103
2012 Q4	10991.505	8496.872	11129.101	8345.216	11331.348	8026.987	11780.578

Spójrzmy na wykres.

```
In [121...] plot(cafe.prog)
```

## Forecasts from ARIMA(1,0,0)(0,1,1)[4] with drift



Na rysunkach widzimy otrzymane prognozy punktowe oraz wykresy wachlarzowe.

Widoczny jest wzrost wariancji w przypadku szeregu cafe.

Dalsza analiza skuteczności prognoz mogłaby obejmować zastosowanie kryteriów dokładności prognoz oraz wykorzystanie podziału danych na zbiór uczący i zbiór testowy.

Mimo automatycznego dopasowania modeli, warto też zrobić badania diagnostyczne pod kątem poprawności dopasowania, m. in. analizę własności reszt.

### Badanie jakości prognoz.

In [122... `accuracy(cafe.prog)`

	ME	RMSE	MAE	MPE	MAPE	MASE	ACF1
Training set	-5.884838	119.4156	83.37906	0.001041961	2.206674	0.3033884	-0.005893911

Wartości RMSE i MAE są najniższe i zarazem najlepsze do tej pory.

## Prognoza w podziale na zbiór uczący i testowy

In [123...

```
cafe.ARIMA.train=auto.arima(cafe.train,lambda=0)
cafe.ARIMA.train
```

```
Series: cafe.train
ARIMA(1,0,0)(0,1,1)[4] with drift
Box Cox transformation: lambda= 0
```

Coefficients:

```
          ar1          smal      drift
          0.9525    -0.8140    0.0185
s.e.    0.0349     0.0793    0.0029
```

```
sigma^2 estimated as 0.0008476:  log likelihood=183.62
AIC=-359.24   AICc=-358.76   BIC=-349.38
```

In [124...

```
cafe.prog.train=forecast(cafe.ARIMA.train,h=8,fan=TRUE)
cafe.prog.train
```

		Point Forecast	Lo 51	Hi 51	Lo 54	Hi 54	Lo 57	Hi 57	
2005	Q1	5521.113	5411.257	5633.199	5403.616	5641.165	5395.701	5649.440	
2005	Q2	5561.810	5409.560	5718.345	5399.013	5729.516	5388.095	5741.126	
2005	Q3	5802.044	5612.527	5997.961	5599.436	6011.983	5585.891	6026.561	
2005	Q4	6237.563	6008.127	6475.760	5992.316	6492.846	5975.960	6510.617	
2006	Q1	5941.565	5693.701	6200.220	5676.667	6218.824	5659.053	6238.181	
2006	Q2	5985.496	5711.907	6272.188	5693.148	6292.856	5673.755	6314.365	
2006	Q3	6244.163	5938.004	6566.107	5917.050	6589.359	5895.395	6613.564	
2006	Q4	6713.004	6364.944	7080.098	6341.161	7106.652	6316.586	7134.301	
		Lo 60	Hi 60	Lo 63	Hi 63	Lo 66	Hi 66	Lo 69	Hi 69
2005	Q1	5387.471	5658.070	5378.874	5667.113	5369.847	5676.640	5360.310	5686.740
2005	Q2	5376.748	5753.242	5364.903	5765.944	5352.473	5779.335	5339.349	5793.540
2005	Q3	5571.820	6041.781	5557.136	6057.745	5541.734	6074.581	5525.480	6092.451
2005	Q4	5958.974	6529.175	5941.256	6548.647	5922.676	6569.190	5903.077	6591.001
2006	Q1	5640.767	6258.403	5621.700	6279.630	5601.716	6302.033	5580.643	6325.830
2006	Q2	5653.629	6336.842	5632.650	6360.444	5610.669	6385.363	5587.499	6411.841
2006	Q3	5872.927	6638.865	5849.513	6665.439	5824.987	6693.503	5799.143	6723.333
2006	Q4	6291.095	7163.208	6264.537	7193.577	6236.724	7225.656	6207.424	7259.763
		Lo 72	Hi 72	Lo 75	Hi 75	Lo 78	Hi 78	Lo 81	Hi 81
2005	Q1	5350.160	5697.528	5339.263	5709.156	5327.434	5721.833	5314.413	5735.852
2005	Q2	5325.392	5808.724	5310.418	5825.103	5294.177	5842.973	5276.315	5862.753
2005	Q3	5508.203	6111.560	5489.677	6132.185	5469.595	6154.699	5447.524	6179.636
2005	Q4	5882.252	6614.336	5859.930	6639.530	5835.746	6667.046	5809.177	6697.538
2006	Q1	5558.262	6351.301	5534.286	6378.816	5508.323	6408.883	5479.818	6442.221
2006	Q2	5562.901	6440.193	5536.560	6470.833	5508.048	6504.329	5476.760	6541.487
2006	Q3	5771.714	6755.284	5742.353	6789.825	5710.582	6827.600	5675.733	6869.521
2006	Q4	6176.336	7296.304	6143.066	7335.819	6107.079	7379.047	6067.618	7427.038
		Lo 84	Hi 84	Lo 87	Hi 87	Lo 90	Hi 90	Lo 93	Hi 93
2005	Q1	5299.813	5751.653	5283.016	5769.940	5262.943	5791.947	5237.407	5820.186
2005	Q2	5256.307	5885.070	5233.314	5910.926	5205.873	5942.083	5171.023	5982.130
2005	Q3	5422.816	6207.792	5394.447	6240.438	5360.621	6279.816	5317.712	6330.488
2005	Q4	5779.453	6731.984	5745.344	6771.950	5704.706	6820.192	5653.201	6882.328
2006	Q1	5447.947	6479.908	5411.404	6523.667	5367.903	6576.534	5312.832	6644.704
2006	Q2	5441.798	6583.515	5401.733	6632.345	5354.076	6691.381	5293.796	6767.574
2006	Q3	5636.808	6916.959	5592.226	6972.102	5539.227	7038.810	5472.243	7124.971
2006	Q4	6023.558	7481.363	5973.118	7544.540	5913.185	7621.007	5837.485	7719.836
		Lo 96	Hi 96	Lo 99	Hi 99				
2005	Q1	5200.660	5861.311	5122.207	5951.084				
2005	Q2	5120.984	6040.583	5014.606	6168.726				
2005	Q3	5256.203	6404.569	5125.831	6567.465				
2005	Q4	5579.464	6973.284	5423.543	7173.758				
2006	Q1	5234.109	6744.643	5068.116	6965.546				

```
2006 Q2 5207.734 6879.413 5026.684 7127.195
2006 Q3 5376.706 7251.572 5176.109 7532.602
2006 Q4 5729.613 7865.178 5503.486 8188.343
```

## Jakość po podziale

```
In [125... accuracy(cafe.prog.train,cafe.test)
```

	ME	RMSE	MAE	MPE	MAPE	MASE	ACF1	Theil's U
<b>Training set</b>	-5.028967	91.62746	67.25196	0.0001390234	2.23162	0.2943400	0.1881200	NA
<b>Test set</b>	-198.957145	212.43103	198.95715	-3.4960704117	3.49607	0.8707709	-0.3390363	0.5857525

Widać, że wyniki na zbiorze uczącym są nieco lepsze niż na zbiorze testowym.

Wyniki RMSE i MAE są najniższe, a zarazem prognoza jest najlepsza.

## Analiza własności reszt

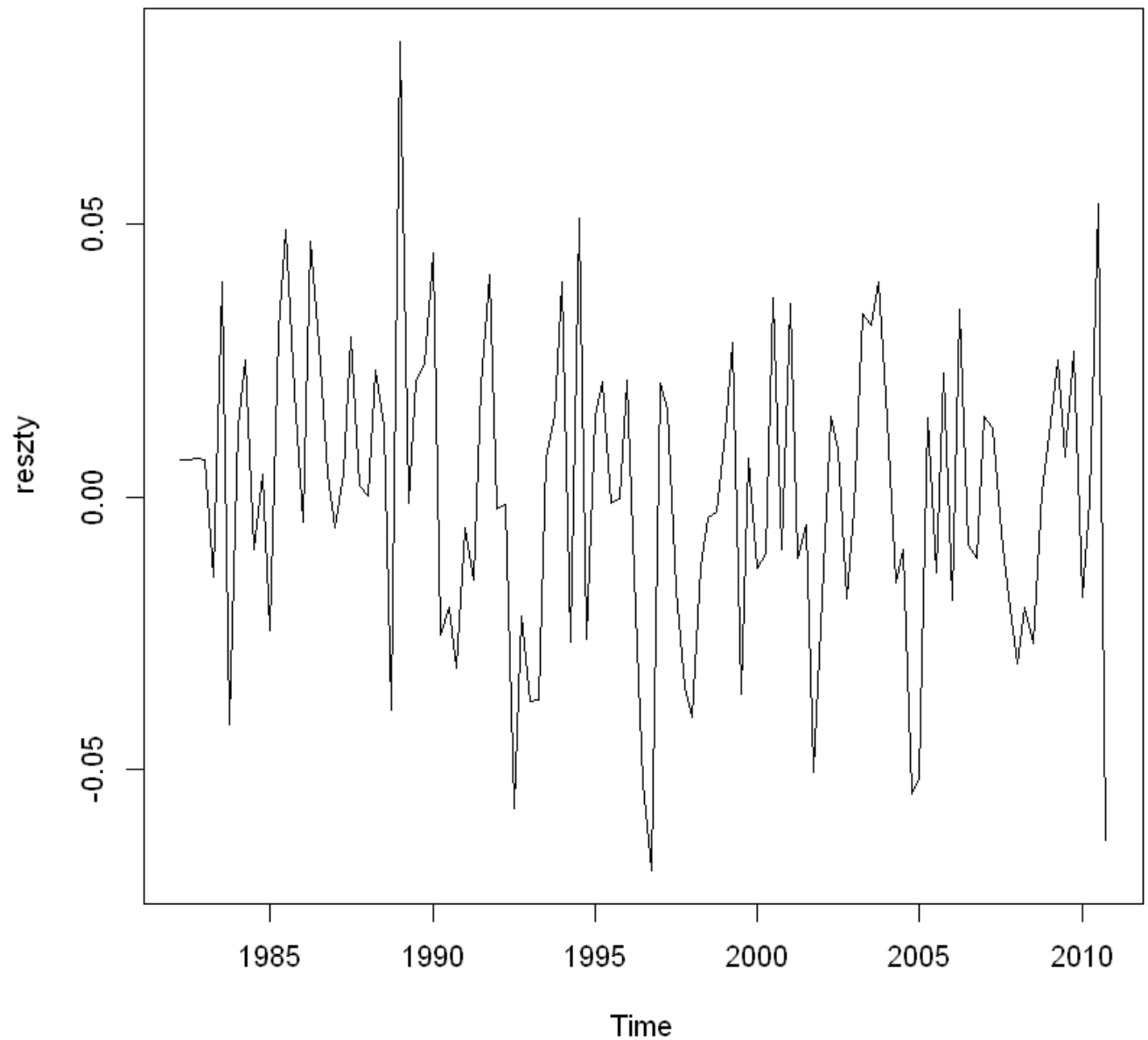
```
In [126... reszty=residuals(cafe.ARIMA)
print(reszty)
```

	Qtr1	Qtr2	Qtr3	Qtr4
1982		0.0069030585	0.0068839584	0.0070080688
1983	0.0069157870	-0.0147144668	0.0395151007	-0.0418145398
1984	0.0129602869	0.0252239133	-0.0097109532	0.0041249201
1985	-0.0244450994	0.0305320051	0.0491836640	0.0194730881
1986	-0.0045782432	0.0469446393	0.0281526177	0.0041268324
1987	-0.0055612759	0.0045315314	0.0294422523	0.0019729572
1988	0.0001657645	0.0232275144	0.0130930855	-0.0391527362
1989	0.0836119014	-0.0011072049	0.0214767895	0.0245117579
1990	0.0448241230	-0.0251566656	-0.0202599594	-0.0314330965
1991	-0.0055739319	-0.0152635081	0.0205308131	0.0407734692
1992	-0.0021098316	-0.0014281469	-0.0569862447	-0.0217050601
1993	-0.0375358509	-0.0373007033	0.0071803303	0.0151925859
1994	0.0394512932	-0.0266405632	0.0513045318	-0.0261424999
1995	0.0148722658	0.0212705350	-0.0010015536	-0.0001900445
1996	0.0213510500	-0.0208935528	-0.0523777382	-0.0685396308
1997	0.0209713507	0.0161477255	-0.0169666014	-0.0348623009
1998	-0.0403752619	-0.0128388028	-0.0036886898	-0.0026776597
1999	0.0120197645	0.0282780063	-0.0361085086	0.0070413849
2000	-0.0129303327	-0.0102455418	0.0367229362	-0.0096862958
2001	0.0355991588	-0.0111363116	-0.0050197753	-0.0504443679
2002	-0.0187073641	0.0148310115	0.0086306602	-0.0185456592
2003	-0.0020942630	0.0337910535	0.0316031918	0.0394601861
2004	0.0143324282	-0.0157937582	-0.0096680809	-0.0543067310
2005	-0.0514884870	0.0145198908	-0.0138177839	0.0227442224
2006	-0.0189120244	0.0345334957	-0.0087158044	-0.0112438631
2007	0.0147952526	0.0128006209	-0.0065311041	-0.0182730583
2008	-0.0305415465	-0.0201504337	-0.0267665448	0.0010535223
2009	0.0112894965	0.0251214266	0.0074871020	0.0267451206
2010	-0.0182196359	-0.0004976240	0.0538216484	-0.0629605843

Narysujmy sobie wykres.

```
In [127... plot(reszty,main="Reszty")
```

## Reszty

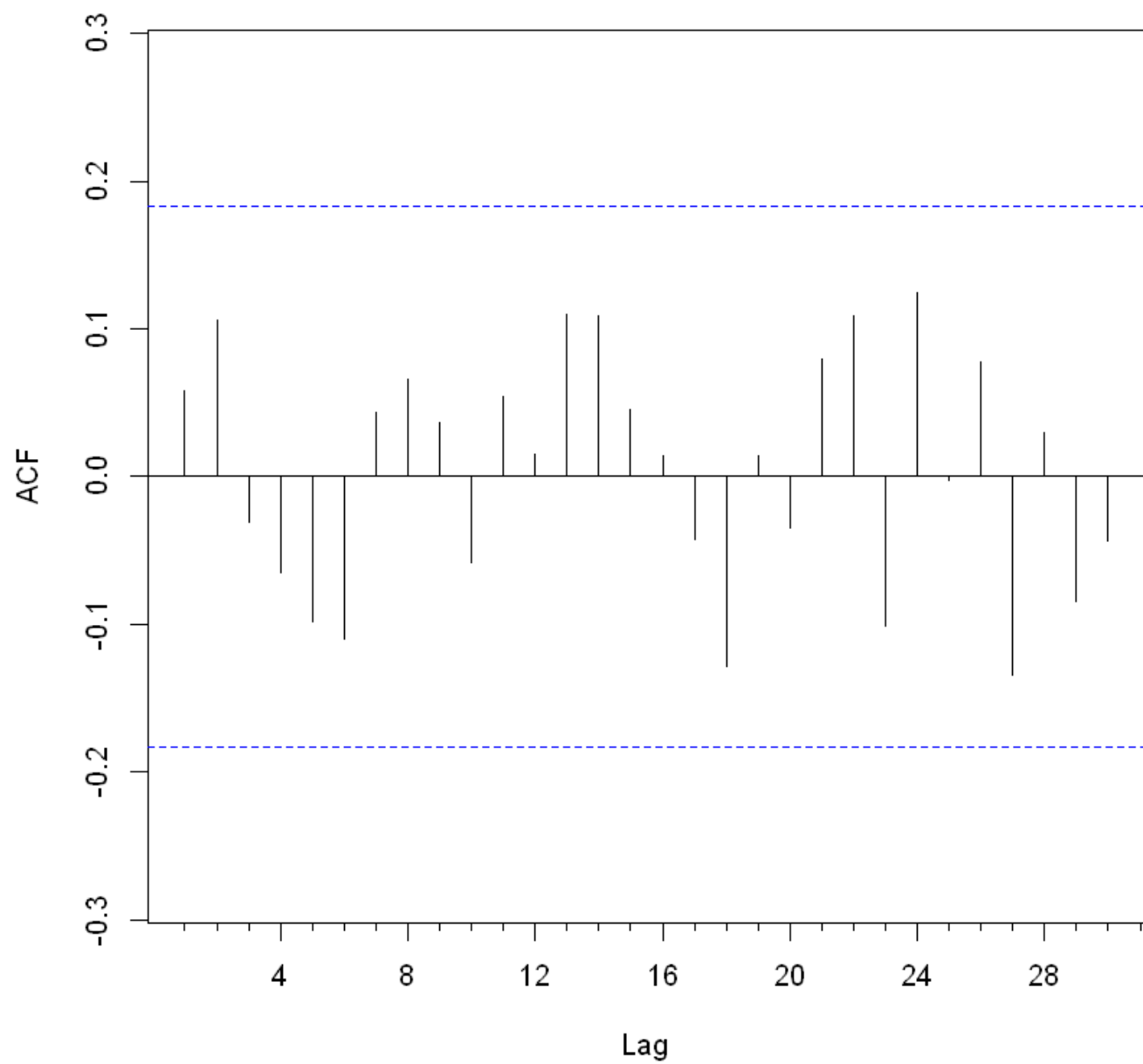


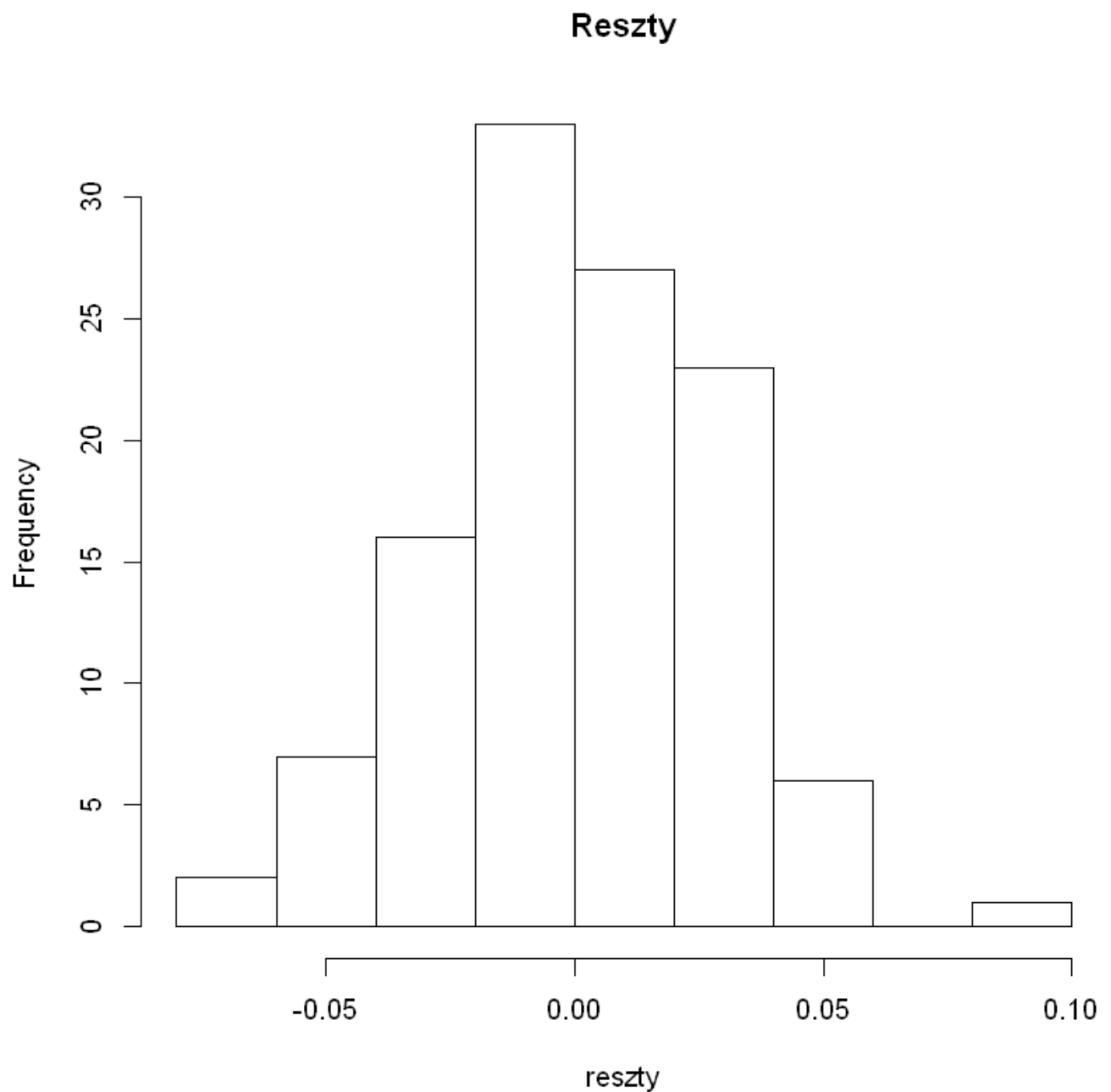
Wykres reszt wygląda na losowy.

Sprawdźmy jeszcze ACF i narysujmy histogram.

```
In [128... Acf(reszty, lag.max=30, main="Reszty")  
hist(reszty, main="Reszty")
```

# Reszty





Szereg reszt możemy uznać za biały szum.

### Badanie losowości reszt testem Ljunga-Boxa

```
In [129... Box.test(reszty, lag=10, type="Ljung-Box")
```

Box-Ljung test

```
data: reszty  
X-squared = 6.4387, df = 10, p-value = 0.7772
```

P-value > 0.05 zatem nie mamy podstaw do odrzucenia hipotezy zerowej o losowości reszt.

Reszty w szeregu są losowe.

## Prognozy oparte na dekompozycji

Zbudowane zostały wcześniej modele dekompozycji, a teraz przyszedł czas na prognozowanie.



```
In [130... cafe.tlsm.trend=tslm(cafe~trend)
cafe.tlsm.trend.sez=tslm(cafe~trend+season)
```

Dla każdego spośród modeli zbudujemy prognozę i zbadamy jej jakość za pomocą znanej metody accuracy().

```
In [131... cafe.tlsm.trend.prog=forecast(cafe.tlsm.trend,h=8)
cafe.tlsm.trend.prog
```

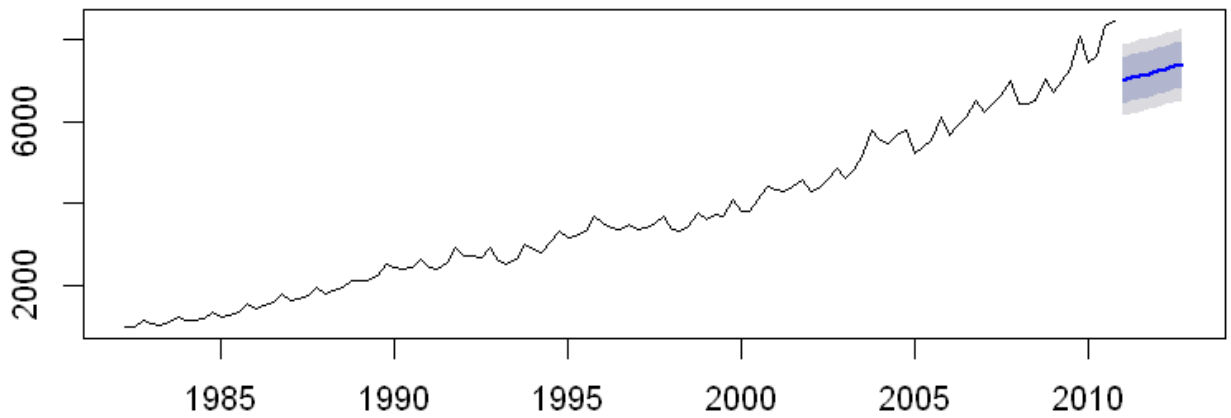
	Point	Forecast	Lo 80	Hi 80	Lo 95	Hi 95
2011 Q1		6998.117	6432.887	7563.347	6129.423	7866.811
2011 Q2		7054.709	6489.226	7620.191	6185.628	7923.790
2011 Q3		7111.301	6545.562	7677.039	6241.826	7980.775
2011 Q4		7167.892	6601.894	7733.891	6298.017	8037.767
2012 Q1		7224.484	6658.221	7790.747	6354.203	8094.766
2012 Q2		7281.076	6714.544	7847.608	6410.381	8151.770
2012 Q3		7337.668	6770.863	7904.473	6466.554	8208.782
2012 Q4		7394.259	6827.178	7961.341	6522.720	8265.799

```
In [132... cafe.tlsm.trend.sez.prog=forecast(cafe.tlsm.trend.sez,h=8)
cafe.tlsm.trend.sez.prog
```

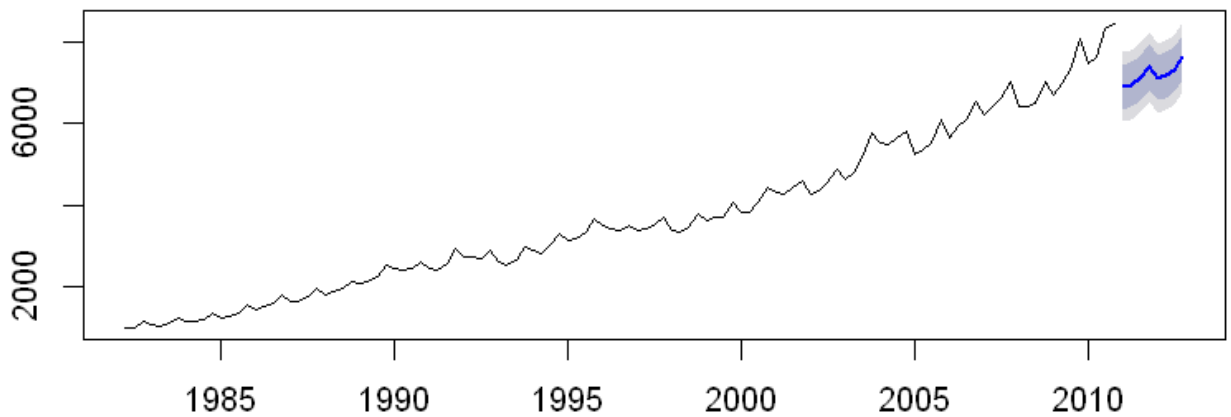
	Point	Forecast	Lo 80	Hi 80	Lo 95	Hi 95
2011 Q1		6884.281	6333.221	7435.340	6037.252	7731.310
2011 Q2		6948.804	6397.581	7500.028	6101.523	7796.085
2011 Q3		7092.235	6541.012	7643.459	6244.954	7939.516
2011 Q4		7385.304	6834.081	7936.528	6538.023	8232.585
2012 Q1		7110.352	6558.310	7662.393	6261.813	7958.890
2012 Q2		7174.875	6622.638	7727.113	6326.035	8023.715
2012 Q3		7318.306	6766.069	7870.544	6469.466	8167.146
2012 Q4		7611.375	7059.138	8163.613	6762.535	8460.215

```
In [133... par(mfrow=c(2,1))
plot(cafe.tlsm.trend.prog,main="trend liniowy")
plot(cafe.tlsm.trend.sez.prog,main="trend liniowy + sezonowość")
```

## trend liniowy



## trend liniowy + sezonowość



Widzimy, że prognozy nie są najlepsze.

Sprawdźmy dokładność prognoz patrząc na m.in. MAE oraz RMSE.

```
In [134...] kryteria=c("MAE", "RMSE", "MAPE", "MASE")
```

```
In [135...] accuracy(cafe.tlsm.trend.prog)[,kryteria]
```

<b>MAE</b>	327.462370915229
<b>RMSE</b>	427.181502763019
<b>MAPE</b>	10.5518252211198
<b>MASE</b>	1.19152562214899

```
In [136...] accuracy(cafe.tlsm.trend.sez.prog)[,kryteria]
```

<b>MAE</b>	316.070354053742
<b>RMSE</b>	405.57937796556

**MAPE** 10.385635196688  
**MASE** 1.15007389766389

Zarówno dla modelu z samym trendem, jak i dla modelu z trendem i współczynnikiem sezonowym wyniki nie są najlepsze.

MAE i RMSE mają wysokie wartości.

Wcześniejsze prognozy były zdecydowanie lepsze.

Aby poprawić jakość dopasowania modelu dekompozycji do szeregu czasowego cafe, rozważymy teraz dwa nieco bardziej skomplikowane modele trendu: kwadratowy oraz sześcienny, oczywiście każdy ze współczynnikiem sezonowym.

```
In [138...] cafe.tslm3=tslm(cafe~trend+I(trend^2)+season)
```

```
In [139...] summary(cafe.tslm3)
```

Call:

```
tslm(formula = cafe ~ trend + I(trend^2) + season)
```

Residuals:

	Min	1Q	Median	3Q	Max
	-371.16	-194.17	-16.09	174.98	774.99

Coefficients:

	Estimate	Std. Error	t value	Pr(> t )
(Intercept)	1105.74914	80.45637	13.743	< 2e-16 ***
trend	17.64128	2.74347	6.430	3.47e-09 ***
I(trend^2)	0.33514	0.02291	14.627	< 2e-16 ***
season2	-17.80025	64.15131	-0.277	0.782
season3	69.44816	64.14708	1.083	0.281
season4	305.66421	64.15131	4.765	5.87e-06 ***

---

Signif. codes: 0 '\*\*\*' 0.001 '\*\*' 0.01 '\*' 0.05 '.' 0.1 ' ' 1

Residual standard error: 242 on 109 degrees of freedom

Multiple R-squared: 0.985, Adjusted R-squared: 0.9844

F-statistic: 1436 on 5 and 109 DF, p-value: < 2.2e-16

Model jest bardzo dobry  $R^2$  wynosi 98%

Współczynniki poza season2 oraz season3 są istotne statystycznie.

```
In [140...] cafe.tslm4=tslm(cafe~poly(trend,3,row=TRUE)+season)
```

```
In [141...] summary(cafe.tslm4)
```

Call:

```
tslm(formula = cafe ~ poly(trend, 3, row = TRUE) + season)
```

Residuals:

	Min	1Q	Median	3Q	Max
	-396.1	-126.1	-27.0	112.5	474.6

Coefficients:

	Estimate	Std. Error	t value	Pr(> t )
(Intercept)	6.588e+02	7.529e+01	8.751	3.16e-14 ***
poly(trend, 3, row = TRUE)1	6.288e+01	5.114e+00	12.296	< 2e-16 ***
poly(trend, 3, row = TRUE)2	-6.355e-01	1.022e-01	-6.219	9.65e-09 ***

```

poly(trend, 3, raw = TRUE) 3 5.579e-03 5.792e-04 9.631 3.22e-16 ***
season2 -1.011e+01 4.728e+01 -0.214 0.831
season3 6.945e+01 4.727e+01 1.469 0.145
season4 2.980e+02 4.728e+01 6.303 6.51e-09 ***
---
Signif. codes: 0 '***' 0.001 '**' 0.01 '*' 0.05 '.' 0.1 ' ' 1

Residual standard error: 178.3 on 108 degrees of freedom
Multiple R-squared: 0.992, Adjusted R-squared: 0.9915
F-statistic: 2219 on 6 and 108 DF, p-value: < 2.2e-16

```

Model sześcienny jest jeszcze lepszy niż model stopnia 2-ego.

$R^2$  wynosi 99% i jest najwyższe spośród wszystkich do tej pory.

Ponownie poza współczynnikami season2 oraz season3 wszystkie inne współczynniki są istotne statystycznie.

Spójrzmy jak to będzie obrazowało się na wykresie.

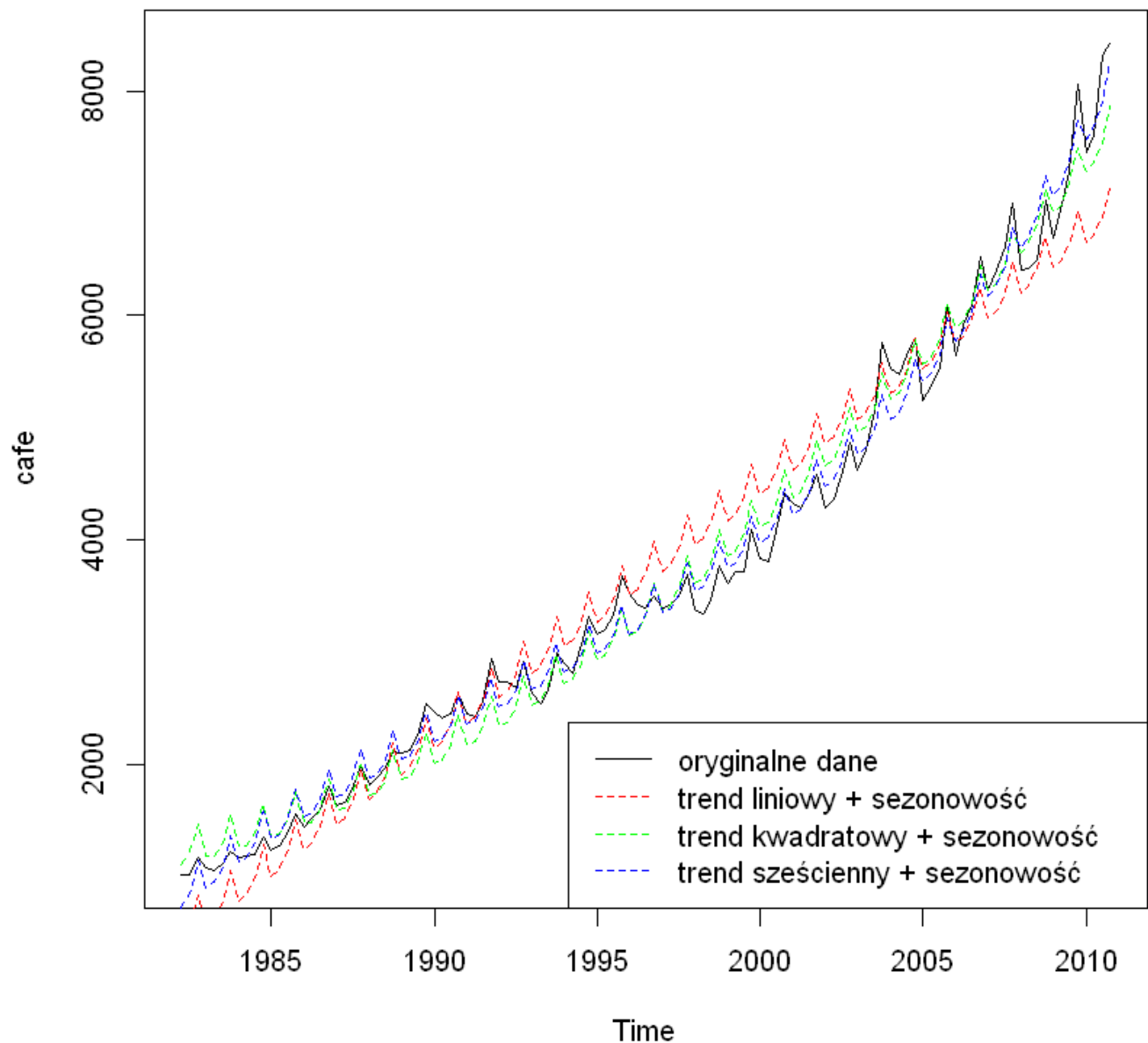
In [142...

```

plot(cafe, main="Dekompozycja szeregu cafe, porównanie")
lines(fitted(cafe.tlsm.trend.sez), lty=2, col="red")
lines(fitted(cafe.tslm3), lty=2, col="green")
lines(fitted(cafe.tslm4), lty=2, col="blue")
legend("bottomright", legend=c("oryginalne dane", "trend liniowy + sezonowość", "trend kwad

```

## Dekompozycja szeregu cafe, porównanie



Analizując wykres oraz wyniki wyraźnie dostrzegamy poprawę jakości dopasowania wraz ze wzrostem stopnia wielomianu dla modelu trendu.

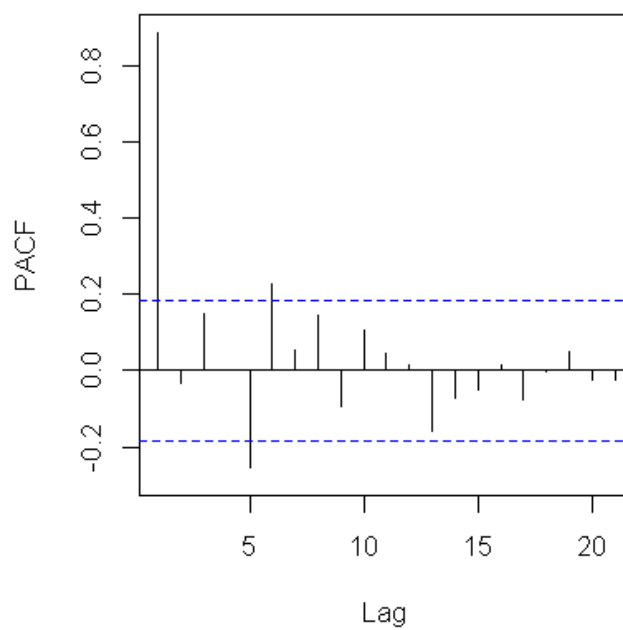
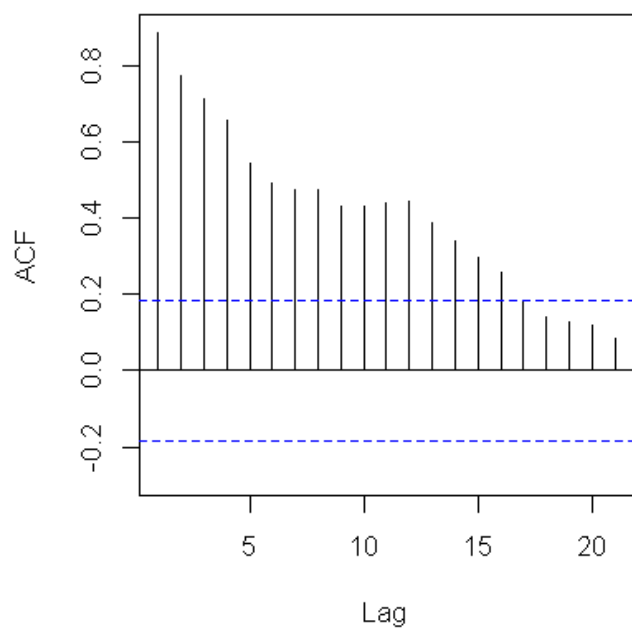
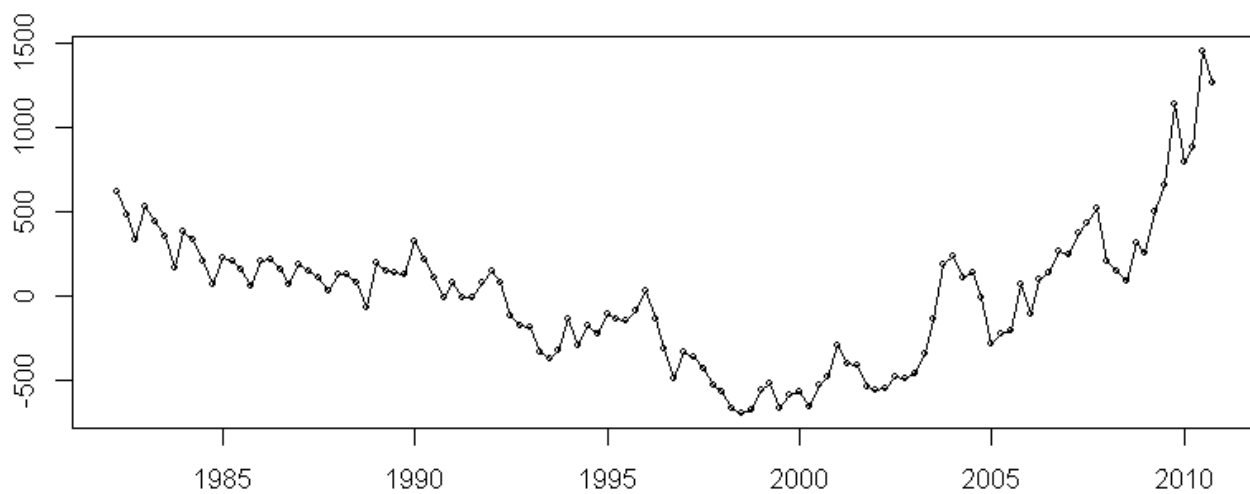
W szczególności, rośnie wartość współczynnika  $R^2$ .

Najlepsze dopasowanie otrzymujemy zatem dla modelu sześciennego.

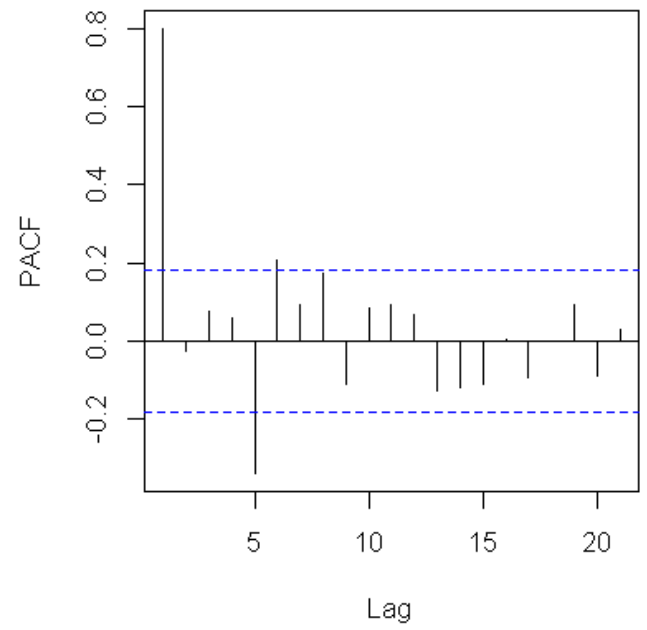
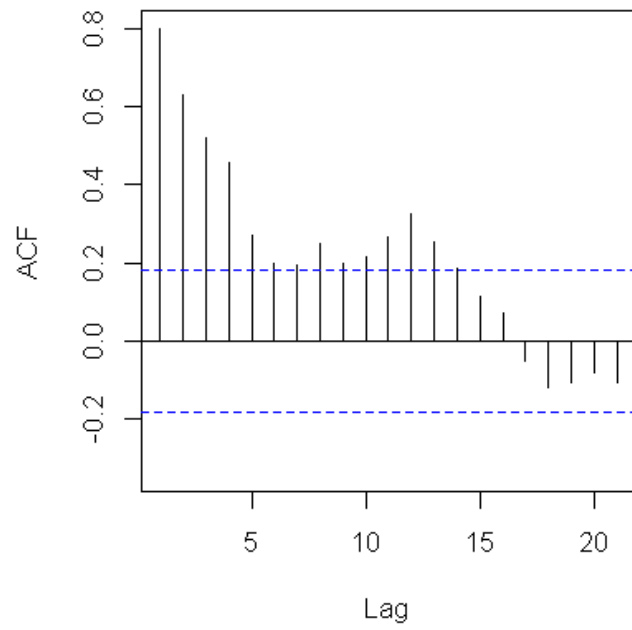
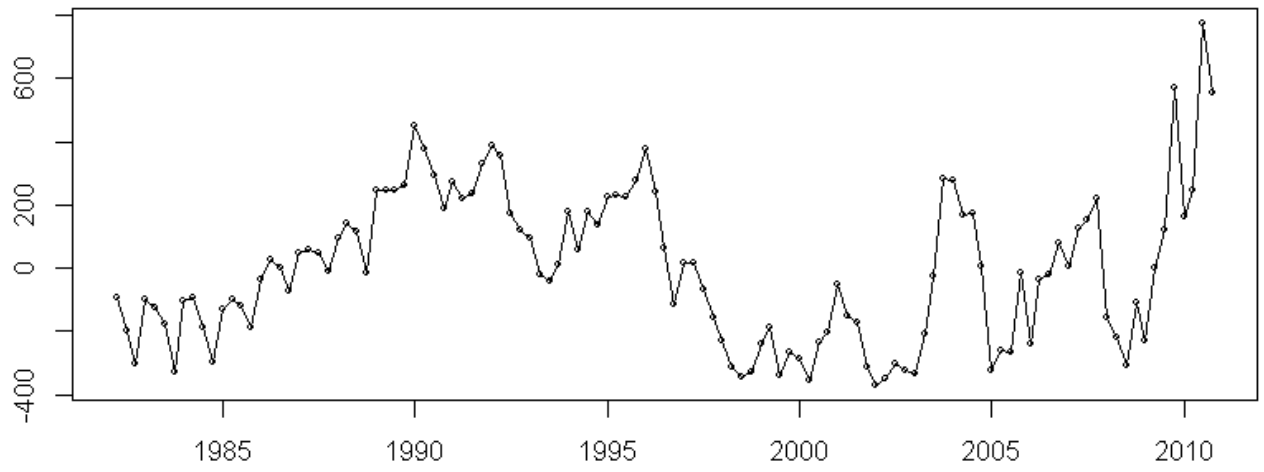
Spójrzmy jeszcze na wykresy reszt.

```
In [143... tsdisplay(residuals(cafe.tlsm.trend.sez))  
tsdisplay(residuals(cafe.tslm3))  
tsdisplay(residuals(cafe.tslm4))
```

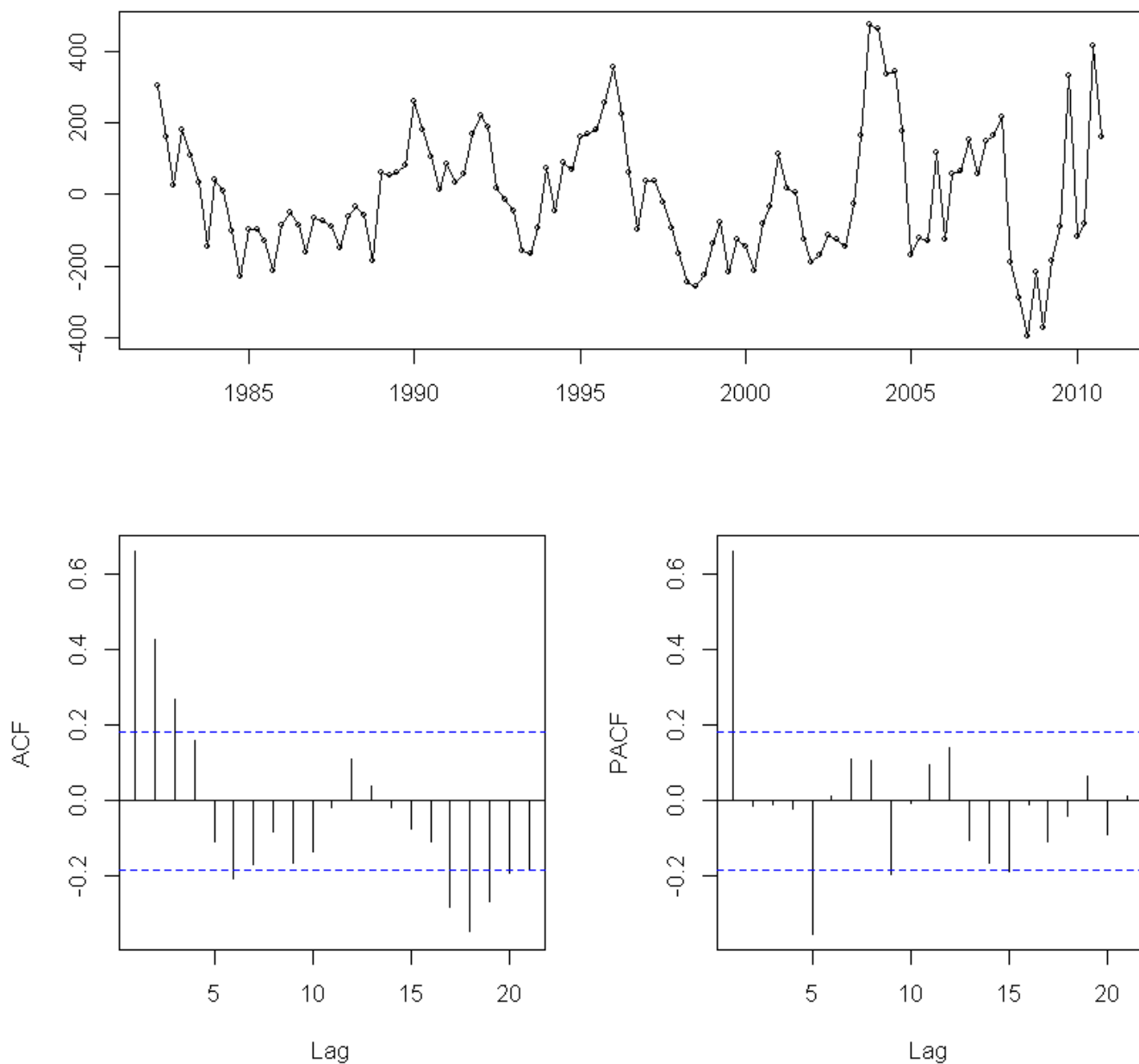
residuals(cafe.tlsm.trend.sez)



**residuals(cafe.tslm3)**



residuals(cafe.tslm4)



Reszty dla modelu z trendem sześciennym są najbliższe spełnienia założenia o stacjonarności.

Świadczy o tym szybsze zanikanie ACF.

Teraz możemy już przejść do prognozy dla tych dwóch modeli.

```
In [144... cafe.tslm3.prog=forecast(cafe.tslm3,h=8)
cafe.tslm3.prog
```

	Point Forecast	Lo 80	Hi 80	Lo 95	Hi 95
2011 Q1	7661.811	7332.963	7990.659	7156.317	8167.304
2011 Q2	7739.740	7410.550	8068.930	7233.721	8245.758
2011 Q3	7923.388	7593.429	8253.347	7416.187	8430.589
2011 Q4	8256.674	7925.910	8587.438	7748.235	8765.113
2012 Q1	8048.750	7716.102	8381.398	7537.415	8560.085
2012 Q2	8129.360	7796.246	8462.475	7617.309	8641.412
2012 Q3	8315.690	7981.600	8649.779	7802.139	8829.240
2012 Q4	8651.657	8316.552	8986.762	8136.546	9166.768

```
In [145... cafe.tslm4.prog=forecast(cafe.tslm4,h=8)
```



cafe.tslm4.prog

	Point	Forecast	Lo 80	Hi 80	Lo 95	Hi 95
2011	Q1	8108.720	7859.116	8358.324	7725.020	8492.420
2011	Q2	8240.552	7988.878	8492.226	7853.670	8627.434
2011	Q3	8464.701	8210.985	8718.416	8074.680	8854.722
2011	Q4	8840.496	8584.531	9096.460	8447.018	9233.974
2012	Q1	8692.500	8432.663	8952.337	8293.069	9091.931
2012	Q2	8835.113	8572.085	9098.141	8430.777	9239.449
2012	Q3	9070.177	8804.071	9336.284	8661.109	9479.246
2012	Q4	9457.021	9187.570	9726.472	9042.811	9871.231

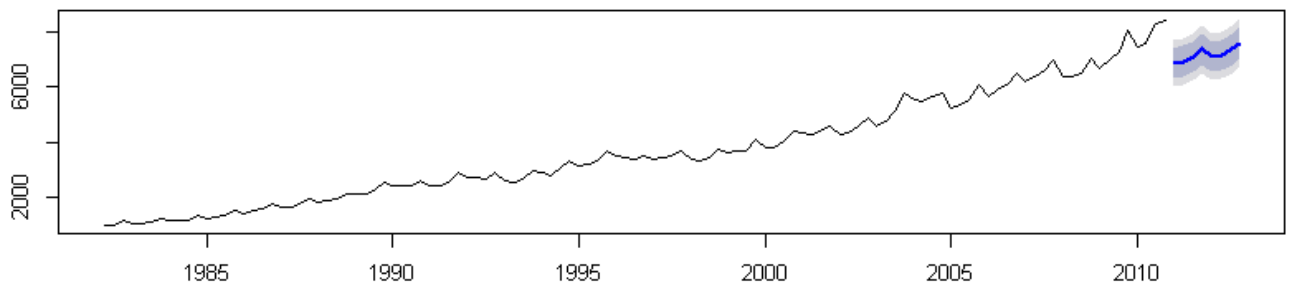
Porównajmy prognozy oraz przedziały predykcyjne dla trzech modeli ze współzrędną sezonową.

In [146...

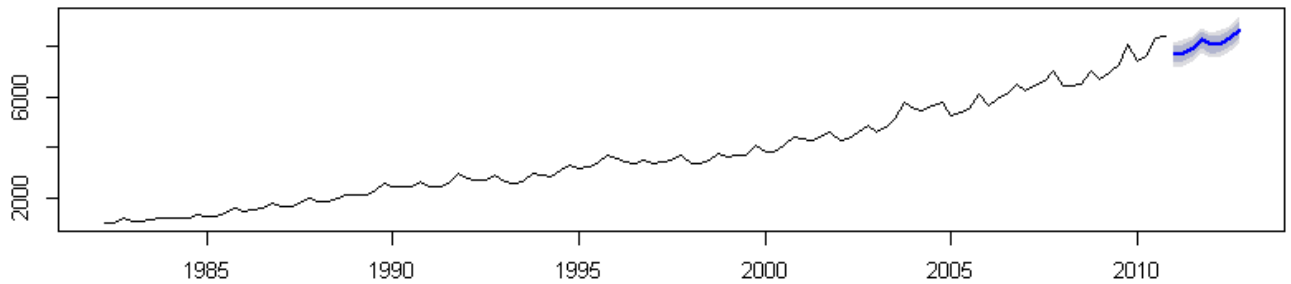
```
par(mfrow=c(3,1))
y.range=c(40000,80000)
plot(cafe.tlsm.trend.sez.prog,main="trend liniowy + sezonowość",y.lim=y.range)
plot(cafe.tslm3.prog,main="trend kwadratowy + sezonowość",y.lim=y.range)
plot(cafe.tslm4.prog,main="trend sześcienny +sezonowość",y.lim=y.range)
```

```
Warning message in plot.window(xlim, ylim, log, ...):
"'y.lim' nie jest parametrem graficznym"Warning message in title(main = main, xlab = xla
b, ylab = ylab, ...):
"'y.lim' nie jest parametrem graficznym"Warning message in axis(1, ...):
"'y.lim' nie jest parametrem graficznym"Warning message in axis(2, ...):
"'y.lim' nie jest parametrem graficznym"Warning message in box(...):
"'y.lim' nie jest parametrem graficznym"Warning message in plot.window(xlim, ylim, log,
...):
"'y.lim' nie jest parametrem graficznym"Warning message in title(main = main, xlab = xla
b, ylab = ylab, ...):
"'y.lim' nie jest parametrem graficznym"Warning message in axis(1, ...):
"'y.lim' nie jest parametrem graficznym"Warning message in axis(2, ...):
"'y.lim' nie jest parametrem graficznym"Warning message in box(...):
"'y.lim' nie jest parametrem graficznym"Warning message in plot.window(xlim, ylim, log,
...):
"'y.lim' nie jest parametrem graficznym"Warning message in title(main = main, xlab = xla
b, ylab = ylab, ...):
"'y.lim' nie jest parametrem graficznym"Warning message in axis(1, ...):
"'y.lim' nie jest parametrem graficznym"Warning message in axis(2, ...):
"'y.lim' nie jest parametrem graficznym"Warning message in box(...):
"'y.lim' nie jest parametrem graficznym"
```

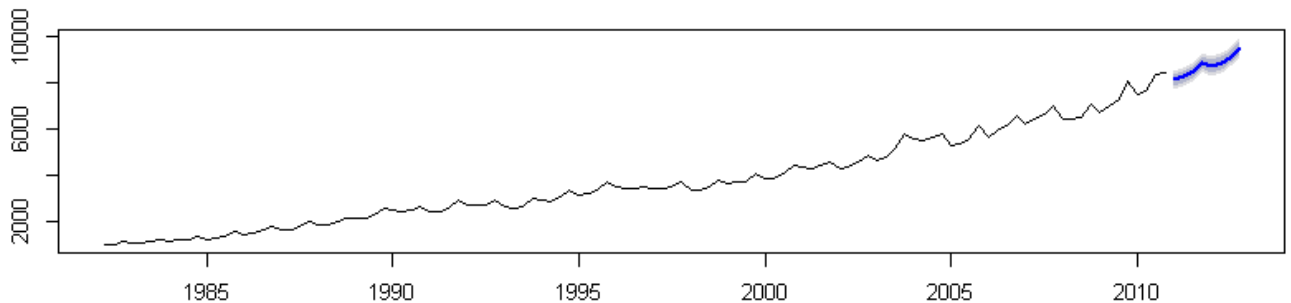
trend liniowy + sezonowość



trend kwadratowy + sezonowość



trend sześcienny +sezonowość



Na wykresach można zauważyć wyraźne, jakościowe różnice w skonstruowanych prognozach.

W przypadku modelu liniowego widoczny jest gwałtowny trend wzrostowy w prognozach, w przypadku modelu kwadratowego - trend jest mniej gwałtowny, a w przypadku modelu sześciennego prognozy mają już ustabilizowaną tendencję rosnącą.

Sprawdźmy teraz jakość prognoz.

```
In [147... accuracy(cafe.tslm3.prog) [,kryteria]
```

<b>MAE</b>	194.662000417614
<b>RMSE</b>	235.625207737324
<b>MAPE</b>	6.49809463655064
<b>MASE</b>	0.708309661681429

```
In [148... accuracy(cafe.tslm4.prog) [,kryteria]
```

<b>MAE</b>	141.704671794132
<b>RMSE</b>	172.822434605358
<b>MAPE</b>	4.64930956519409
<b>MASE</b>	0.515615723263148

Wyniki dla bardziej złożonych modeli są lepsze.

Można wysnuć wniosek, że im bardziej złożony model trendu, tym prowadzi on do dokładniejszych prognoz.